

UNIVERSIDADE ESTADUAL DE CAMPINAS
FACULDADE DE ENGENHARIA DE CAMPINAS
DEPARTAMENTO DE ENGENHARIA MECÂNICA

Este exemplar corresponde
à defesa final de Tese defendida
por Milton Dias Jr. e aprovada
não convencionalmente em 02/07/87.

Milton Dias Jr.

Lisandra Weber
IDENTIFICAÇÃO DE PARÂMETROS DE SISTEMAS MECÂNICOS
E DAS CARACTERÍSTICAS DE UMA PERTURBAÇÃO EXTERNA
PELO MÉTODO DAS COVARIANÇAS

Milton Dias Junior

Tese apresentada à Faculdade de Engenharia
de Campinas - UNICAMP - como parte dos requi-
sitos exigidos para a obtenção do título de
MESTRE EM ENGENHARIA MECÂNICA .

Campinas

- 1987 -

UNICAMP
BIBLIOTECA CENTRAL

UNIVERSIDADE ESTADUAL DE CAMPINAS
FACULDADE DE ENGENHARIA DE CAMPINAS
DEPARTAMENTO DE ENGENHARIA MECÂNICA

Tese de : MESTRADO

Título da Tese : IDENTIFICAÇÃO DE PARÂMETROS DE SISTEMAS MECÂNICOS
E DAS CARACTERÍSTICAS DE UMA PERTURBAÇÃO EXTERNA
PELO MÉTODO DAS COVARIÂNCIAS .

Autor : MILTON DIAS JUNIOR .

Orientador : Prof. Dr. HANS INGO WEBER .

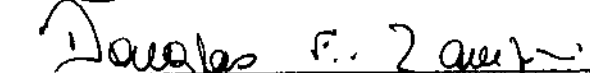
Aprovado por



Prof. Dr. HANS INGO WEBER , Presidente



Prof. Dr. JOÃO LIRANI



Prof. Dr. DOUGLAS EDUARDO ZAMPIERI

Campinas , 2 de julho de 1987 .

AGRADECIMENTOS

Ao seu orientador o autor , Prof. Dr. HANS ULLMAYER , pelo apoio e incentivo que lhe foi dado , e pelo respeito e amizade que tem marcado nosso relacionamento .

Ao Prof. RODRIGO PEREIRA pelas valiosas discussões e pela boa vontade demonstrada no esclarecimento de inúmeras dívidas .

Ao Prof. Dr. FERNANDO IGUTI pelo auxílio nos métodos numéricos e pela constante companhia e apoio .

A ILMAR FERREIRA SANTOS pela ajuda na confecção dos gráficos e pela inestimável amizade .

A Fundação de Amparo à Pesquisa do Estado de São Paulo pelo financiamento desta tese e pela presteza e atenção com que fui tratado .

Ao pessoal do GEPROM pelo agradável ambiente de trabalho e amizade de todos , e a aqueles que , de uma forma ou de outra , contribuiram para a realização desta tese .

RESUMO

Este trabalho inicia-se com uma rápida recapitulação da resolução de equações de círculo para sistemas contínuos e discretos no tempo, além da teoria básica para o análise de estabilidade através do Método Direto (ou Segundo Método) de Ljapunov.

É apresentada a formulação do Método das Covariâncias para sistemas com um ou mais qualquer de graus de liberdade, aplicados em diversos casos de identificação de parâmetros e/ou das características da força de excitação.

Uma visão superficial dos métodos numéricos é dada e são apresentados exemplos de aplicação da técnica de estimação em sistemas com um grau de liberdade excitados por um ruído branco ou colorido.

Finalmente, discute-se os problemas advindos das soluções adotadas, bem como da própria formulação do Método das Covariâncias, e se sugere alguns procedimentos alternativos para evitá-los.

ABSTRACT

This work begins with a short recapitulation on the solution of state equations for systems that are continuous and differentiable in time. Also the basic theory for analysis of stability by Direct Method (or Second Method) of Liapunov is presented.

The formulation for the Covariance Method applied to systems with any number of degrees of freedom is shown, applied to several identification cases and/or characteristics of the excitation force.

A superficial analysis of the numerical methods is made and several examples of the application of the estimation technique in systems with one degree of freedom excited by white or colored noise are presented.

Finally, it is discussed the problems that arise due to the adopted solutions, as well as through the formulation of the Covariance Method and some alternative procedures are proposed.

ÍNDICE

	P. G.
OBSERVAÇÕES INICIAIS	01
CAPÍTULO I - INTRODUÇÃO	
1.1. IDENTIFICAÇÃO DE SISTEMAS MECÂNICOS.....	02
1.2. OBJETIVOS DO TRABALHO.....	04
1.3. CONTEÚDO E DIVISÃO DOS TRABALHOS.....	06
CAPÍTULO II - SISTEMAS DINÂMICOS	
2.1. INTRODUÇÃO	10
2.2. DESCRIÇÃO DE SISTEMAS DINÂMICOS POR VARIÁVEIS DE ESTADO	10
2.2.1. Sistemas Contínuos no Tempo	11
2.2.2. Sistemas Discretos no Tempo	15
2.3. ESTABILIDADE DE SISTEMAS DINÂMICOS	16
2.3.1. Definições	19
2.3.2. Método Direto de Ljapunov	21
2.3.3. Aplicação do Método Direto de Ljapunov a Sistemas Lineares	24
CAPÍTULO III - MÉTODO DAS COVARIÂNCIAS	
3.1. INTRODUÇÃO	28
3.2. DESCRIÇÃO DO PROBLEMA	30
3.2.1. Identificação de um sistema mecânico line-	

ar , invariante no tempo , excitado por um ruido branco e acoplado a um conjunto de filtros lineares	33
3.2.1.1. Filtro Posterior de 1 ^a ordem	35
3.2.1.2. Filtro Posterior de 2 ^a ordem	39
3.2.1. Identificação de um sistema mecânico linear , invariante no tempo , acoplado a um conjunto de filtros lineares , e das características do ruido colorido de primeira ordem usado como excitação	42
3.2.2.1. Filtro Posterior de 1 ^a ordem	43
3.2.2.2. Filtro Posterior de 2 ^a ordem	48

CAPÍTULO IV - MÉTODOS NUMÉRICOS

4.1. INTRODUÇÃO	53
4.2. GERAÇÃO DO SINAL DE EXCITAÇÃO	54
4.3. TRANSFORMADA DE FOURIER RÁPIDA	56
4.4. MÉDIA E FUNÇÃO DE AUTO-CORRELAÇÃO	56
4.5. SOLUÇÃO DE SISTEMAS DE EQUAÇÕES DIFERENCIAIS	57
4.6. INTERPOLAÇÃO POR "SPLINES" CÚBICAS	58
4.7. SOLUÇÃO DE SISTEMAS DE EQUAÇÕES LINEARES	61
4.8. SOLUÇÃO DE SISTEMAS DE EQUAÇÕES NÃO LINEARES....	62

CAPÍTULO V - RESULTADOS

5.1. INTRODUÇÃO	64
5.2. SISTEMA MECÂNICO EXCITADO POR UM RUÍDO BRANCO....	69
5.2.1. Filtro posterior de 1 ^a ordem.....	69
3.2.2. Filtro posterior de 2 ^a ordem.....	83
5.3. SISTEMA MECÂNICO EXCITADO POR UM RUÍDO COLORIDO..	87

CAPÍTULO VI - DISCUSSÕES E CONCLUSÕES FINAIS

6.1. INTRODUÇÃO	93
6.2. ANÁLISE GERAL DOS ESTUDOS COMPARATIVOS	94
6.3. O MÉTODO DAS COVARIÂNCIAS	103
6.4. CONCLUSÕES FINAIS	110
 REFERÊNCIAS BIBLIOGRÁFICAS	112
 APÊNDICE	117

OBSERVAÇÕES INICIAIS

Antes de começar o trabalho propriamente dito , achou-se interessante fazer alguns comentários :

1. Adotou-se como notação de elementos matriciais , vetoriais e escalares , os 7 quintos critérios : matrizes são indicadas com letras maiúsculas e sublinhadas (A e E) ; vetores com letras minúsculas e sublinhadas (u e n) ; e grandezas escalares por maiúsculas ou minúsculas com sublinhado (b e λ) .
2. Quando o assunto apresentado se aplica a sistemas de forma generalizada , estes são referenciados por "sistemas dinâmicos" ; a terminologia "sistemas mecânicos" é usada para a aplicação dos resultados .
3. Por vezes , algumas grandezas , operadores ou funções diferentes são designadas pelas mesmas variáveis em capítulos diferentes . (Como "T" , em e^{-AT} , significando transposto ; e "T" significando intervalo de discretização .) Supõe-se que o próprio texto indique o significado correto .
4. Chamou-se de rigidez e amortecimento , no capítulo V , grandezas que tem unidade de s^{-2} e s^{-1} respectivamente . Assume-se que a massa do sistema seja unitária e que os valores destas variáveis correspondam , numericamente , às reais rigidez e amortecimentos .

CAPÍTULO I

Introdução

1.1. Identificação de Sistemas Mecânicos.

No se estuda o comportamento dinâmico de um sistema físico é sempre importante obter um modelo que consiga descrever , de forma sucinta e precisa , suas características mais relevantes , dependendo , obviamente , do tipo de aplicação que se tem em mente . Assim , entende-se que um modelo seja uma representação dos aspectos essenciais de um sistema existente (ou a ser construído) os quais são apresentados de maneira simples de serem analisados (Chen [01]) .

Sykhoff [06] divide os modelos em três grupos , sendo eles : fenomenológicos , físicos e matemáticos , dependendo (a) de quais são os aspectos considerados essenciais para a aplicação desejada , (b) das técnicas de modelamento que podem ser usadas e (c) da quantidade e qualidade das informações disponíveis sobre o sistema .

A um mesmo sistema físico pode-se associar diversas formas de modelos - como , por exemplo , equações diferenciais ou a diferenças , descrição por variáveis de estado , função de transferência , modelos paramétricos - dependendo do tipo de análise que se pretende fazer .

Uma vez definida a estrutura do modelo matemático , baseado em conhecimentos prévios resultantes de testes e/ou comparação com

sistemas similares , depara-se com o problema da determinação da ordem e dos valores dos parâmetros do modelo de modo que este descreva , da melhor maneira possível , o comportamento dinâmico do sistema estudado .

Para o caso de sistemas mecânicos , um modelo matemático particularmente interessante é aquele que o descreve por equações diferenciais cuja diferença . A determinação da ordem do modelo reside , de um lado , no fato de que o modelo deve conter tantos pólos quantos necessários para descrever precisamente o seu comportamento dinâmico , e do outro , que ela seja o mais baixa possível para não dificultar demais o modelo . Em Natke [17] encontrase , de forma suscinta , alguns métodos para a determinação da ordem correta do modelo .

Os processos de estimação de parâmetros combinam partes teóricas e práticas com o objetivo de obter um modelo teórico-experimental para o sistema real . Assim , o problema de identificação consiste na determinação de um modelo , baseado nos sinais de entrada e saída , que seja equivalente ao sistema físico testado , segundo algum critério pré-estabelecido (Natke [17]) .

Existem , atualmente , inúmeros métodos de identificação conhecidos , cada um mais adequado a determinado tipo de análise , podendo trabalhar no domínio do tempo ou da freqüência , aplicáveis a sistemas lineares e não lineares . Certamente , as técnicas de estimação de parâmetros mais conhecidas e utilizadas hoje em dia são : mínimos quadrados (e mínimos quadrados generalizados) , variáveis instrumentais e máxima verossimilhança . Estes métodos já foram amplamente estudados ,

podendo ser encontrados facilmente na literatura (ver , por exemplo , Goodwin/Payne [07] e Isermann [08]) .

1.2. Objetivos do Trabalho .

Existe atualmente um grupo de pesquisadores dentro do Laboratório do Projeto Mecânico do Departamento de Engenharia Mecânica da UNICAMP voltado ao estudo de sistemas hidráulicos de grande porte , enquadrados dentro de um convênio CESP/UNICAMP , com o objetivo de desenvolver uma metodologia de manipulação preditiva neste tipo de sistemas .

São inúmeras as linhas de pesquisas que são abrangidas por esta grande área , entre as quais se encontra a identificação de parâmetros de sistemas mecânicos .

A figura 1.1 mostra a divisão clássica dos tipos de problemas de identificação . Com algumas modificações , esta tese se enquadra nos problemas de entrada e de identificação , com a ressalva de que aqui não se dispõe das medidas da excitação - situação que ocorre comumente na prática .

Assim , o que se o que se propõe neste trabalho é estudar alguns aspectos da simulação , em computador digital , de sistemas simples , determinando as características do modelo matemático (equação de estado) através do Método das Covariâncias , conhecendo-se somente sua estrutura e a saída .

Estimulado pelo projeto supracitado , pensou-se em estudar , como um trabalho inicial , a possibilidade de se determinar as características da força de excitação estocástica que age sobre turbinas (figura 1.2) .

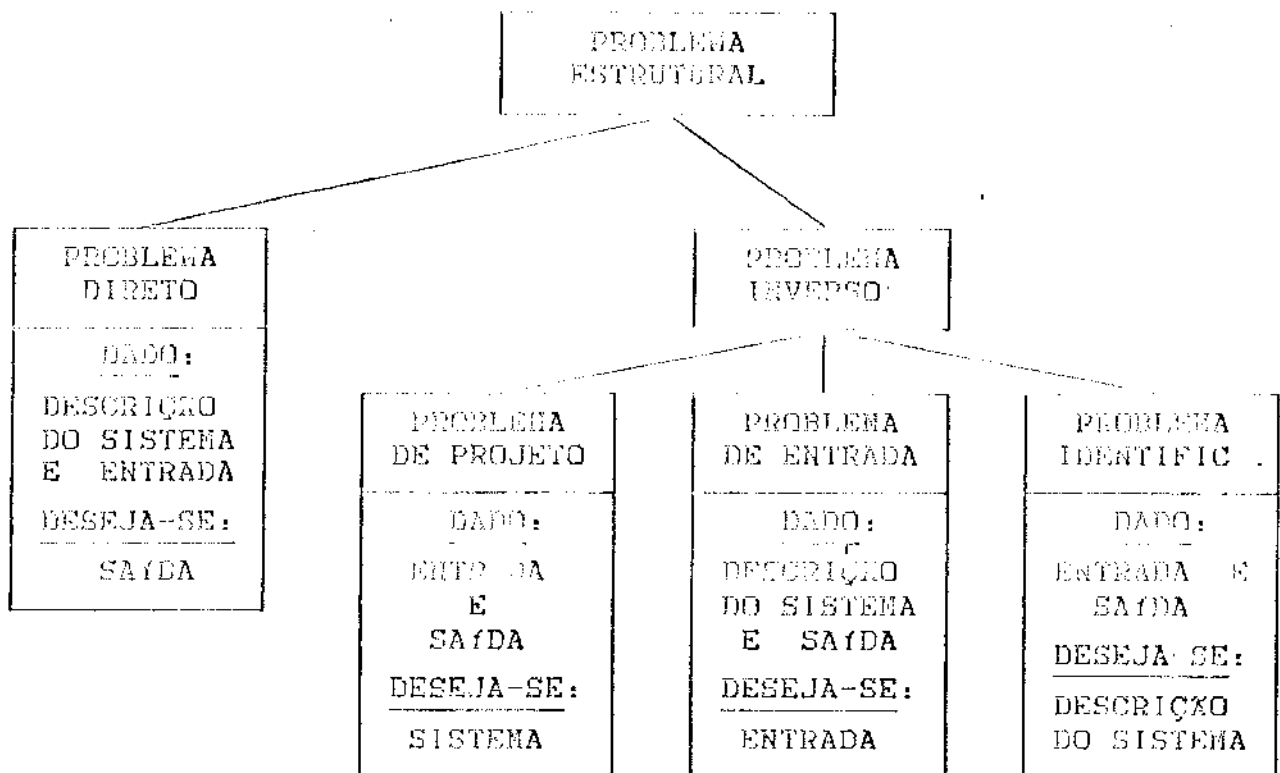


Figura 1.1 - Classificação do problema de identificação
(reproduzido de Natke [17]) .

Assim ,em uma segunda fase do trabalho , sugere-se a estimação , além dos parâmetros do sistema , os valores das características da perturbação externa , adotando para isso , um modelo simples de geração de um ruído colorido a partir de um processo supostamente branco .

Não se pretende aprofundar no estudo do método de identificação em si , desejando-se apenas apresentar os resultados das simulações feitas e analisar as vantagens , desvantagens e consequências da aplicação de todos os algoritmos utilizados para o problema em questão .

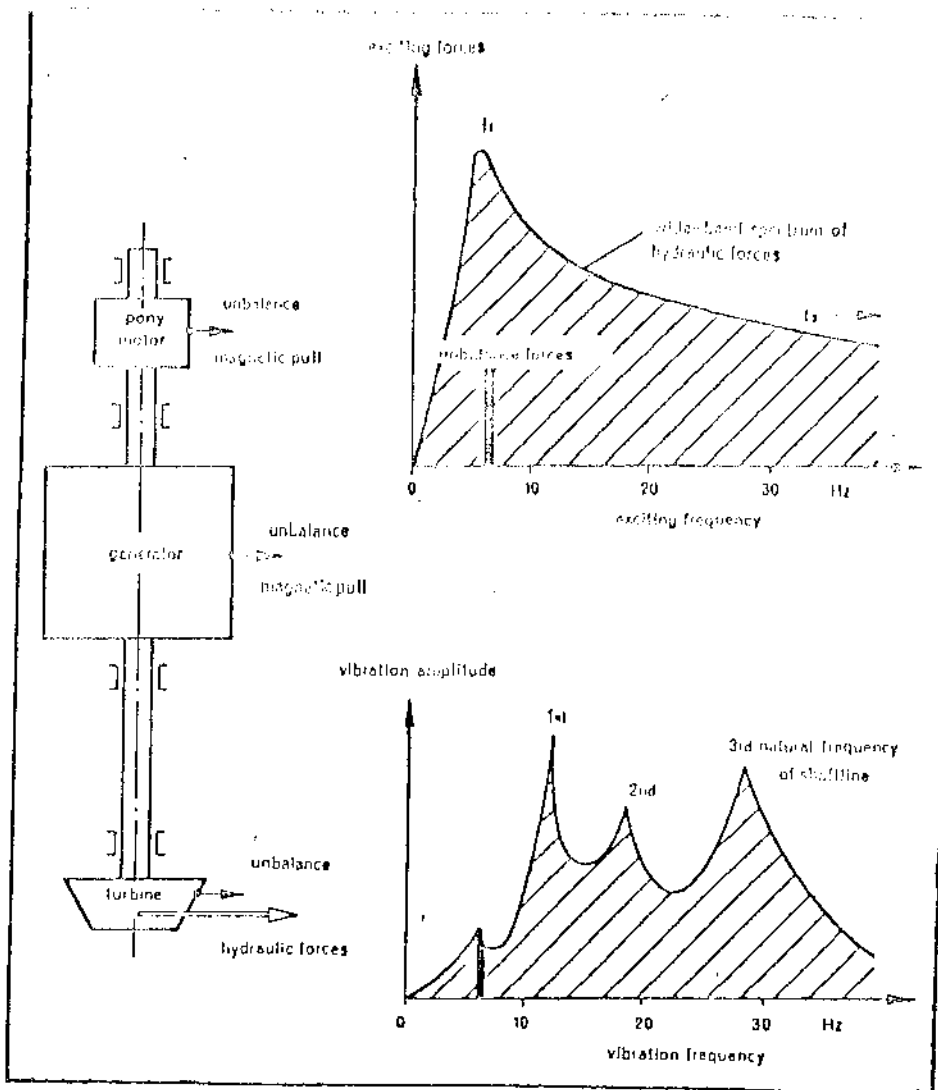


Figura 1.2 - Espectro característico das forças hidráulicas que atuam em uma turbina (reproduzido de Schwirzer [29]) .

1.3. Conteúdo e Divisão do Trabalho

No capítulo II são apresentados alguns conceitos e definições básicos na análise de sistemas dinâmicos. É mostrada a descrição por variáveis de estado para sistemas contínuos e discretos no tempo. Em seguida, estuda-se a estabilidade de um

sistema genérico - podendo ser multilinear ou variante no tempo - utilizando o Método Direto (ou Segundo Método) de Ljapunov . Finalmente , aplicar-se este critério para sistemas lineares e invariantes com o tempo , obtendo-se a equação matricial de Ljapunov , que é a base do Método das Covariâncias (MC) - ou de Identificação por Médias Quadráticas - que será utilizado durante todo o trabalho .

Na verdade , a equação de Ljapunov , na forma que é normalmente apresentada pela teoria clássica de análise de sistemas , ainda não é conveniente para a aplicação presente . Assim , o capítulo III se inicia com uma formulação diferente para a sua obtenção , chegando-se finalmente à equação desejada . Logo , obtém-se também o processo para determinação do estimador das covariâncias . Em seguida , dois casos de estimação de parâmetros são apresentados : o primeiro trata de um sistema mecânico , com N graus de liberdade , excitado um por ruído branco e acoplado a filtros lineares de 1^a ordem ; e o segundo é composto do mesmo sistema e perturbação externa só que acoplado a filtros de 2^a ordem . Na sequência , aplica-se o MC para determinação das características da entrada , gerada a partir do ruído branco citado anteriormente , através de uma equação diferencial de primeira ordem . Os filtros de primeira e segunda ordens são novamente usados . Todas as formulação são feitas para sistemas com um número qualquer de graus de liberdade , com múltiplas entradas e quantidade de filtros posteriores também qualquer . Para cada caso citado é apresentado um exemplo de aplicação em um sistema simples de um grau de liberdade .

A seguir , passa-se para os métodos numéricos , expostos no

capítulo IV . Achou-se conveniente não apresentar a formulação matemática dos algoritmos utilizados na identificação e identificação dos sistemas estudados . Assim , expõe-se , de uma forma suscinta , apenas suas idéias principais , a fim de possibilitar as discussões que serão feitas mais adiante . Maiores detalhes sobre qualquer dos métodos numéricos podem ser encontrados nas referências indicadas .

O capítulo V apresenta os resultados da identificação dos parâmetros dos sistemas mecânicos e das características da força de excitação para cada um dos exemplos de aplicação descritos no capítulo III. São feitas algumas análises sobre a repetibilidade que deve ter o gerador de sinais aleatórios de modo que as estimativas convirjam para os valores corretos , sobre a frequência máxima da excitação e intervalo de discretização das respostas .

Finalmente , no capítulo VI , são discutidas as dificuldades encontradas devido à utilização do integrador numérico ; é analisado o comportamento do sinal de excitação depois de se interpolar alguns pontos por "splines" cúbicas . Apresenta-se um sinal aleatório com características muito mais próximas de um ruído branco do que aquele adotado e propõe-se a utilização de equações a diferenças ao invés de equações diferenciais . Para verificar a validade das novas propostas , alguns resultados da identificação da rigidez e do amortecimento de um sistema de um grau de liberdade são mostrados . Em seguida , discute-se a formulação do MC quanto a dificuldade na escolha dos filtros e à polarização dos estimadores no caso de ruídos nas medidas . É citada uma variação deste método de identificação de parâmetros

chamada de Mito das Correlações. Por fim, são apresentadas, brevemente, algumas conclusões.

O apêndice contém a listagem dos programas utilizados na tese.

CAPÍTULO II

SISTEMAS DINÂMICOS

2.1. Introdução .

No estudo analítico de sistemas dinâmicos a escolha do modelo matemático adequado está estreitamente ligada ao tipo de análise que se deseja fazer , e também a quais são as características do sistema que são necessárias serem representadas pelo modelo ou quais podem ser desconsideradas (Eykhoff [06]) .

Prevende-se , neste capítulo , fornecer as bases para a formulação do método de estimação de parâmetros apresentado no capítulo III .

Inicialmente se estuda a descrição de sistemas dinâmicos através de variáveis de estado , enfocando os casos discretos e contínuos no tempo . Em seguida , utiliza-se o Método Direto de Ljapunov para a análise de estabilidade de sistemas , podendo estes serem não lineares e/ou com parâmetros variáveis . Finalmente , estuda-se o caso particular de sistemas lineares e invariantes no tempo , chegando-se à equação matricial de Ljapunov que é a parte central do Método das Covariâncias (ou Método de Identificação por Médias Quadráticas) , utilizado em todo o trabalho .

2.2. Descrição de Sistemas Dinâmicos por Variáveis de Estado.

Estado e Variáveis de estado : o estado de um sistema

dinâmico é definido pelo menor conjunto de variáveis , chamadas variáveis de estado , tal que seu conhecimento em $t = t_0$, junto com o conhecimento da entrada para $t \geq t_0$, determina completamente o comportamento do sistema em qualquer instante $t \geq t_0$. (Ogata [19])

Vetor de estado : se n variáveis são necessárias para descrever o comportamento de um dado sistema , então elas podem ser consideradas como sendo componentes de um vetor n-dimensional $\underline{x}(t)$, chamado vetor de estado . (Ogata [19])

É importante observar que as variáveis de estado não representam , necessariamente , grandezas físicas e que o conjunto de variáveis escolhido não é único (Chen [01]) .

2.2.1. Sistemas Contínuos no Tempo .

A figura 2.1 mostra , esquematicamente , as entradas , as saídas e os estados internos de um sistema dinâmico .

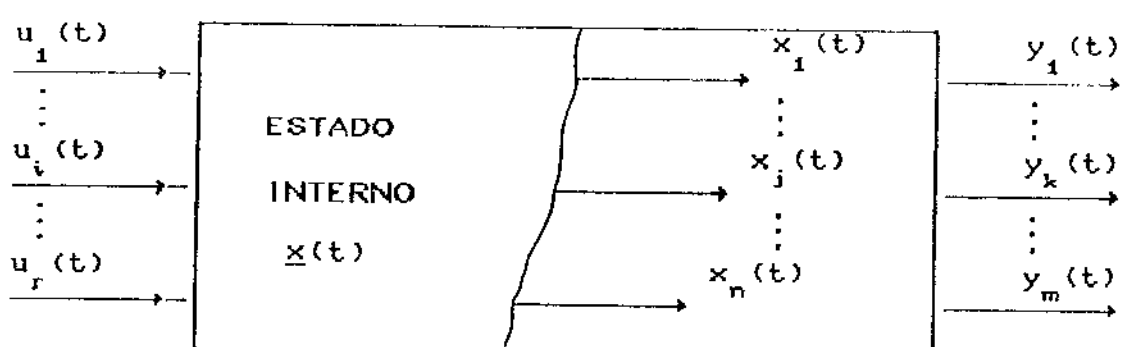


Figura 2.1 - Definição de estado de um sistema dinâmico
(reproduzido de Müller [15])

Tem-se , para o sistema da figura 2.1 , os vetores de entrada ($\underline{u}(t)$) , de saída ($\underline{y}(t)$) e de estado ($\underline{x}(t)$) , compostos pelos elementos $u_i(t)$, $i = 1, \dots, r$, $y_k(t)$, $k =$

$1, \dots, n$ é $x_j(t)$, $j = 1, \dots, n$, respectivamente, ou seja,

$$\underline{u}(t) = \begin{bmatrix} u_1(t) \\ \vdots \\ u_r(t) \end{bmatrix}, \quad \underline{x}(t) = \begin{bmatrix} x_1(t) \\ \vdots \\ x_m(t) \end{bmatrix}, \quad \underline{s}(t) = \begin{bmatrix} s_1(t) \\ \vdots \\ s_n(t) \end{bmatrix}.$$

Considerando que o sistema estudado é linear, pode-se propor um modelo matemático descrito por uma equação de estado

$$\dot{\underline{x}}(t) = \underline{A}(t) \underline{x}(t) + \underline{B}(t) \underline{u}(t), \quad \underline{x}(t_0) = \underline{x}_0 \quad (2.1.a)$$

e uma equação de saída (ou de medida)

$$\underline{y}(t) = \underline{C}(t) \underline{x}(t) + \underline{D}(t) \underline{u}(t), \quad (2.1.b)$$

onde $\underline{A}(t)$ é uma matriz $n \times n$ chamada matriz do sistema;

$\underline{B}(t)$ é a matriz de distribuição, $n \times r$;

$\underline{C}(t)$ é a matriz de saída (ou de medida), $m \times n$;

$\underline{D}(t)$ é a matriz de transição direta, $m \times r$.

O conjunto das equações (2.1) é chamado de equação dinâmica do sistema.

Na maioria das aplicações, a matriz $\underline{D}(t)$ é desconsiderada pois a sua inclusão dificulta, consideravelmente, a análise do sistema.

Uma condição suficiente para (2.1) ter uma solução única é que cada elemento de $\underline{A}(t)$ seja uma função contínua do tempo, onde t é definido em $(-\infty, \infty)$. (Chen [01])

A figura 2.2 mostra o diagrama de blocos da equação dinâmica (2.1), onde também estão representados os ruídos do processo, $\underline{v}(t)$, e de observação, $\underline{n}(t)$, que não serão considerados neste estudo.

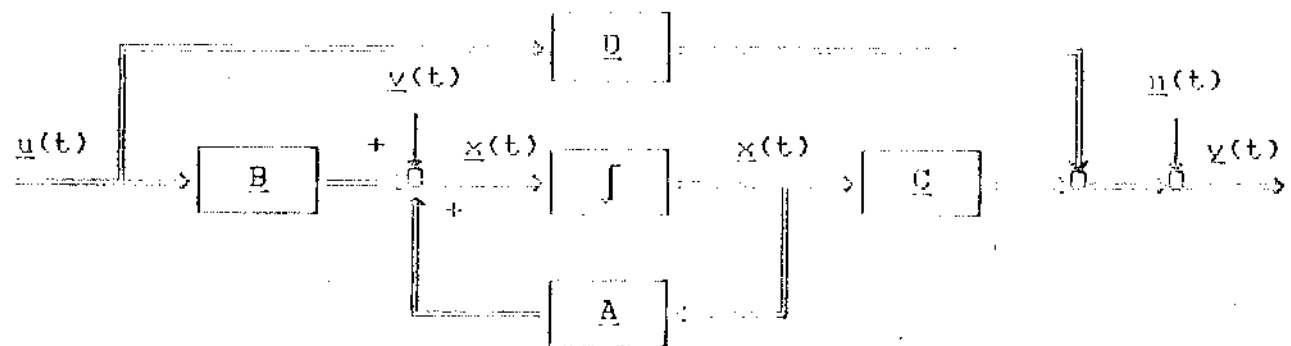


Figura 2.2 - Diagrama de blocos matricial da equação dinâmica (2.1).

Para obter a solução geral da equação de estado (2.1.a), considera-se primeiro n soluções linearmente independentes (L.I.) da homogênea associada

$$\dot{\underline{x}}(t) = \underline{A}(t) \underline{x}(t) \quad (2.2)$$

e define-se uma matriz $\underline{\Psi}$, chamada matriz fundamental de soluções de (2.2), formada pela disposição, em colunas, das n soluções L.I. consideradas.

A solução da equação de estado (2.1.a) é dada por (Chen [01])

$$\underline{x}(t) = \underline{\Phi}(t, t_0) \left[\underline{x}_0 + \int_{t_0}^t \underline{\Phi}(t_0, \tau) \underline{B}(\tau) \underline{u}(\tau) d\tau \right], \quad (2.3)$$

onde $\underline{\Phi}(t, t_0)$ é a matriz de transição de estados e é definida por

$$\underline{\Phi}(t, t_0) = \underline{\Psi}(t) \underline{\Psi}^{-1}(t_0), \text{ para todo } t, t_0 \in (-\infty, \infty)$$

ou, correspondentemente, é a única solução de

$$\frac{\partial}{\partial t} \underline{\Phi}(t, \tau) = \underline{A}(t) \underline{\Phi}(t, \tau), \quad \underline{\Phi}(\tau, \tau) = \underline{I}, \quad (2.4)$$

$\underline{\Phi}(\cdot)$ é qualquer matriz fundamental de (2.2) e \underline{I} é a matriz identidade.

A matriz de transição de estados tem algumas propriedades muito importantes:

$$1. \underline{\Phi}(t,t) = \underline{I},$$

$$2. \underline{\Phi}^{-1}(t,t_0) = \underline{\Phi}(t_0,t),$$

$$3. \underline{\Phi}(t_2, t_0) = \underline{\Phi}(t_2, t_1) \underline{\Phi}(t_1, t_0), \forall t, t_0, t_1, t_2 \in (-\infty, \infty).$$

Obtida (2.3), tornamo-nos fácil escrever uma solução geral para a equação dinâmica (2.1):

$$\underline{x}(t) = \underline{C}(t) \underline{\Phi}(t, t_0) \left[\underline{x}_0 + \int_{t_0}^t \underline{\Phi}(t_0, \tau) \underline{B}(\tau) \underline{u}(\tau) d\tau \right] + \underline{D}(t) \underline{u}(t). \quad (2.5)$$

No caso de sistemas invariantes no tempo, pode-se reescrever a equação dinâmica na forma

$$\dot{\underline{x}}(t) = \underline{A} \underline{x}(t) + \underline{B} \underline{u}(t), \quad \underline{x}(t_0) = \underline{x}_0 \quad (2.6.a)$$

$$\underline{y}(t) = \underline{C} \underline{x}(t) + \underline{D} \underline{u}(t). \quad (2.6.b)$$

Sabe-se que

$$\frac{d}{dt} e^{\underline{A}t} = \underline{A} e^{\underline{A}t},$$

e como $e^{\underline{A}t}$ é não singular, ela é uma matriz fundamental de soluções. Logo, a matriz de transição de estados da homogênea associada a (2.6.a) é

$$\underline{\Phi}(t, t_0) = e^{\underline{A}t} (e^{\underline{A}t})^{-1} = \underline{\Phi}(t - t_0).$$

Portanto, a solução da equação de estado (2.6.a), para

$t_0 = 0$, é dada por

$$\underline{x}(t) = e^{\underline{A}t} \left[\underline{x}_0 + \int_0^t e^{-\underline{A}\tau} \underline{B} \underline{u}(\tau) d\tau \right]. \quad (2.7)$$

2.2.2. Sistemas Discretos no Tempo.

No caso em que se deseja avaliar o estado $\underline{x}(t)$ usando um computador digital, é conveniente converter a equação do estado (2.1.a), contínua no tempo, onde se precisa recorrer a integradores numéricos para a solução do problema, para uma outra forma discreta, na qual se usa apenas uma fórmula recursiva.

Para fazer tal transformação, considera-se a equação de estado contínua no tempo e com parâmetros constantes

$$\dot{\underline{x}}(t) = \underline{A} \underline{x}(t) + \underline{B} \underline{u}(t), \quad \underline{x}(t_0) = \underline{x}_0, \quad (2.8)$$

e assume-se que o vetor de entrada $\underline{u}(t)$ mude de valor somente em intervalos de tempo, T , igualmente espaçados, ou seja, $\underline{u}(t) = \underline{u}(kT)$ para $kT \leq t < (k+1)T$ e $k = 0, 1, 2, \dots$

Como já foi visto, a solução de (2.8), se $t_0 = 0$, é

$$\underline{x}(t) = e^{\underline{A}t} \underline{x}_0 + e^{\underline{A}t} \int_0^t e^{-\underline{A}\tau} \underline{B} \underline{u}(\tau) d\tau,$$

e suas correspondentes discretas, para o $(k+1)$ -ésimo e o k -ésimo períodos de amostragem são, respectivamente:

$$\underline{x}([k+1]T) = e^{\underline{A}[k+1]T} \underline{x}_0 + e^{\underline{A}[k+1]T} \int_0^{[k+1]T} e^{-\underline{A}\tau} \underline{B} \underline{u}(\tau) d\tau \quad (2.9)$$

e

$$\underline{x}(kT) = e^{\underline{A}kT} \underline{x}_0 + e^{\underline{A}kT} \int_0^{kT} e^{-\underline{A}\tau} \underline{B} \underline{u}(\tau) d\tau. \quad (2.10)$$

Multiplicando (2.10) por e^{AT} e subtraindo de (2.9), obtém-se

$$\underline{x}([k+1]T) = e^{AT} \underline{x}(kT) + \left[\int_0^T e^{A\lambda} B d\lambda \right] u(kT) , \quad (2.11)$$

onde $\lambda = T - t$. Definindo

$$\underline{G}(T) = e^{AT} \quad (2.12)$$

e

$$\underline{H}(T) = \left[\int_0^T e^{At} B dt \right] , \quad (2.13)$$

chega-se à forma final da equação de estado discreta no tempo :

$$\underline{x}([k+1]T) = \underline{G}(T) \underline{x}(kT) + \underline{H}(T) u(kT) , \quad \underline{x}(0) = \underline{x}_0 . \quad (2.14)$$

Sabese (Ogata [19]) que a matriz e^{AT} pode ser expandida em uma série infinita de potência :

$$e^{AT} = \left[I + AT + \frac{A^2 T^2}{2!} + \dots + \frac{A^k T^k}{k!} + \dots \right] . \quad (2.15)$$

Para T suficientemente pequeno, o erro ao desconsiderar os termos da série (2.15) que contém potências maiores ou igual a 2 é desprezível.

Assim, a expressão final para sistemas discretas no tempo, com intervalo de amostragem suficientemente pequeno, e parâmetros constantes fica

$$\underline{x}(k+1) = \left[I + AT \right] \underline{x}(k) + T B u(k) , \quad \underline{x}(0) = \underline{x}_0 . \quad (2.16)$$

2.3. Estabilidade de Sistemas Dinâmicos.

Existem diversos métodos para se estudar o comportamento de

estabilidade de um sistema dinâmico. Por exemplo, se o sistema é linear e invariante no tempo, pode-se usar os critérios de Nyquist ou de Routh (Park/Hann [20] , D'azzone/Houpis [03]), sabendo que uma condição suficiente para que a origem do sistema, contínuo no tempo,

$$\dot{x}(t) = A x(t),$$

seja assintoticamente estável é que todos os auto-valores de A tenham partes reais negativas, ou seja, os zeros do polinômio característico

$$| s I - A | = s^n + a_1 s^{n-1} + \dots + a_{n-1} s + a_n$$

tenham partes reais negativas (figura 2.3). No caso de sistemas discretos

$$x(k+1) = G x(k),$$

a condição suficiente e necessária para que a origem $x = 0$ seja assintoticamente estável é que todos os auto-valores de G tenham magnitudes menores que a unidade, ou seja, os zeros do polinômio característico

$$| z I - A | = z^n + a_1 z^{n-1} + \dots + a_{n-1} z + a_n$$

estejam dentro do círculo unitário centrado na origem do plano z . (figura 2.4)

Contudo, se o sistema é não linear, ou linear mas com parâmetros variantes no tempo, estes métodos não se aplicam. Provavelmente, o segundo método (ou método direto) de Ljapunov seja o mais geral dentre aqueles conhecidos, podendo ser aplicado

a sistemas de qualquer ordem, lineares e não-lineares, variáveis no tempo ou não; com a vantagem de não ser preciso resolver a equação de estado para fazer a análise.

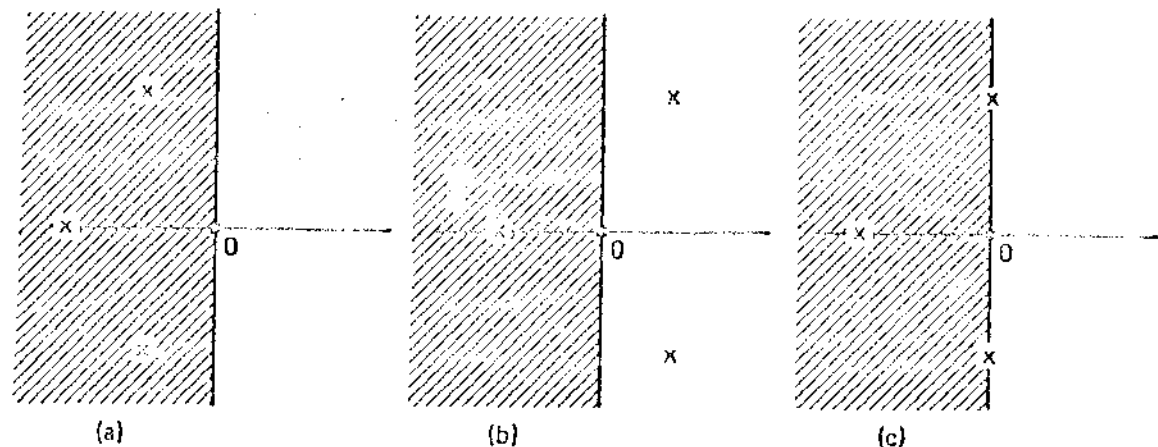


Figura 2.3 - Auto-valores e estabilidade em um sistema contínuo .
 (a) Assintoticamente estável . (b) Instável . (c) Estabilidade crítica .

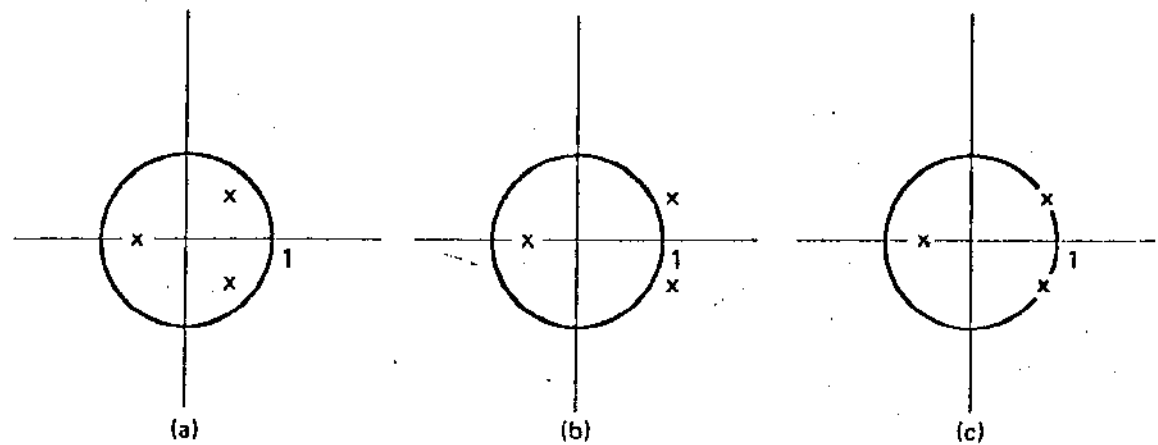


Figura 2.3 - Auto-valores e estabilidade em um sistema discreto .
 (a) Assintoticamente estável . (b) Instável . (c) Estabilidade crítica .

A aplicação deste método em sistemas lineares e invariantes no tempo fornecerá a equação básica para o desenvolvimento do processo de identificação a ser descrito no capítulo III .

Antes de formular o critério de estabilidade de Ljapunov , apresentarei algumas definições .

2.3.1. Definições .

Estado de equilíbrio : um ponto \bar{x} é um estado de equilíbrio se , uma vez que o vetor de estado tornar-se igual a \bar{x} , ele se mantém assim para todos os instantes futuro .

Ou seja , dado o sistema dinâmico contínuo

$$\dot{x}(t) = f(x(t), t) , \quad (2.17)$$

o vetor $\bar{x}(t)$ é um ponto de equilíbrio se ele satisfaz

$$f(\bar{x}(t), t) = 0 , \text{ para todo } t$$

ou , para o sistema discreto

$$x(k+1) = f(x(k), k) \quad (2.18)$$

o vetor $\bar{x}(k)$ é uma posição de equilíbrio se satisfaz

$$\bar{x}(k) = f(\bar{x}(k), k) , \text{ para todo } k .$$

Função positiva definida : uma função escalar $V(x)$ é dita positiva definida em uma região Ω , incluindo a origem do espaço de estado , se $V(x) > 0$ para todo $x \neq 0$ em Ω e $V(0) = 0$.

Função negativa definida : uma função escalar $V(x)$ é dita negativa definida se $-V(x)$ é positiva definida .

Função positiva semi-definida : uma função escalar $V(\underline{x})$ é dita positiva semi-definida em uma região Ω , incluindo a origem do espaço de estados, se $V(\underline{x}) \geq 0$ para todo \underline{x} em Ω .

Função negativa semi-definida : uma função escalar $V(\underline{x})$ é dita negativa semi-definida se $-V(\underline{x})$ é positiva semi-definida.

Função indefinida : uma função escalar $V(\underline{x})$ é dita indefinida se ela assume valores positivos e negativos, não importando quão pequena seja a região Ω .

Forma quadrática de uma função : uma função escalar $V(\underline{x})$ tem uma forma quadrática quando ela pode ser escrita da seguinte maneira :

$$V(\underline{x}) = \underline{x}^T P \underline{x},$$

onde se considera P uma matriz real e simétrica. P determina se a forma quadrática é positiva ou negativa, definida ou semi-definida. Do critério de Sylvester sabe-se que para uma matriz ser positiva definida (ou semi-definida) então todos os menores principais têm que ser maiores que zero (ou apenas positivos). Ou seja, se P é uma matriz $n \times n$ então, para que seja positiva definida, deve-se ter

$$p_{11} > 0, \quad \begin{vmatrix} p_{11} & p_{12} \\ p_{21} & p_{22} \end{vmatrix} > 0, \dots, \quad \begin{vmatrix} p_{11} & \dots & p_{1n} \\ \vdots & \ddots & \vdots \\ p_{n1} & \dots & p_{nn} \end{vmatrix} > 0,$$

onde a condição de exatamente maior que zero passa a ser apenas de exatamente positivo se a matriz P deve ser positiva semi-definida. (Lembrar que P é negativa definida se $-P$ é positiva definida.)

2.9.2. Método Direto de Ljapunov .

Seja \bar{x} um estado de equilíbrio do (2.17) no caso contínuo , ou (2.18) no caso discreto , e uma região esférica , $S(\bar{x},R)$, de raio R e centrada em \bar{x} , ou seja , $S(\bar{x},R)$ é um conjunto de vetores satis fazendo

$$\|\underline{x} - \bar{x}\| \leq R ,$$

onde $\|\underline{x} - \bar{x}\|$ é chamada norma Euclidiana e é definida por

$$\|\underline{x} - \bar{x}\| = \left[\sum_{i=1}^n (x_i - \bar{x}_i)^2 \right]^{1/2} .$$

Assim , tem-se as seguintes definições de estabilidade , segundo Ljapunov (Luenberger [13]) :

1. A posição de equilíbrio \bar{x} do sistema (2.17) , ou (2.18) no caso discreto , será dita estável se para qualquer instante t_0 e qualquer $R > 0$, existe um $r = r(R,t_0)$, $0 < r < R$, tal que para uma condição inicial em $S(\bar{x},r)$, então $\underline{x}(t)$ (ou $\underline{x}(k)$) está dentro de $S(\bar{x},R)$ para todo $t \geq t_0$.

Observação : se r não depende de t_0 então a posição de equilíbrio é dita uniformemente estável .

2. A posição de equilíbrio \bar{x} do sistema (2.17) , ou (2.18) no caso discreto , será dita assintoticamente estável se ela for estável e , mais ainda , se existir um $R_0 > 0$ tal que se o estado inicial estiver em $S(\bar{x},R_0)$, $\underline{x}(t)$ (ou $\underline{x}(k)$) converge para \bar{x} , sem deixar $S(\bar{x},R)$, quando o tempo cresce indefinidamente .

3. A posição de equilíbrio \bar{x} será dita marginalmente estável (possui um limite de estabilidade) se ela for estável mas não assintoticamente estável , ou seja , existe pelo menos uma

situação $x(t_0)$ (ou $x(0)$) tal que $x(t)$ (ou $x(k)$) não satisfaga as condições da definição 2 .

4. A posição de equilíbrio \bar{x} será dita instável se ela não for estável , ou seja , se para algum $R > 0$ e qualquer $r > 0$, existe um ponto na região $S(\bar{x}, r)$ tal que se a posição inicial coincide com este ponto , então o estado sai fora de $S(\bar{x}, R)$.

A figura 2.5 mostra a posição de equilíbrio e trajetórias de estados típicas de sistemas estáveis , instáveis e assintoticamente estáveis .

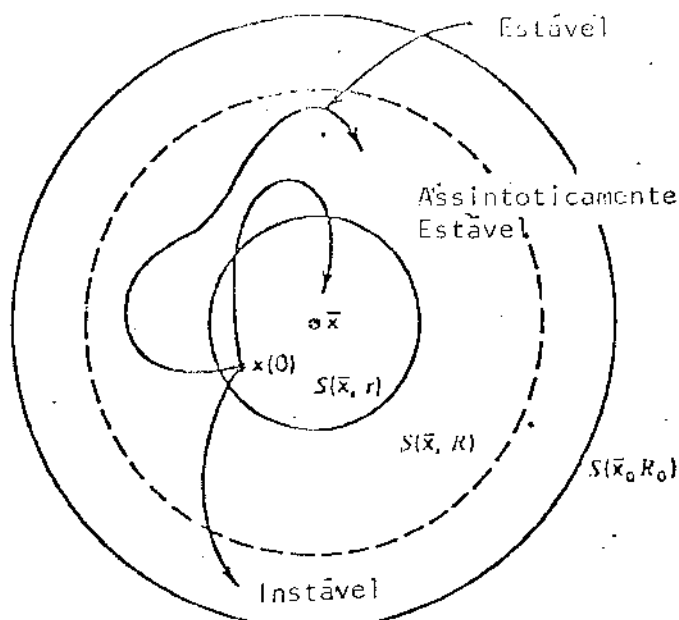


Figura 2.5 - Conceitos de estabilidade segundo Ljapunov .

Se a estabilidade assintótica de uma posição de equilíbrio vale para qualquer ponto inicial dentro do espaço de estados , então diz-se que esta posição é assintoticamente estável no sentido global . Obviamente , isto exige que o sistema tenha somente um único ponto de equilíbrio .

Um conceito muito importante para se estudar estabilidade através do método direto é o de funções de Ljapunov .

Considere um ponto de equilíbrio \bar{x} do sistema dinâmico

contínuo (2.17) , ou (2.18) para o caso discreto . Uma função de Ljapunov para este sistema é esta posição de equilíbrio é uma função real $V(\underline{x}, t)$, definida em uma região Ω contendo \bar{x} , e que satisfaça as seguintes condições :

1. $V(\underline{x}, t)$ é contínua ;
2. $V(\underline{x}, t)$ tem um único mínimo em \bar{x} , em relação a todos os outros pontos em Ω ;
3. o valor de $V(\underline{x}, t)$ nunca cresce , seja qual for a trajetória de estado , contida em Ω , seguida . Isto significa que , para o sistema contínuo (2.17) ,

$$\dot{V}(\underline{x}(t), t) = -\frac{\partial V}{\partial t} + \nabla V(\underline{x}(t), t) \cdot f(\underline{x}(t), t) \leq 0$$

para todo $\underline{x}(t)$ em Ω , onde ∇ é o vetor gradiente definido por

$$\nabla V(\underline{x}(t), t) = \left[\begin{array}{c} \frac{\partial}{\partial x_1} V(\underline{x}(t), t) \dots \frac{\partial}{\partial x_n} V(\underline{x}(t), t) \end{array} \right]$$

e , para o sistema discreto (2.18) ,

$$\Delta V(\underline{x}(k), k) = V(f(\underline{x}(k), k)) - V(\underline{x}(k), k) \leq 0$$

para todo $\underline{x}(k)$ em Ω .

A seguir é enunciado o teorema principal de estabilidade chamado Método Direto de Ljapunov .

"Se existe uma função de Ljapunov $V(\underline{x}(t), t)$, ou $V(\underline{x}(k), k)$, em uma região esférica $S(\underline{x}, R_0)$, então o ponto de equilíbrio \bar{x} é estável . Se , além disso , a função $\dot{V}(\underline{x}(t), t)$, ou $\Delta V(\underline{x}(k), k)$, for negativa definida , então a estabilidade de \underline{x} é assintótica . E mais ainda , se $\dot{V}(\underline{x}(t), t) \rightarrow \infty$ (ou $\Delta V(\underline{x}(k), k) \rightarrow \infty$) quando $\|\underline{x} - \bar{x}\| \rightarrow \infty$, então a posição de equilíbrio é assintoticamente estável no sentido global ." (Luenberger [13])

O conceito de função de Ljapunov e o teorema de estabilidade podem ser generalizados para tratar de situações especiais como , por exemplo , o caso em que $\dot{V}(\underline{x}(t), t)$ (ou $\Delta V(\underline{x}(k), k)$) não é negativa definida mas apenas semi-definida . O teorema afirma que o sistema é estável mas não garante que a estabilidade é assintótica ; ou quando o sistema não possui uma posição de equilíbrio mas tendem , quando o tempo cresce , para uma trajetória fixa (ciclo limite) .

Esta versão do segundo método de Ljapunov não será apresentada aqui , pois a formulação anterior já é adequada para se estudar sistemas lineares , mas pode ser encontrada , por exemplo , em D'azzo/Houpis [03] , Luenberger [13] .

2.3.3. Aplicação do Método Direto de Ljapunov a sistemas lineares .

A obtenção das funções de Ljapunov se constitui em um grande problema para a utilização do método de análise de estabilidade apresentado . Contudo , quando se trata de sistemas dinâmicos lineares , ou seja , do tipo

$$\dot{\underline{x}}(t) = \underline{A}(t) \underline{x}(t) , \quad \underline{x}(t_0) = \underline{x}_0 \quad (2.19)$$

no caso contínuo e

$$\underline{x}(k+1) = \underline{G}(k) \underline{x}(k) , \quad \underline{x}(0) = \underline{x}_0 \quad (2.20)$$

no caso discreto ($\underline{A}(t)$ e $\underline{G}(k)$ são matrizes não singulares) , alguns resultados importantes podem ser obtidos ao se propor uma forma quadrática para a função de Ljapunov . Obviamente , a única

posição de equilíbrio do (2.19) e (2.20) é a origem do espaço de estados $\underline{x} = \underline{0}$.

Consideremos, portanto, para o sistema contínuo (2.19) uma função $V(\underline{x}(t), t)$ dada por

$$V(\underline{x}(t), t) = \underline{x}^T(t) \underline{P}(t) \underline{x}(t), \quad (2.21)$$

onde $\underline{P}(t)$ é uma matriz real simétrica e positiva definida. Seja ainda $V(\underline{x}(t), t)$ contínua e com suas derivadas parciais primeiras também contínuas. Derivando-se (2.21) em relação ao tempo obtém-se

$$\dot{V}(\underline{x}(t), t) = \underline{x}^T(t) \left[\dot{\underline{P}}(t) + \underline{A}^T(t) \underline{P}(t) + \underline{P}(t) \underline{A}(t) \right] \underline{x}(t). \quad (2.22)$$

Para que a posição de equilíbrio $\underline{x}(t) = \underline{0}$ seja assintoticamente estável (ou apenas estável) basta que a matriz entre colchetes do lado direito da equação (2.22) seja negativa definida (ou negativa semi-definida). Fazendo

$$\dot{\underline{P}}(t) + \underline{A}^T(t) \underline{P}(t) + \underline{P}(t) \underline{A}(t) = -\underline{Q}(t), \quad (2.23)$$

onde $\underline{Q}(t)$ é uma matriz real e simétrica, chega-se ao seguinte resultado:

"Se, dada uma matriz $\underline{Q}(t)$ real, simétrica e positiva definida (ou apenas semi-definida), a equação (2.23) tiver como solução uma matriz $\underline{P}(t)$ positiva definida, então o sistema (2.19) é assintoticamente estável (ou estável)."

Quando o sistema (2.19) é invariante no tempo, tem-se

$$\underline{A}^T \underline{P} + \underline{P} \underline{A} = -\underline{Q}, \quad (2.24)$$

que é conhecida como equação matricial de Ljapunov.

No caso do sistema discreto (2.20) , resulta-se uma função $V(\underline{x}(k), k)$ da forma

$$V(\underline{x}(k), k) = \underline{x}^T(k) \underline{P}(k) \underline{x}(k) , \quad (2.25)$$

onde $\underline{P}(k)$ é uma matriz real , simétrica e positiva definida . Seja

$$\Delta V(\underline{x}(k), k) = V(\underline{x}(k+1), k+1) - V(\underline{x}(k), k) ,$$

que é a correspondente discreta da derivada $\dot{V}(\underline{x}(t), t)$.

Assim ,

$$\Delta V(\underline{x}(k), k) = \underline{x}^T(k) \left[\underline{G}^T(k) \underline{P}(k+1) \underline{G}(k) - \underline{P}(k) \right] \underline{x}(k) . \quad (2.26)$$

Para que o sistema seja assintoticamente estável é necessário que a matriz entre colchetes do lado direito da equação (2.26) seja negativa definida . Logo , fazendo

$$\underline{G}^T(k) \underline{P}(k+1) \underline{G}(k) - \underline{P}(k) = -\underline{Q}(k) , \quad (2.27)$$

onde $\underline{Q}(k)$ é uma matriz real e simétrica , chega-se à seguinte conclusão :

"Se , dada uma matriz $\underline{Q}(k)$ real , simétrica e positiva definida (ou apenas semi-definida) , a equação (2.27) tiver como solução uma matriz $\underline{P}(k)$ positiva definida , então o sistema (2.20) é assintoticamente estável (ou estável) ."

Se o sistema é invariante no tempo , então $\underline{P}(k) = \underline{P}(k+1) = \underline{P}$ e tem-se

$$\underline{G}^T \underline{P} \underline{G} - \underline{P} = -\underline{Q} , \quad (2.28)$$

que é a equação matricial de Ljapunov para o caso de sistemas discretos e invariantes no tempo .

As equações (2.23) e (2.27) ou , no caso de sistemas invariantes com o tempo (2.24) e (2.28) constituem a base de um processo de identificação dos parâmetros das matrizes \underline{A} (ou \underline{G}) apresentado no capítulo que se segue .

CAPÍTULO III

MÉTODO DAS COVARIÂNCIAS

3.1. Introdução.

No capítulo II foram apresentados alguns conceitos, definições e resultados muito importantes no estudo de sistemas dinâmicos lineares.

Com base nesses resultados, em especial a equação matricial de Ljapunov, desenvolve-se aqui o processo de identificação de parâmetros de sistemas dinâmicos, chamado Método das Covariâncias (ou Método de Identificação por Médias Quadráticas), que será aquele utilizado ao longo do trabalho.

A técnica de estimativa de parâmetros que será apresentada, tem sido bastante estudada (por exemplo, Weber/Schiehlen [32] e [33], Dias/Weber [04], Kallenbach [10]) e tem, de forma geral, apresentado resultados bastante bons em diversas aplicações (Schiehlen/Kallenbach [27]). Kozin [11] e [12] e Wedig [34] e [35] apresentam técnicas bastante semelhantes a esta, usando os mesmos conceitos de média e covariância das saídas do sistema aqui utilizados, mas com a diferença de que o primeiro tem a necessidade de medir a força de excitação para poder estimar os parâmetros do sistema. Isto nem sempre é um procedimento possível na prática e, por esta razão, assume-se, durante todo este trabalho, que não são conhecidas as entradas, embora se saiba tratar-se de um sinal aleatório (figura 1.2).

Preferencialmente , utiliza-se o método para identificação dos parâmetros de um sistema dinâmico , excitado por um ruído branco , gaussiano , ergódigo , estacionário , com média zero e intensidade E .

Em seguida , assumindo-se um ruído colorido como entrada , gerado a partir de um ruído branco como o adotado anteriormente , estimar-se as características do sistema , bem como as da força de excitação .

Como será visto adiante , nem sempre o número de equações obtidas utilizando o Método das Covariâncias é suficiente para determinar , unicamente , as incógnitas do problema de identificação . Para resolver esta questão , são usados filtros lineares acoplados ao sistema dinâmico , e cujas saídas também serão incluídas no vetor de estado , gerando assim , através da aplicação da equação de Ljapunov , um número maior de equações , sem aumentar o número de incógnitas ; uma vez que os filtros são completamente conhecidos .

A escolha adequada das características dos filtros constitui-se de um grande problema na utilização deste método . Alguns estudos preliminares já foram feitos neste sentido (por exemplo Weber/Schiehlen [32] e Dias/Weber [04]) , onde se mostrou a grande influência dos parâmetros do filtro na estabilidade e na convergência das estimativas das características do sistema dinâmico , bem como nos valores finais identificados . Contudo , este é um problema que não será discutido aqui , por se tratar de um assunto bastante amplo e complexo e que não se encontra dentro dos objetivos do trabalho .

Todo o equacionamento é feito para sistemas com um número qualquer , N , de graus de liberdade e , para cada caso

apresentado , o método é testado em um sistema de um grau de liberdade .

3.2. Descrição do Problema .

Para um sistema dinâmico , invariante no tempo e estacionário , obtever-se em 2.24 , uma expressão do tipo

$$\underline{A}^T \underline{P} + \underline{P} \underline{A} + \underline{Q} = \underline{0} , \quad (3.1)$$

conhecida como equação artificial algébrica de Ljapunov , que permite caracterizar , completamente , o comportamento de estabilidade do sistema em estudo .

Pode-se chegar a um resultado semelhante a (3.1) de uma forma diferente daquela utilizada no capítulo II (ver Müller [15] , Kallenbach [10]) :

Considera-se um sistema linear , invariante no tempo e descrito pela equação estado

$$\dot{\underline{x}}(t) = \underline{A} \underline{x}(t) + \underline{B} \underline{v}(t) , \quad \underline{x}(t=0) = \underline{x}_0 , \quad (3.2)$$

onde a excitação $\underline{v}(t)$ é suposta , a princípio , um processo vetorial estocástico com média

$$E(\underline{v}(t)) = \underline{m}_{\underline{v}}(t)$$

e matriz da correlação

$$E([\underline{v}(t_1) - \underline{m}_{\underline{v}}(t_1)] [\underline{v}(t_2) - \underline{m}_{\underline{v}}(t_2)]^T) = \underline{C}_{vv}(t_1, t_2) ,$$

onde o operador $E()$ significa esperança matemática .

A matriz de covariância da saída do sistema (3.2) é

$$\underline{P}_{\underline{x}\underline{x}}(t) = E(\underline{x}(t) \underline{x}(t)^T) = \underline{P}_{\underline{x}\underline{x}}^T(t) \quad (3.3)$$

e a matriz de covariância cruzada entre a entrada e a saída é dada por

$$P_{\underline{x}\underline{v}}(t) = E(\underline{x}(t) \underline{v}(t)^T) = P_{\underline{v}\underline{x}}^T(t). \quad (3.1)$$

Usando-se (3.3), (3.4) e a equação de estado (3.2), tem-se

$$\begin{aligned} \dot{P}_{\underline{x}\underline{x}}(t) &= E(\dot{\underline{x}}(t) \underline{x}(t)^T + \underline{x}(t) \dot{\underline{x}}(t)^T) \\ &= E([A \underline{x}(t) + B \underline{v}(t)] \underline{x}(t)^T + \\ &\quad \underline{x}(t) [\underline{x}(t)^T A^T + \underline{v}(t)^T B^T]) \end{aligned}$$

e finalmente

$$\dot{P}_{\underline{x}\underline{x}}(t) = A P_{\underline{x}\underline{x}}(t) + P_{\underline{x}\underline{x}}(t) A^T + B P_{\underline{x}\underline{v}}(t) + P_{\underline{x}\underline{v}}(t) B^T.$$

Considerando que $\underline{v}(t)$ é um ruído branco cuja matriz de correlação é dada por

$$C_{vv}(t_1, t_2) = F \delta(t_1, t_2), \quad (3.5)$$

onde F é a matriz de intensidade do ruído branco e δ é uma função Delta de Dirac, pode-se chegar à equação matricial diferencial de Ljapunov em sua forma mais conhecida

$$\begin{aligned} \dot{P}_{\underline{x}\underline{x}}(t) &= A P_{\underline{x}\underline{x}}(t) + P_{\underline{x}\underline{x}}(t) A^T + B F B^T \\ &\quad + B \underline{m}_v(t) \underline{m}_x^T(t) + \underline{m}_x(t) \underline{m}_v^T(t) B^T, \end{aligned} \quad (3.6)$$

onde $\underline{m}_x(t)$ é a média da saída do sistema.

Mas sabe-se que, se a excitação $\underline{v}(t)$ é estacionária então, para o sistema assintoticamente estável (3.2), a resposta $\underline{x}(t)$ também é estacionária. Logo, conclui-se que a matriz de covariância $P_{\underline{x}\underline{x}}(t)$ tende a uma matriz constante quando o tempo

tende para o infinito, ou seja, $\underline{P}_{XX} = \lim_{t \rightarrow \infty} P_{XX}(t)$. Portanto, de (3.6), tem-se:

$$\underline{A} \underline{P}_{XX} + \underline{P}_{XX} \underline{A}^T + \underline{B} \underline{E} \underline{B}^T = - (\underline{B} \underline{P}_{YX} + \underline{P}_{YY} \underline{B}^T).$$

E ainda, se $\underline{y}(t)$ tem média zero ($m_{\underline{Y}}(t) = 0$), chega-se a

$$\underline{A} \underline{P}_{XX} + \underline{P}_{XX} \underline{A}^T + \underline{B} \underline{E} \underline{B}^T = \underline{Q}, \quad (3.7)$$

que é a mesma equação de Ljapunov que (3.1) na qual \underline{A} foi trocado com \underline{A}^T e a matriz \underline{P} passou a ser a matriz de covariância P_{YY} . A equação de Ljapunov, na forma (3.7), é que será utilizada no decorrer do trabalho.

Cada elemento da matriz \underline{P} é calculado através de

$$P_{Y_1 Y_2} = \lim_{T \rightarrow \infty} \frac{1}{T} \int_0^T y_1(t) y_2(t) dt$$

ou, no caso de sistemas discretos,

$$P_{Y_1 Y_2} = \lim_{NPT \rightarrow \infty} \frac{1}{NPT} \sum_{i=0}^{NPT} y_1(i) y_2(i) \quad (3.8)$$

Convém lembrar que, se um processo é estatisticamente estacionário, vale

$$\frac{d}{dt} E(y_i^r(t)) = 0$$

$$\text{e} \quad \frac{d}{dt} E(y_i^r(t) y_j^s(t)) = 0,$$

para $i, j = 1, \dots, N$ e r, s quaisquer inteiros para os quais os momentos indicados existem.

Logo, pode-se escrever

$$E(y_i^{r-1}(t) \dot{y}_i(t)) = 0 \quad (3.9)$$

e também

$$r E(y_i^{r-1}(t) \dot{y}_i(t) y_j^s(t)) + s E(y_i^r(t) y_j^{s-1}(t) \dot{y}_j(t)) = 0 \quad (3.10)$$

$$i, j = 1, \dots, N; r, s = 1, 2, \dots,$$

Em particular, se $r = 2$ em (3.9) e $r = s = 1$ em (3.10) :

$$E(y_i(t) \dot{y}_i(t)) = 0 \quad (3.11)$$

$$\text{e} \quad E(\dot{y}_i(t) y_j(t)) + E(y_i(t) \dot{y}_j(t)) = 0, \quad (3.12)$$

o que demonstra o fato bem conhecido de que um processo estacionário e sua derivada são não correlatos em qualquer instante. Os resultados (3.11) e (3.12) serão bastante utilizados mais adiante.

Apesar de se poder, com o método a ser apresentado, identificar qualquer sistema dinâmico, satisfazendo as condições de linearidade, estacionariedade e invariância no tempo, anteriormente adotadas, voltar-se-á a atenção para os sistemas mecânicos propriamente ditos, por possuírem uma estrutura de modelo particularmente interessantes (a matriz de estado contém sub-matrizes nulas e identidades, o que simplificará a forma final das equações) e por serem estes sistemas os alvos de aplicações dentro deste trabalho.

3.2.1. Identificação de um sistema mecânico linear, invariante no tempo, excitado por um ruído branco e acoplado por um conjunto de filtros lineares.

Seja o sistema mecânico linear, com N graus de liberdade e descrito pela equação vetorial diferencial de 2^a ordem

$$\underline{M}^* \ddot{\underline{y}}(t) + \underline{C}^* \dot{\underline{y}}(t) + \underline{K}^* \underline{y}(t) = \underline{H} \underline{v}(t), \quad (3.13)$$

onde : $\underline{y}(t)$ - vetor posição N-dimensional e o símbolo " " representa a derivada em relação ao tempo ;

\underline{M}^* - matriz de massa , $N \times N$, simétrica e positiva definida) ;

\underline{C}^* - matriz $N \times N$ composta pela soma da matriz de amortecimento viscoso (simétrica) e da matriz giroscópica (anti-simétrica) ;

\underline{K}^* - matriz $N \times N$ composta pelas matrizes de rigidez (simétrica e positiva definida) e das forças não conservativas proporcionais ao deslocamento (anti-simétrica) ;

\underline{H} - matriz $N \times R$, chamada matriz de distribuição , uma vez que ela distribui as R componentes da entrada $\underline{v}(t)$ entre os N graus de liberdade do sistema ;

$\underline{v}(t)$ - vetor R-dimensional das forças estocásticas de excitação , consideradas como um processo:

- ergódico ,
- estacionário ,
- branco ,
- média zero e
- intensidade \underline{F} ($R \times R$) .

Considerando $\underline{x} = (\underline{y} | \dot{\underline{y}})^T$ como vetor de estado , pode-se reescrever (3.12) na forma

$$\dot{\underline{x}}(t) = \underline{A} \underline{x}(t) + \underline{B} \underline{v}(t), \quad (3.14)$$

onde

$$\underline{A} = \begin{bmatrix} 0 & 1 \\ -\underline{K} & -\underline{C} \end{bmatrix}, \quad \underline{B} = \begin{bmatrix} 0 \\ \underline{M}^{*-1} \underline{H} \end{bmatrix},$$

com $\underline{K} = \underline{H}^{*-1} \underline{K}^* \circ \underline{G} = \underline{M}^{*-1} \underline{C}^*$.

Aplicando-se (3.7) a este sistema :

$$\begin{bmatrix} 0 & I \\ -\underline{K} & -\underline{C} \end{bmatrix} \begin{bmatrix} P_1 & P_2^T \\ P_2 & P_3^T \end{bmatrix} + \begin{bmatrix} P_1 & P_2^T \\ P_2 & P_3^T \end{bmatrix} \begin{bmatrix} 0 & I \\ -\underline{K} & -\underline{C} \end{bmatrix} = \begin{bmatrix} 0 & 0 \\ 0 & Q \end{bmatrix}, \quad (3.15)$$

onde $Q = \underline{B} F \underline{B}^T = \underline{H}^{*-1} \underline{H} F \underline{H}^T \underline{M}^{*-1}$.

Conforme Weber/Tchichlén [32] e Kallenbach [10] , a equação matricial (3.15) fornece $N(3N+1)/2$ equações algébricas . Assim , observando-se a tabela 3.1 , que apresenta o número de equações fornecidas por (3.15) e incógnitas para sistemas de até 4 graus de liberdade , percebe-se , por exemplo , que para um sistema de 1 G.L. em que a excitação não é conhecida , tem-se 3 incógnitas e apenas 2 equações , formando , portanto , um sistema indeterminado . Visando resolver este problema , utilizar-se-ão filtros lineares conhecidos na saída do sistema mecânico . Com isso , aumenta-se o número de elementos do vetor de estado e , consequentemente , o número de equações provenientes da aplicação de (3.7) ao novo sistema ; sem , no entanto , acrescer-se a quantidade de incógnitas .

3.2.1.1. Filtro posterior de 1^a ordem .

Considera-se agora , além do sistema mecânico (3.14) , um filtro passa baixa linear , de primeira ordem , dado por

$$\dot{\underline{w}}(t) + \underline{Z}_1 \underline{w}(t) = \underline{\Delta} \underline{y}(t), \quad (3.16)$$

onde $\underline{w}(t)$ é um vetor T-dimensional das saídas dos filtros ,

\underline{Z}_1 vetor contendo as freqüências de corte e

$\underline{\Delta}$ matriz de acoplamento entre o filtro e o sistema mecânico .

Graus de Liberdade	Nº de Equações	Nº de Incógnitas		
		A	B	C
1	2	2	3	3
2	7	6	7	10
3	15	12	13	21
4	26	20	21	36

Caso A : \underline{K} , \underline{C} simétricas ; $\underline{v}(t)$ completamente conhecida .

Caso B : \underline{K} , \underline{B} simétricas ; $\underline{v}(t)$ desconhecida em uma coordenada .

Caso C : \underline{K} , \underline{C} não simétricas ; $\underline{v}(t)$ completamente desconhecida .

Tabela 3.1 - Número de equações e incógnitas resultantes do processo de identificação pelo Método das Covariâncias , sem utilização de filtro posterior (reproduzido de Weber/Schiehlen [32]) .

A figura 3.1 mostra , esquematicamente , a relação entre o filtro e o sistema mecânico .

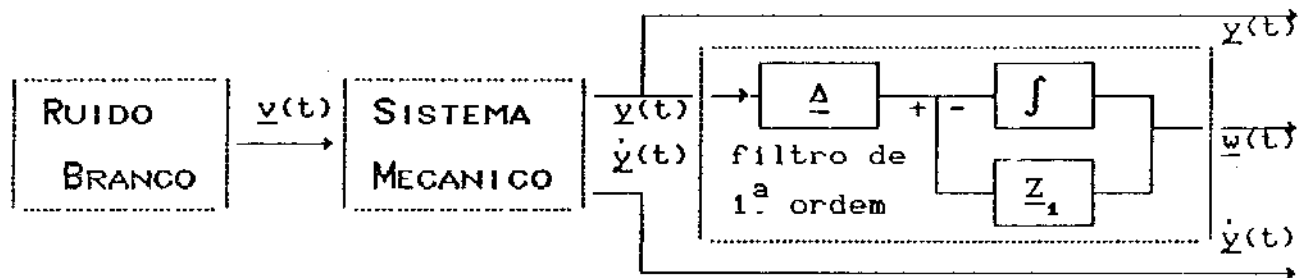


Figura 3.1 - Sistema mecânico com filtro posterior de 1.^a ordem .

Adotando-se $\underline{x} = (\underline{y} \mid \dot{\underline{y}} \mid \underline{w})^T$ como vetor de estado , tem-se

$$\underline{A} = \begin{bmatrix} 0 & I & 0 \\ -\underline{K} & -\underline{C} & 0 \\ \underline{A} & 0 & -Z_1 \end{bmatrix}, \quad \underline{B} = \begin{bmatrix} 0 \\ \underline{M}^{*-1} \underline{H} \\ 0 \end{bmatrix}.$$

Aplicando-se a equação de Ljapunov a este sistema obtém-se :

$$\underline{P}_2 + \underline{P}_2^T = \underline{Q} , \quad (3.17)$$

$$\underline{K} \underline{P}_4 + \underline{C} \underline{P}_2 - \underline{P}_4 = \underline{Q} , \quad (3.18)$$

$$[\underline{K} \underline{P}_2^T + \underline{C} \underline{P}_4] + [\underline{K} \underline{P}_2^T + \underline{C} \underline{P}_4]^T = \underline{Q} ; \quad (3.19)$$

$$\underline{\Delta} \underline{P}_4 - \underline{Z}_4 \underline{P}_3 + \underline{P}_3 = \underline{Q} , \quad (3.20)$$

$$\underline{\Delta} \underline{P}_2^T - \underline{Z}_4 \underline{P}_3 - \underline{P}_3 \underline{K}^T - \underline{P}_3 \underline{C}^T = \underline{Q} , \quad (3.21)$$

$$[\underline{\Delta} \underline{P}_3^T - \underline{Z}_4 \underline{P}_3] + [\underline{\Delta} \underline{P}_3^T - \underline{Z}_4 \underline{P}_3]^T = \underline{Q} , \quad (3.22)$$

sendo que a matriz de covariância \underline{P} é dada por

$$\underline{P} = \left[\begin{array}{cc|c} \underline{P}_1 & \underline{P}_2^T & \underline{P}_3^T \\ \hline \underline{P}_2 & \underline{P}_4 & \underline{P}_3^T \\ \hline \underline{P}_3 & \underline{P}_5 & \underline{P}_6 \end{array} \right] = \left[\begin{array}{c|c} \underline{P}_1 & \underline{P}_{111}^T \\ \hline \underline{P}_{11} & \underline{P}_{1111} \end{array} \right]$$

e onde os elementos de \underline{P}_1 são sub-matrizes $N \times N$, de \underline{P}_{11} são sub-matrizes $T \times N$ e \underline{P}_{1111} é uma matriz $T \times T$.

Como se pode perceber, as equações (3.17) até (3.19) relacionam somente os parâmetros do sistema mecânico, enquanto que de (3.20) a (3.22) as características do filtro e do acoplamento também estão presentes.

Exemplo : Sistema de 1 grau de liberdade .

Seja o sistema de 1 G. L.

$$\ddot{y}(t) + \frac{c}{m} \dot{y}(t) + \frac{k}{m} y(t) = \frac{1}{m} v(t) , \quad (3.23)$$

onde $y(t)$ é o deslocamento e " " denota derivada em relação ao

tempo ,

m , c , k são a massa , o amortecimento e a rigidez do sistema respectivamente , e

$v(t)$ é a excitação , considerada um ruído branco , e enja também o filtro de primeira ordem

$$\dot{y}(t) + z_1 y(t) = \delta v(t) ,$$

onde z_1 é a frequência de corte e

δ é o fator de acoplamento .

Deseja-se identificar os parâmetros k/m e c/m (é possível também estimar o valor de f/m^2 , onde f é a intensidade do ruído branco) .

Observando-se (3.17) , percebe-se que a matriz soma resultante é composta de elementos que são expressões do tipo (3.11) na diagonal principal e do tipo (3.12) fora dela .

Portanto , para 1 G. L. :

- de (3.17) : $P_2 = 0$,

- de (3.18) : $\left(k / m \right)_e = P_4 / P_1 , \quad (3.24)$

- de (3.21) : $\left(c / m \right)_e = - z_1 - \left(k / m \right)_e P_2 / P_3 , \quad (3.25)$

- de (3.19) : $\left(f / m^2 \right)_e = 2 \left(c / m \right)_e P_4 , \quad (3.26)$

onde o sub-índice " e " significa estimador .

Estas equações serão utilizadas para identificar os parâmetros de um sistema simulado em computador , apresentado no capítulo V .

3.2.1.2. Filtro posterior de 2^a ordem.

Neste caso, os filtros utilizados na saída do sistema mecânico são de segunda ordem, lineares, com parâmetros constantes no tempo e descritos por

$$\ddot{\underline{y}}(t) + Z_1 \dot{\underline{y}}(t) + Z_2 \underline{y}(t) = \underline{\Gamma} \underline{z}(t) + \underline{\Xi} \underline{u}(t), \quad (3.22)$$

onde Z_1 , Z_2 são matrizes $T \times T$ que definem as características do filtro e

$\underline{\Gamma}$, $\underline{\Xi}$ são matrizes $T \times N$ que fazem o acoplamento dos filtros com as saídas do sistema.

A figura 3.2 mostra a ligação entre o sistema mecânico e o filtro.

Seja então

$$\underline{x} = (\underline{z} \mid \dot{\underline{z}} \mid \underline{w} \mid \dot{\underline{w}})^T$$

o vetor de estado. Logo, escrevendo (3.23) e (3.13) na forma de (3.14) tem-se

$$\begin{bmatrix} \dot{\underline{z}} \\ \dot{\underline{w}} \\ \dot{\underline{w}} \\ \dot{\underline{w}} \end{bmatrix} = \begin{bmatrix} 0 & I & 0 & 0 \\ -K & -C & 0 & 0 \\ 0 & 0 & 0 & I \\ \underline{\Gamma} & \underline{\Xi} & -Z_1 & -Z_2 \end{bmatrix} \begin{bmatrix} \underline{z} \\ \dot{\underline{z}} \\ \underline{w} \\ \dot{\underline{w}} \end{bmatrix} + \begin{bmatrix} 0 \\ M^{-1}H \\ 0 \\ 0 \end{bmatrix} \underline{u}(t)$$

e, sendo a matriz de covariância dada por

$$\underline{P} = \begin{bmatrix} P_1 & P_2^T & P_3^T & P_4^T \\ P_2 & P_5 & P_6^T & P_7^T \\ P_3 & P_6 & P_8 & P_9^T \\ P_4 & P_7 & P_9 & P_{10}^T \end{bmatrix},$$

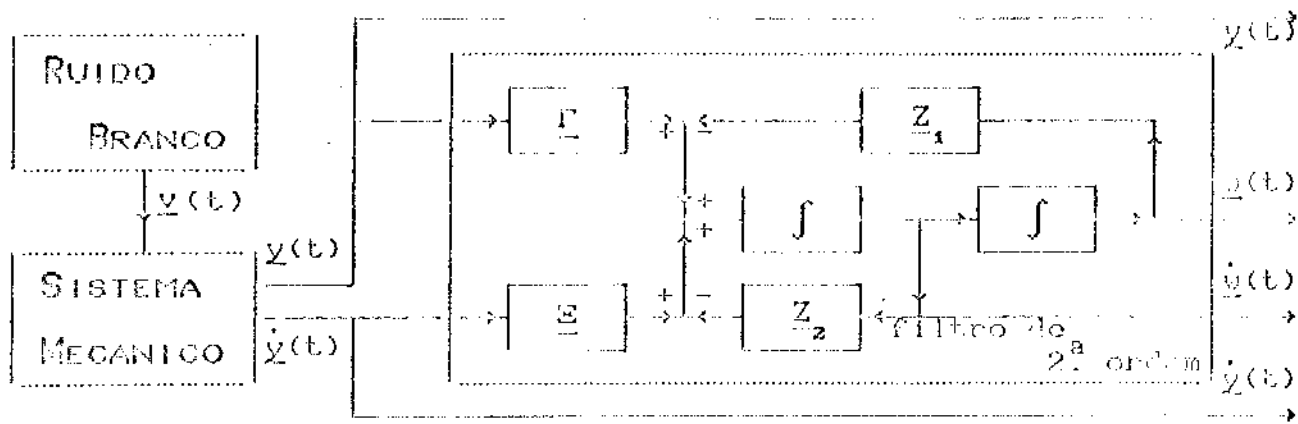


Figura 3.2 - Sistema mecânico com filtro posterior de 2^a ordem.

obtém-se , de (3.7) :

$$\underline{P}_z + \underline{P}_z^T = \underline{0} , \quad (3.28)$$

$$K \underline{P}_1 + C \underline{P}_2 - \underline{P}_5 = \underline{0} , \quad (3.29)$$

$$K \underline{P}_a^T + C \underline{P}_a^T - \underline{P}_7^T = \underline{0} , \quad (3.30)$$

$$[K \underline{P}_z^T + C \underline{P}_5] + [K \underline{P}_2^T + C \underline{P}_5] = \underline{Q} , \quad (3.31)$$

$$\underline{P}_4 + \underline{P}_a^T = \underline{0} , \quad (3.32)$$

$$\Gamma \underline{P}_1 + \Xi \underline{P}_2 - Z_1 \underline{P}_a - Z_2 \underline{P}_4 + \underline{P}_7 = \underline{0} , \quad (3.33)$$

$$\underline{P}_p + \underline{P}_p^T = \underline{0} , \quad (3.34)$$

$$K \underline{P}_4^T + C \underline{P}_7^T - \underline{P}_z \Gamma^T - \underline{P}_5 \Xi^T + \underline{P}_a^T Z_1 + \underline{P}_7^T Z_2 = \underline{0} , \quad (3.35)$$

$$\Gamma \underline{P}_a^T + \Xi \underline{P}_5^T - Z_1 \underline{P}_a - Z_2 \underline{P}_p + \underline{P}_{10} = \underline{0} , \quad (3.36)$$

$$[\Gamma \underline{P}_4^T + \Xi \underline{P}_7^T - Z_1 \underline{P}_a^T - Z_2 \underline{P}_{10}] + \\ [\Gamma \underline{P}_4^T + \Xi \underline{P}_7^T - Z_1 \underline{P}_p^T - Z_2 \underline{P}_{10}]^T = \underline{0} \quad (3.37)$$

Percebe-se , comparando com o caso anterior , que o número

de equações aumentou enquanto o número de incógnitas é o mesmo .

Exemplo : Sistema de 1 grau de liberdade .

Considerar-se o sistema (3.23) acoplado a um filtro linear de 2.^a ordem dado por

$$\ddot{w}(t) + z_2 \dot{w}(t) + z_1 w(t) = \lambda y(t) + \xi \dot{y}(t) .$$

Percebe-se que , também neste caso , aparecem as equações que confirmam , matematicamente , o fato de que um sinal não é correlato com sua derivada em nenhum instante . (3.28) relaciona $y(t)$ e $\dot{y}(t)$; e (3.24) , $w(t)$ e $\dot{w}(t)$. As equações obtidas para os estimadores da rigidez e do amortecimento do sistema são :

- de (3.28) : $P_2 = 0$,

- de (3.34) : $P_9 = 0$,

- de (3.29) : $\left(k / m \right)_e = P_5 / P_4$, (3.38)

- de (3.30)

e (3.32) : $\left(c / m \right)_e = \left[\left(k / m \right)_e P_3 - P_7 \right] / P_4$, (3.39)

- de (3.31) : $\left(f / m^2 \right) = 2 \left(c / m \right)_e P_5$.

Alternativamente , pode-se conseguir um outro conjunto de equações , incluindo os parâmetros do filtro , que também resolve o problema . Assim , de (3.30) , (3.35) e (3.36) :

$$\left(k / m \right)_e = z_1 + \left[\lambda P_1 P_7 - \xi P_5 P_3 \right] / \left[P_4^2 + P_3 P_7 \right] \quad (3.40)$$

$$\left(c / m \right)_e = - z_2 + \left[\lambda P_1 P_7 + \xi P_5 P_3 \right] / \left[P_4^2 + P_3 P_7 \right]. \quad (3.41)$$

Serão apresentados, no capítulo V, resultados das estimativas da rigidez e do amortecimento do sistema mecânico, obtidas pelas equações (3.38) até (3.41).

3.2.2. Identificação dos parâmetros de um sistema linear, invariante no tempo, acoplado a um conjunto de filtros lineares, e das características do ruído colorido de 1^a ordem usado como excitação.

Até agora foram apresentados casos em que o processo $\underline{y}(t)$ de excitação do sistema mecânico era considerado ergódico, gaussiano, estacionário e branco. Além disso, o método de identificação fora utilizado somente para estimação das características do próprio sistema.

Neste item é apresentada situação em que a excitação deixa de ser um ruído branco e passa a ser um ruído colorido gerado a partir da equação

$$\dot{\underline{h}}(t) + \Psi \underline{h}(t) = \underline{V} \underline{v}(t), \quad (3.42)$$

onde Ψ é a matriz $T \times T$ das características do ruído colorido $\underline{h}(t)$ que, neste caso, será considerada diagonal ($\Psi = \text{diag.}\Psi$) ,

\underline{V} é a matriz $T \times T$ de distribuição .

A densidade espectral de potência de uma componente do processo colorido $\underline{h}(t)$ gerado por (3.42) é (ver Müller/Schiehlen [16])

$$S_h(\omega) = \frac{\gamma^2 q_v}{\gamma^2 + \Omega^2}, \quad (3.43)$$

onde q_v é a intensidade do ruído branco $v(t)$,

γ é o fator característico do ruído colorido e
 Ω é a freqüência .

A função (3.43) é mostrada na figura 3.3 .

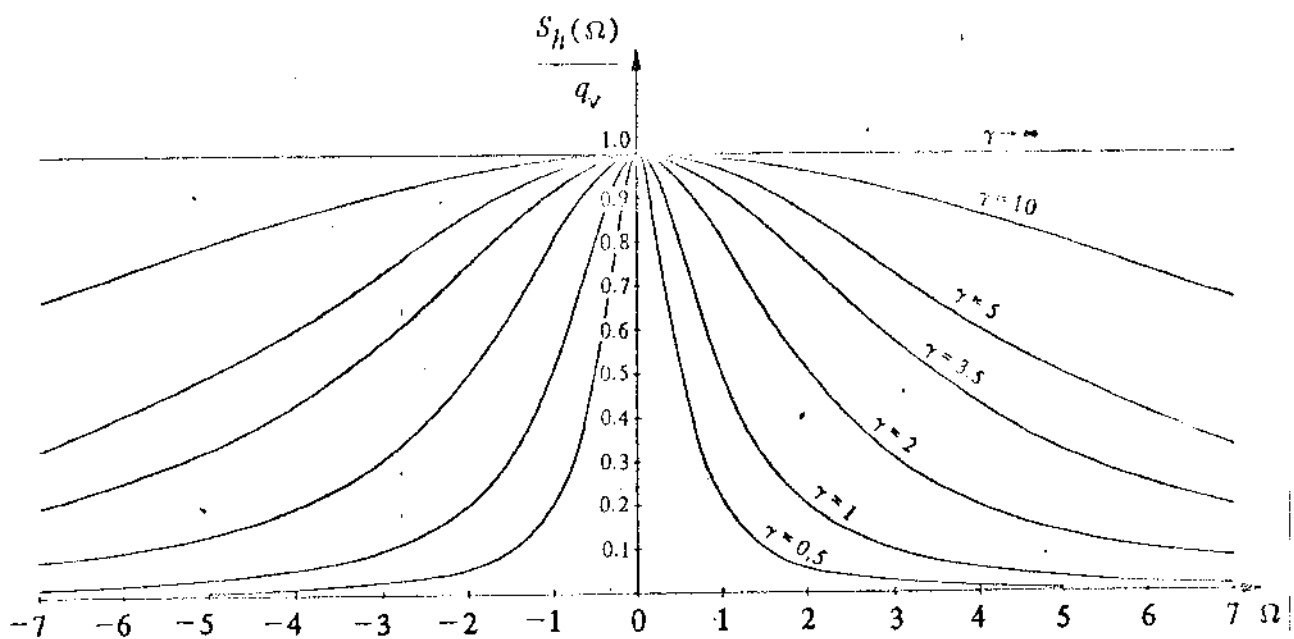


Figura 3.3 - Densidade Espectral de Potência do ruído colorido .

O processo $h(t)$ é utilizado para excitar o sistema mecânico (3.13) , do qual se deseja identificar os parâmetros . Contudo , supõe-se que as características dessa perturbação externa , ou seja , os elementos da matriz Ψ , também não são conhecidas , precisando-se , portanto , estimá-las .

Considera-se , novamente , a utilização de filtros de 1.^a e 2.^a ordens .

3.2.2.1. Filtro posterior de 1.^a ordem .

Sejam os filtros de 1.^a ordem (3.16) e o sistema mecânico (3.13) reescrito a seguir :

$$\underline{M}^* \ddot{\underline{y}}(t) + \underline{C}^* \dot{\underline{y}}(t) + \underline{K}^* \underline{y}(t) = \underline{G}^* h(t) , \quad (3.44)$$

onde a perturbação externa $h(t)$ é um ruído colorido gerado através de (3.42).

A figura 3.3. mostra , esquematicamente , o relacionamento excitação/sistema mecânico/filtro .

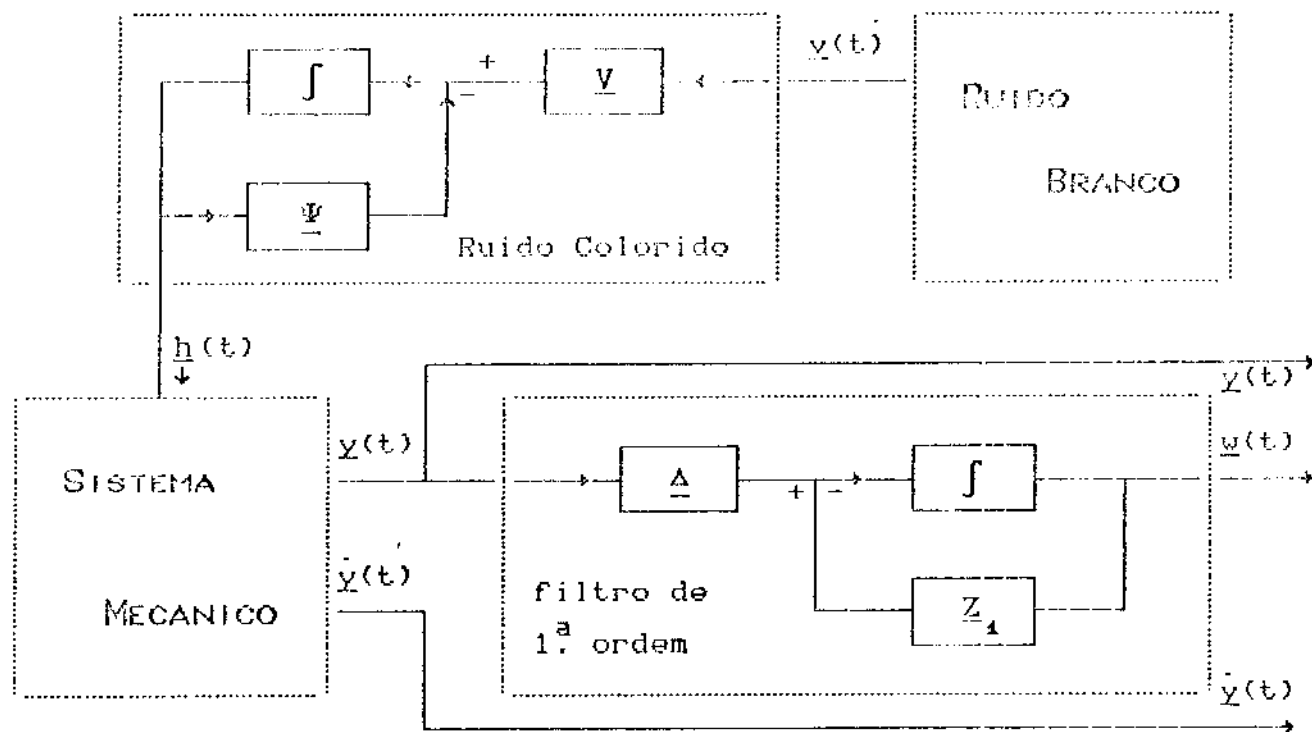


Figura 3.4 - Sistema mecânico , excitado por um ruído colorido , acoplado a um filtro de 1^a ordem .

Na forma de estado , tem-se :

$$\begin{bmatrix} \dot{x} \\ \ddot{x} \\ \dot{w} \\ h \end{bmatrix} = \begin{bmatrix} 0 & 1 & 0 & 0 \\ -K & -C & 0 & G \\ \Delta & 0 & -Z_1 & 0 \\ 0 & 0 & 0 & -\Psi \end{bmatrix} \begin{bmatrix} x \\ \dot{x} \\ w \\ h \end{bmatrix} + \begin{bmatrix} 0 \\ 0 \\ 0 \\ v \end{bmatrix} v(t)$$

onde $G = H^{-1} G^*$. Sendo a matriz de covariância P e a matriz Q dadas por

$$\underline{P} = \left[\begin{array}{ccc|c} P_1 & P_2^T & P_3^T & P_4^T \\ P_2 & P_5 & P_6^T & P_7^T \\ P_3 & P_6 & P_8 & P_9^T \\ \hline P_4 & P_7 & P_9 & P_{10} \end{array} \right], \quad \underline{Q} = \left[\begin{array}{cccc} 0 & 0 & 0 & 0 \\ 0 & 0 & 0 & 0 \\ 0 & 0 & 0 & 0 \\ 0 & 0 & 0 & V F V^T \end{array} \right]$$

e aplicando (3.7) , obtém-se as seguintes equações :

$$P_2 + P_2^T = 0 , \quad (3.45)$$

$$K P_4 + C P_2 - G P_4 - P_5 = 0 , \quad (3.46)$$

$$[K P_2 + C P_5 - G P_7] + [K P_2 + C P_5 - G P_7]^T = 0 , \quad (3.47)$$

$$K P_3^T + C P_6^T - G P_9 - P_2 \Delta^T + P_6^T Z_4^T = 0 , \quad (3.48)$$

$$K P_4^T + C P_7^T - G P_{10} + P_7^T \Psi = 0 , \quad (3.49)$$

$$\Delta P_4 - Z_4 P_3 + P_6 = 0 , \quad (3.50)$$

$$[\Delta P_3^T - Z_4 P_8] + [\Delta P_3^T - Z_4 P_8]^T = 0 , \quad (3.51)$$

$$\Psi P_4 - P_7 = 0 , \quad (3.52)$$

$$\Psi P_9 - P_4 \Delta^T + P_9 Z_4^T = 0 , \quad (3.53)$$

$$\Psi P_{10} + P_{10} \Psi = Q , \quad (3.54)$$

Com as equações (3.45) a (3.54) deseja-se determinar os elementos das matrizes K e C , além da matriz diagonal Ψ . Porém , neste caso , nem todos os elementos da matriz de covariância P são conhecidos pois , como já foi dito , é assumido que não se tem acesso à medida da perturbação externa . Isto diminui bastante o número de equações disponíveis mas , fazendo-se certas

considerações, é possível resolver alguns tipos de problemas, como é mostrado a seguir para um sistema de um grau de liberdade.

Exemplo : Sistema de 1 Grau de Liberdade .

Seja o sistema mecânico de 1 G.L., dado por

$$m \ddot{y}(t) + c \dot{y}(t) + k y(t) = h(t) ,$$

o filtro de 1.^a ordem

$$\dot{w}(t) + Z_1 w(t) = \delta y(t) \quad (3.55)$$

e o ruído colorido $h(t)$, gerado por

$$\dot{h}(t) + \gamma h(t) = v(t) ,$$

onde $v(t)$ é um ruído branco .

Usando as equações (3.45) a (3.54), obtém-se :

- de (3.45) : $P_z = 0$,

- de (3.46) , (3.47) e (3.52) :

$$\left(r \right)_e = \frac{\left(\frac{c}{m} \right)_e P_s}{\left[P_1 \left(\frac{k}{m} \right)_e - P_s \right]} \quad (3.56)$$

- de (3.46) , (3.49) e (3.53) :

$$\left(r \right)_e = \frac{\left[P_1 \left(\frac{k}{m} \right)_e - P_s \right] \delta}{\left(\frac{k}{m} \right)_e P_s + \left[\left(\frac{c}{m} \right)_e + Z_1 \right] P_s} - Z_1 . \quad (3.57)$$

Da figura 3.3 percebe-se que se γ tende a infinito então o ruído colorido $h(t)$ tende ao ruído branco $v(t)$. Fazer $\gamma \rightarrow \infty$ em

(3.56) e (3.57) significa fazer os denominadores tenderem a zero . Logo , no limite , tem-se :

$$P_4 \left(\frac{k}{c} \right)_e - P_5 = 0 \quad (3.58)$$

e

$$\left(\frac{k}{m} \right)_e P_3 + \left[\left(\frac{c}{m} \right)_e + Z_4 \right] P_6 = 0 , \quad (3.59)$$

que , como era de se esperar , são as equações (3.24) e (3.25) , obtidas para um sistema mecânico de um grau de liberdade excitado por um ruído branco e seguido por um filtro linear de primeira ordem .

Os parâmetros a serem estimados são a rigidez (k/m) e o amortecimento (c/m) do sistema mecânico , e o fator γ da excitação .

Contudo , o número de equações é insuficiente para determinar , unicamente , esses três parâmetros . Para resolver o problema , é preciso que se conheça , a priori , um das grandezas . Admitiu-se conhecer o valor da rigidez , uma vez que , para sistemas de poucos graus de liberdade e baixa densidade espectral , é relativamente simples de se obtê-la , com boa precisão , na prática . Supondo-se isto , chega-se aos seguintes estimadores de c/m e γ :

$$\left(\frac{c}{m} \right)_e = \frac{1}{2} \left\{ - a_4 \pm \left[a_4^2 + 4 a_3 \right]^{1/2} \right\} \quad (3.60)$$

e

$$\left(\gamma \right)_e = \left(\frac{c}{m} \right)_e a_3 , \quad (3.61)$$

onde $a_4 = \frac{P_4}{P_5} - \frac{k}{m} - 1$, $a_3 = \frac{k}{m} \frac{P_3}{P_6} + Z_4$,

$$a_3 = a_1^2 \phi \frac{P_{\sigma}}{P_a}$$

e $a_4 = a_2 + a_1 z_1 , \quad a_5 = a_1 a_2 z_1 - a_3 .$

3.2.2.2. Filtro posterior de 2^a ordem ..

Considera-se o sistema mecânico (3.44) , o filtro de segunda ordem (3.27) e o ruído colorido $\underline{h}(t)$ gerado por (3.42) , e seja o vetor

$$\underline{x} = (\underline{z} | \dot{\underline{z}} | \underline{z} | \dot{\underline{z}} | \underline{h})^T .$$

A figura 3.5 mostra o esquema da relação excitação / sistema mecânico / filtro de segunda ordem .

A equação de estado , neste caso , é dada a seguir :

$$\begin{bmatrix} \dot{\underline{z}} \\ \ddot{\underline{z}} \\ \dot{\underline{w}} \\ \ddot{\underline{w}} \\ \underline{h} \end{bmatrix} = \begin{bmatrix} 0 & 0 & 0 & 0 & 0 \\ -K & -C & 0 & 0 & G \\ 0 & 0 & 0 & 1 & 0 \\ 0 & 0 & -Z_1 & -Z_2 & 0 \\ 0 & 0 & 0 & 0 & -\Psi \end{bmatrix} \begin{bmatrix} \underline{z} \\ \dot{\underline{z}} \\ \underline{w} \\ \dot{\underline{w}} \\ \underline{h} \end{bmatrix} + \begin{bmatrix} 0 \\ 0 \\ 0 \\ 0 \\ 0 \end{bmatrix} \underline{v}(t) .$$

Sendo a matriz de covariância \underline{P} dada por

$$\underline{P} = \left[\begin{array}{cc|c} P_1 & P_2^T & P_3^T & P_4^T & P_5^T \\ P_2 & P_\sigma & P_7^T & P_8^T & P_9^T \\ \hline P_3 & P_7 & P_{10} & P_{11}^T & P_{12}^T \\ P_4 & P_8 & P_{11} & P_{13} & P_{14}^T \\ \hline P_5 & P_9 & P_{12} & P_{14} & P_{15} \end{array} \right]$$

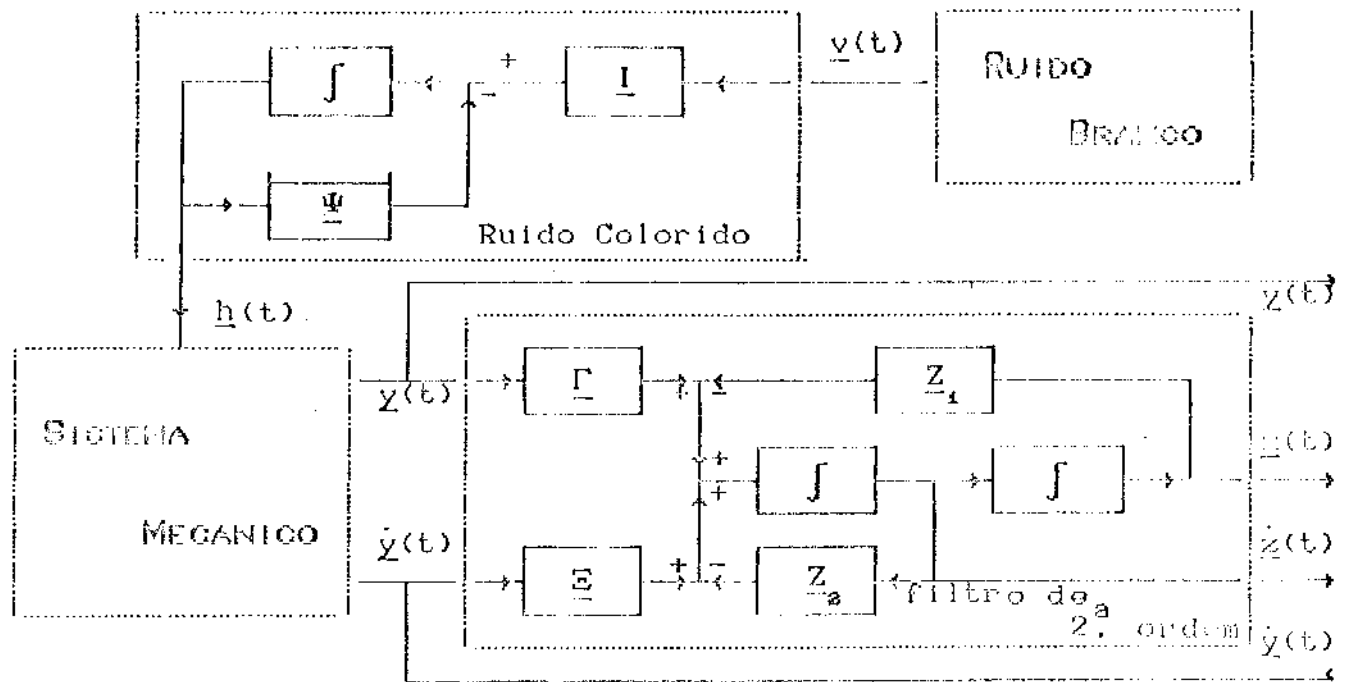


Figura 3.5 - Sistema mecânico acoplado a um filtro de 2^a ordem e excitado por um ruido colorido .

obtém-se , aplicando (3.7) , as seguintes equações :

$$\underline{P}_2 + \underline{P}_2^T = \underline{Q} , \quad (3.62)$$

$$\underline{P}_7 + \underline{P}_4 = \underline{Q} , \quad (3.63)$$

$$\underline{K} \underline{P}_1 + \underline{C} \underline{P}_2 - \underline{G} \underline{P}_5 - \underline{P}_6 = \underline{Q} , \quad (3.64)$$

$$[- \underline{K} \underline{P}_2^T - \underline{C} \underline{P}_6 + \underline{G} \underline{P}_9] + [- \underline{K} \underline{P}_2^T - \underline{C} \underline{P}_6 + \underline{G} \underline{P}_9]^T = \underline{Q} , \quad (3.65)$$

$$\underline{K} \underline{P}_3^T + \underline{C} \underline{P}_7^T - \underline{G} \underline{P}_{12} - \underline{P}_8^T = \underline{Q} , \quad (3.66)$$

$$\begin{aligned} \underline{K} \underline{P}_4^T + \underline{C} \underline{P}_8^T - \underline{G} \underline{P}_{14}^T - \underline{P}_2^T \underline{\Gamma}^T \\ - \underline{P}_6^T \underline{\Xi}^T + \underline{P}_7^T \underline{Z}_1^T + \underline{P}_8^T \underline{Z}_2^T = \underline{Q} , \end{aligned} \quad (3.67)$$

$$\underline{K} \underline{P}_9^T + \underline{C} \underline{P}_9^T - \underline{G} \underline{P}_{15} + \underline{P}_9^T \underline{\Psi}^T = \underline{Q} , \quad (3.68)$$

$$K \underline{P}_5^T + C \underline{P}_6^T - G \underline{P}_{15} + P_6^T \Psi^T = Q , \quad (3.69)$$

$$\Gamma \underline{P}_4 + \Xi \underline{P}_2 - Z_1 \underline{P}_9 - Z_2 \underline{P}_4 + P_8 = Q , \quad (3.69)$$

$$\Gamma \underline{P}_3^T + \Xi \underline{P}_7^T - Z_1 \underline{P}_{10} - Z_2 \underline{P}_{14} + P_{19} = Q , \quad (3.70)$$

$$[\Gamma \underline{P}_4^T + \Xi \underline{P}_8^T - Z_1 \underline{P}_{11}^T - Z_2 \underline{P}_{12}] \\ + [\Gamma \underline{P}_4^T + \Xi \underline{P}_9^T - Z_1 \underline{P}_{14}^T - Z_2 \underline{P}_{19}]^T = Q , \quad (3.71)$$

$$\Psi \underline{P}_5 - P_6 = Q , \quad (3.72)$$

$$\Psi \underline{P}_{14} + P_6 \Gamma^T + P_9 \Xi^T - P_{12} Z_1^T - P_{14} Z_2^T = Q , \quad (3.73)$$

$$\Psi \underline{P}_{12} - P_{14} = Q , \quad (3.74)$$

$$\Psi \underline{P}_{15} + P_{15} \Psi = Q . \quad (3.75)$$

Como no caso anterior, agora também não se conhece o estado $\underline{h}(t)$ e, consequentemente, os momentos que o envolvem.

Exemplo : Sistema de 1 Grau de Liberdade .

Para um sistema mecânico de um grau de liberdade, um ruído colorido de primeira ordem e um filtro de segunda ordem obtém-se, utilizando-se as equações (3.62) até (3.75), as seguintes expressões envolvendo os estimadores da rigidez, do amortecimento e do parâmetro γ :

- de (3.64), (3.65) e (3.72) :

$$\left[\gamma \right]_e = \frac{\left(\frac{c}{m} \right)_e \underline{P}_6}{\left(\frac{k}{m} \right)_e \underline{P}_4 - \underline{P}_6} , \quad (3.76)$$

- de (3.66), (3.67) e (3.74) :

$$\left[\gamma \right]_e = \frac{\left[z_1 - \left(\frac{k}{m} \right)_e \right] P_4 + \left[z_2 + \left(\frac{c}{m} \right)_e \right] P_3 - \xi P_5}{P_3 - \left(\frac{k}{m} \right)_e P_2 - \left(\frac{c}{m} \right)_e P_4} \quad (3.77)$$

- de (3.65) , (3.67) , (3.72) , (3.73) e (3.74) :

$$\begin{aligned} & \left[\lambda + \xi \left[\gamma \right]_e \right] \left(\frac{c}{m} \right)_e P_5 + \left\{ z_1 - \left[z_2 + \left[\gamma \right]_e \right] \left[\gamma \right]_e \right\} \\ & \left[\gamma \right]_e \left\{ \left(\frac{k}{m} \right)_e P_2 + \left(\frac{c}{m} \right)_e P_4 - P_3 \right\} \quad (3.78) \end{aligned}$$

Analizando o que acontece quando $\gamma \rightarrow \infty$, percebe-se que , no limite :

- de (3.76) : $\left(\frac{k}{m} \right)_e P_4 - P_5 = 0$,

- de (3.77) ou (3.78) : $P_3 - \left(\frac{k}{m} \right)_e P_2 - \left(\frac{c}{m} \right)_e P_4 = 0$,

que são as equações (3.38) e (3.39) obtidas para uma excitação ruído branco .

Em 3.2.2.1. só se conseguiu duas equações para determinar as três incógnitas . Por isso , supõe-se que se podia obter a rigidez do sistema com razoável precisão . Agora , já se tem um número suficiente de equações mas , como se pode observar , elas formam um sistema não-linear . A fim de se evitar a aplicação de um algoritmo de solução de sistemas de equações algébricas não-lineares , supõe-se , novamente , que a rigidez (k/m) é conhecida .

Assim , usando (3.76) e (3.77) :

$$\left(\frac{c}{m} \right)_e = \frac{1}{2} \left\{ -a_1 \pm \left[a_1^2 - 4 a_2 \right]^{1/2} \right\} , \quad (3.79)$$

$$\left(\gamma \right)_o = \left(\frac{c}{m} \right)_o a_9 , \quad (3.80)$$

onde

$$a_1 = -\frac{1}{P_4} \cdot \left\{ P_3 \left[-\frac{k}{m} - \frac{P_4}{P_6} - 2 \right] + \frac{k}{m} \cdot P_3 \right\} ,$$

$$a_2 = \left\{ \left[z_1 - \frac{k}{m} \right] P_7 + \xi P_6 + z_2 P_8 \right\} \left\{ -\frac{k}{m} - \frac{P_1}{P_8} - 1 \right\} ,$$

$$a_9 = \frac{P_5}{\left[-\frac{k}{m} \cdot P_4 - P_5 \right]} .$$

No caso em que o valor da rigidez não for conhecido com precisão, pode-se fazer um refinamento da solução utilizando (3.78). Para isto, admite-se uma estimativa inicial $(k/m)_o$ e, com este valor, obtém-se $(c/m)_o$ e $(\gamma)_o$ de (3.79) e (3.80), respectivamente. Substituindo-se estes dois últimos resultados em (3.78) chega-se a um novo valor $(k/m)_1$ que será utilizado para calcular os novos valores $(c/m)_1$ de (3.79) e $(\gamma)_1$ de (3.80), e assim por diante, até que os três parâmetros converjam segundo algum critério adotado.

CAPÍTULO IV

MÉTODOS NUMÉRICOS

4.1. Introdução .

Para resolver o problema de identificação de sistemas dinâmicos e das características da perturbação externa , simulado em computador , foram desenvolvidos (ou apenas utilizados) inúmeros métodos numéricos , dentre os quais estão : um gerador de seqüências aleatórias com baixo fator de pico ; uma rotina para calcular a Transformada de Fourier Rápida e outra para estimar a média e a função de auto-correlação de um sinal ; um integrador numérico ; um interpolador por "splines" cúbicas ; e uma rotina para resolver sistemas algébricos lineares , além de um sub-programa que resolve sistemas de equações não lineares que , apesar de não ser utilizado nos casos que serão apresentados , é um componente importante na obtenção da solução em situações como , por exemplo , a descrita em 3.2.2.2 .

A figura 4.1 mostra o diagrama de blocos do programa de identificação desenvolvido .

Todos os programas foram escritos em FORTRAN e implementados em micro-computadores compatíveis com o IBM-PC .

Neste capítulo será apresentado , de maneira superficial , o funcionamento de cada rotina da figura 4.1 e o interrelacionamento entre elas , sem , contudo , se prender a um desenvolvimento matemático dos algoritmos . É incluída , em apêndice , a listagem

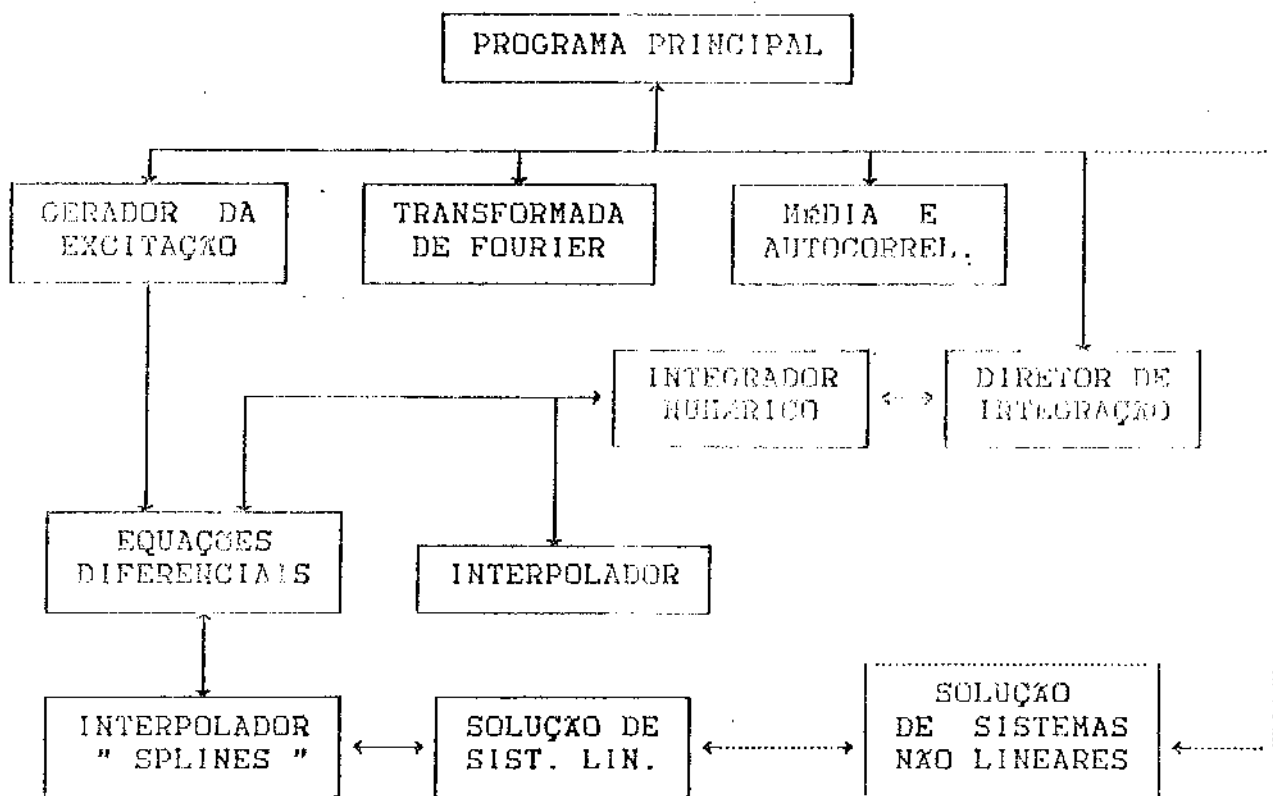


Figura 4.1 - Diagrama de blocos do programa de identificação .

dos programas utilizados . Limitar-se-á a apresentar uma visão suficiente apenas para possibilitar o entendimento das vantagens e desvantagens de cada método dentro do contexto em que são utilizados neste trabalho . Estas características , porém , só serão discutidas nos capítulos que se seguem .

4.2. Geração do sinal de excitação .

Baseado no resultado apresentado por Schroeder [28] , estudou-se um algoritmo para sintetizar um sinal pseudo-aleatório , periódico , com baixo fator de pico .

Na verdade , o problema consiste em ajustar os ângulos de fase de cada componente , em freqüência , de um sinal com um espectro de potência dado , a fim de minimizar a diferença entre

susas amplitudes máximas e mínimas .

Assim , considere-se um sinal $v(t)$ periódico em que a frequência instantânea , em um período T , alcança N diferentes freqüências harmonicamente relacionadas , k/T ($k = 1,2,\dots,N$) . Logo , para N grande , a potênciia do sinal na freqüência k/T será aproximadamente proporcional ao intervalo de tempo durante o qual a freqüência instantânea está em k/T .

O sinal $v(t)$, com período T e largura de banda finita , é obtido a partir de

$$v(t) = \sum_{k=1}^N \left(-\frac{p_k}{2} \right)^{1/2} \cos \left(\frac{2\pi kt}{T} + \theta_k \right) , \quad (4.1)$$

onde p_k é a potênciia relativa à k -ésima harmônica ($\sum_{k=1}^N p_k = 1$) e θ_k é o ângulo de fase correspondente . Agora , dado p_k ($k = 1,2,\dots,N$) o problema é como achar θ_k ($k = 1,2,\dots,N$) de modo a minimizar $|v_{\max}| - |v_{\min}|$.

Quando as potências relativas são dadas , a expressão final que se obtém para os ângulos de fase é

$$\theta_n = \theta_1 + 2\pi \sum_{l=1}^{n-1} (n-l) p_l . \quad (4.2)$$

O programa desenvolvido utiliza as expressões (4.1) e (4.2) para geração do sinal de excitação . Neste trabalho está-se interessado , particularmente , em sinais com espectro constante , ou seja , onde $p_k = 1/N$, $k = 1,\dots,N$, que podem ser considerados brancos dentro da faixa de freqüências desejada (a análise da correlação será feita mais adiante) . Além disso , calcula-se também a derivada de $v(t)$, ou seja ,

$$\hat{v}(t) = -\frac{2\pi}{T} \sum_{k=1}^N \left(\frac{p_k}{2} \right)^{1/2} k \sin \left(\frac{2\pi kt}{T} + \theta_k \right),$$

por motivos que serão expostos a seguir.

4.2 Transformada de Fourier Rápida .

A fim de analisar a forma do espectro do sinal gerado por (4.1) e (4.2) e do ruído colorido obtido através de (3.34) , além de outras situações que pudessem vir a aparecer , construiu-se uma rotina , baseado no algoritmo da borboleta desenvolvido por Cooley e Tukey , para o cálculo da transformada de Fourier rápida . Este método já é bem conhecido , não necessitando , portanto , da apresentação de muitos detalhes . O algoritmo pode ser encontrado , por exemplo , em Newland [18] e Rabiner [23] .

4.4. Média e Função de Auto-correlação .

Vários métodos de estimação da função de auto-correlação são discutidos em Jenkins/Watts [09] . O algoritmo aqui utilizado considera um conjunto finito , z_1, \dots, z_N , de N observações , e diz que um estimador da auto-correlação ρ_k é dado por

$$r_k = \frac{c_k}{c_0}, \quad (4.3)$$

onde

$$c_k = \frac{1}{N} \sum_{t=1}^{N-k} (z_t - \bar{z})(z_{t+k} - \bar{z}), \quad k = 0, 1, 2, \dots, k$$

é um estimador da covariância p_k e \bar{z} é a média da série temporal .

Para se obter uma estimativa razoável da função de auto-correlação é aconselhável que o valor de K não exceda N/4 .

A média \bar{z} é calculada por

$$\bar{z} = \frac{1}{N} \sum_{t=1}^N z_t . \quad (4.4)$$

4.5. Solução de Sistemas de Equações Diferenciais .

Dentro da vasta gama de integradores numéricos existentes atualmente , existe um grupo cujo procedimento é normalmente chamado de preditor-corretor , que se caracteriza por avaliar o valor da função $f(\underline{x}(t), t)$, presente na equação

$$\dot{\underline{x}} = f(\underline{x}(t), t) , \quad (4.5)$$

duas vezes por passo de integração . Apesar de ter um custo computacional de duas estimativas por passo , o seu emprego é justificado por apresentar características como alta precisão e baixa propagação de erros , o que permite a utilização de passos de integração até duas vezes maiores que os usados por outras técnicas .

Particularmente , utiliza-se aqui o integrador desenvolvido por Shampine/Gordon e apresentado em [30] , chamado método PECE (Predict - Evaluate - Correct - Evaluate) , e baseado nas equações de Adams-Moulton para predição e Adams-Basforth para correção .

Uma característica importante deste integrador é que ele utiliza passo variável , a fim de limitar os erros da solução de (4.5) dentro de limites previamente estipulados pelo usuário . Os problemas que isto acarreta serão discutidos nos próximos

capítulos .

Este integrador é dividido em quatro partes principais :

A primeira subrotina , chamada de diretor de integração , verifica a existência de erros na entrada de dados e organiza a chamada dos demais sub-programas .

Em seguida tem-se a rotina de integração propriamente dita que , a cada chamada , avança um passo em direção do instante onde se deseja a resposta .

Como o programa permite que a integração ultrapasse o ponto de saída , torna-se necessário a utilização de uma rotina de interpolação para obtenção dos valores da resposta no instante de interesse . Mostra-se que este procedimento é tão preciso quanto se escolher um passo de integração tal que o valor calculado corresponda ao instante de saída desejado .

Finalmente , há uma subrotina que calcula o erro unitário de truncamento do computador utilizado , com o objetivo de estipular um limite inferior para o passo de integração .

O sistema de equações diferenciais de primeira ordem que se deseja integrar se encontra em um subprograma a parte .

4.6. Interpolação por "Splines" Cúbicas .

Como foi visto anteriormente , o programa para resolver sistemas de equações diferenciais na forma em que se encontra , ajusta , por si só , o passo de integração . Assim , existe a possibilidade de se necessitar de valores do sinal de excitação , obtido através de (4.1) e (4.2) , em instantes em que este não tenha sido calculado (por serem valores discretos) . Para se conseguir uma estimativa da perturbação $v(t)$ nestes pontos ,

interpolarse os três valores mais próximos do instante t onde se deseja a resposta por "splines" cúbicas. O algoritmo apresentado a seguir é baseado em Dahlquist [02] e Prenter [22].

Considere uma função $f(t)$, discretizada em t_i , $i = 1, \dots, n$, a qual se deseja interpolar um polinômio cúbico $s(t)$. Portanto, $s(t)$ deve satisfazer as seguintes condições de interpolação :

$$s(t_0) = f(t_0),$$

$$s(t_i) = f(t_i), \quad 0 \leq i \leq n \quad (4.6)$$

$$s(t_n) = f(t_n).$$

Por necessitar dos valores da derivada do sinal a ser interpolado é que se calculou $\dot{v}(t)$ na rotina de geração da seqüência de excitação.

Para construir a função $s(t)$ considera-se que os instantes onde se conhece $f(t)$ são igualmente espaçados (h) e introduz-se quatro nós adicionais $t_{-2} < t_{-1} < t_0 < t_{n+2} > t_{n+1} > t_n$ e a função $B_i(t)$ definida por

$$B_i(t) = \frac{1}{h^3} \begin{cases} (t-t_{i-2})^3, & t \in [t_{i-2}, t_{i-1}] \\ h^3 + 3h^2(t-t_{i-1}) + 3h(t-t_{i-1})^2 - 3(t-t_{i-1})^3, & t \in [t_{i-1}, t_i] \\ h^3 + 3h^2(t_{i+1}-t) + 3h(t_{i+1}-t)^2 - 3(t_{i+1}-t)^3, & t \in [t_i, t_{i+1}] \\ (t_{i+2}-t)^3, & t \in [t_{i+1}, t_{i+2}] \\ 0, & \text{de outra forma.} \end{cases} \quad (4.7)$$

cuja forma é mostrada na figura 4.2

A tabela 4.1 mostra os valores de $B_j(t)$ e de suas duas primeiras derivadas para os nós $j-2, j-1, j, j+1, j+2$. Em

todos os outros nós as funções valem zero .

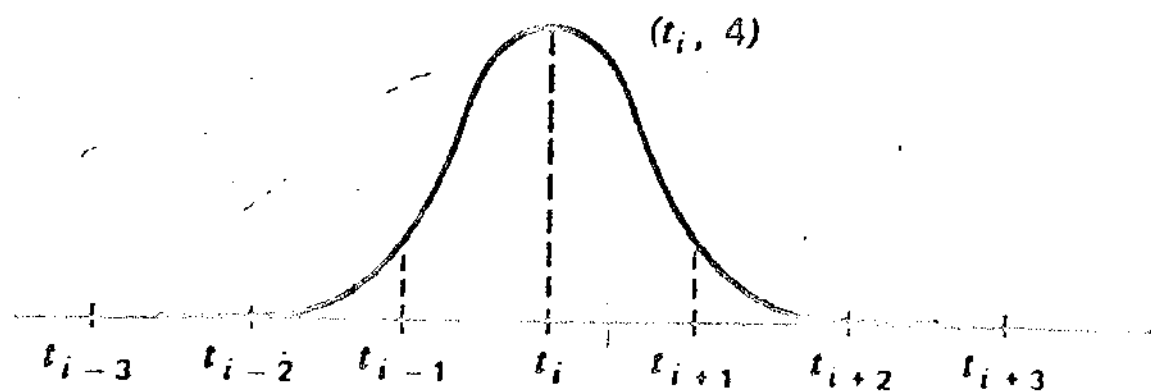


Figura 4.2 - Função $B_j(t)$ definida por (4.7) .

	$j = 2$	$j = 1$	j	$j = 1$	$j = 2$
$B_j(t)$	0	1	4	1	0
$\dot{B}_j(t)$	0	$3/h$	0	$3/h$	0
$\ddot{B}_j(t)$	0	$6/h^2$	$-12/h^2$	$6/h^2$	0

Tabela 4.1

Assim , propõe-se um polinômio $s(t)$ na forma

$$s(t) = x_{-1} B_{-1}(t) + x_0 B_0(t) + \dots + x_{n+1} B_{n+1}(t) . \quad (4.8)$$

Obrigando $s(t)$ a satisfazer as condições de interpolação (4.6) , obtém-se o seguinte sistema :

$$s(t_0) = x_{-1} \dot{B}_{-1}(t_0) + x_0 \dot{B}_0(t_0) + \dots + x_{n+1} \dot{B}_{n+1}(t_0) = \dot{f}(t_0)$$

$$s(t_i) = x_{-1} B_{-1}(t_i) + x_0 B_0(t_i) + \dots + x_{n+1} B_{n+1}(t_i) = f(t_i) , \quad (4.9)$$

$$s(t_n) = x_{-1} \dot{B}_{-1}(t_n) + x_0 \dot{B}_0(t_n) + \dots + x_{n+1} \dot{B}_{n+1}(t_n) = \dot{f}(t_n)$$

Logo, tem-se $n+3$ equações lineares, formando um sistema do tipo $\underline{A} \underline{x} = \underline{b}$, onde $\underline{x} = (x_{-1} | x_0 | \dots | x_{n+1})^T$, $\underline{b} = (f(t_0) | f(t_0) | f(t_1) | \dots | f(t_n) | f(t_n))^T$ e a matriz dos coeficientes é

$$\underline{A} = \begin{bmatrix} -3/h & 0 & 3/h & \dots & 0 & 0 & 0 \\ 1 & 4 & 1 & & 0 & 0 & 0 \\ \vdots & \vdots & \ddots & & \vdots & \vdots & \vdots \\ 0 & 0 & 0 & & 1 & 4 & 1 \\ 0 & 0 & 0 & \dots & -3/h & 0 & 3/h \end{bmatrix}.$$

Prova-se que a matriz \underline{A} é não singular e, portanto, (4.9) tem uma solução única.

O polinômio $s(t)$ dado em (4.8) é o interpolador "spline" cúbico utilizado.

4.7. Solução de Sistemas de Equações Lineares

Para se obter os coeficientes das "splines" é preciso resolver um sistema linear.

Os métodos baseados em triangularização (eliminação de Gauss, Cholesky, Doolittle, etc.) e diagonalização (eliminação de Gauss-Jordan, transformações congruentes, etc.) são, provavelmente, os mais usados na solução de sistemas do tipo $\underline{A} \underline{x} = \underline{b}$, porque são aplicados a todos os tipos de matrizes, são fáceis de programar e possuem boa eficiência (velocidade de processamento e precisão).

Aqui se utiliza o método de eliminação de Gauss com pivotação máxima (Westlake [36]), que consiste em realizar

operações elementares com as linhas e colunas de \underline{A} de modo a transformá-la em uma matriz triangular superior . Mais especificamente pode-se dizer que , no k-ésimo estágio , é escolhido um elemento a_{ij}^{k-1} da matriz \underline{A}^{k-1} (resultante das operações elementares dos k-1 estágios anteriores), chamado pivô , que , permutando-se as linhas i e k e as colunas j e k , torna-se o elemento a_{kk}^k . Este pivô é então usado para se obter zeros em todas as posições na sua coluna abaixo da diagonal principal . No fim de n estágios obtém-se uma matriz triangular superior , onde n é a dimensão da matriz \underline{A} .

A escolha do pivô é ponto importante na otimização do algoritmo utilizado . Basicamente existem três procedimentos para a sua escolha : 1. sem posicionamento pelo tamanho : o elemento a_{kk} , no k-ésimo estágio , é escolhido como pivô . Neste caso , os erros de truncamento não são minimizados e , se em algum estágio i , o elemento a_{ii} for igual a zero , mesmo que \underline{A} seja não singular , deve-se escolher outro elemento da matriz como pivô , e uma troca de linhas é necessária ; 2. parcial posicionamento pelo tamanho : escolhe-se o pivô do k-ésimo estágio como sendo o elemento de maior valor absoluto na coluna k , linhas k até n . Apesar de consumir mais tempo de computação , os testes de tamanho proporcionam uma boa melhoria nos erros de truncamento . 3. completo posicionamento pelo tamanho : no k-ésimo estágio , escolhe-se como pivô o elemento de maior valor absoluto em toda a sub-matriz composta pelas colunas de k a n e das linhas de k até n da matriz \underline{A}^{k-1} . Devido aos testes de tamanho e às inúmeras permutações de linhas e colunas necessárias , este procedimento é o que consome mais tempo de computação mas é o que tem os menores erros de truncamento .

4.8. Solução de Sistemas de Equações não Lineares .

Apesar de não ser usado em nenhum dos casos de identificação estudados , achou-se interessante deixar registrado algum comentário sobre os métodos de solução de sistemas não lineares ou , mais especificamente , métodos para obtenção de mínimos de funções , uma vez que é inevitável escapar deles para alguns casos específicos de identificação pelo MC .

Em geral , a utilização desses métodos apresenta muitas dificuldades , pelo fato de que cada um é aplicado apenas para determinados casos particulares ; dificilmente pode-se garantir , antecipadamente , que o processo desenvolvido resolve o problema que se tem em mãos . O melhor procedimento , nestes casos , é tentar descobrir (por comparação com algum outro problema da mesma classe ou por tentativas de aplicações sucessivas do método de resolução) algumas de suas características , de modo a poder interagir com o computador na procura das soluções .

Algumas dos algoritmos mais usados estão os de direção conjugada , de Newton e os Quasi-Newton . Estas rotinas exigem um esforço computacional considerável e portanto é razoável investir na sua otimização .

O programa desenvolvido baseia-se no método de Newton-Raphson e utilizou como literatura básica : Saaty [26] , Wacker [31] e Wolfe [37] .

CAPÍTULO V

RESULTADOS

5.1. Introdução .

Neste capítulo são apresentados os resultados da identificação dos parâmetros de um sistema mecânico linear , invariante no tempo , e das características da força de excitação para cada um dos casos discutidos no capítulo III , sendo eles :

1. sistema mecânico excitado por um ruído branco e acoplado a um filtro de 1.^a ordem ;
2. sistema mecânico excitado por um ruído branco e acoplado a um filtro de 2.^a ordem ;
3. sistema mecânico excitado por um ruído colorido e acoplado a um filtro de 1.^a ordem ;
4. sistema mecânico excitado por um ruído colorido e acoplado a um filtro de 2.^a ordem .

Como já foi dito anteriormente , não é objetivo deste trabalho analisar o método de identificação como tal , mas sim estudar os aspectos da simulação digital de sistemas , estimar os parâmetros do modelo matemático através do Método das Covarianças , para alguns casos particulares , e propor esta técnica como opção na determinação das características da força de excitação . Um estudo mais detalhado do processo de identificação com a variação dos diversos parâmetros envolvidos pode ser encontrado em Weber/Schielhen [32] e Dias/Weber [04] .

Assim , estuda-se-á o comportamento do estimador das covariâncias predominantemente para o caso 1 , descrito anteriormente , e qualquer grande variação , nos demais casos , nas conclusões tiradas serão apontadas por ocasião de sua ocorrência .

Para tanto , propõe-se um sistema mecânico de referência (toda análise será feita para parâmetros do modelo variando em torno dos valores do sistema de referência) , descrito pela equação diferencial de 2^a ordem

$$\ddot{y}(t) + 12 \dot{y}(t) + 3600 y(t) = 100 f(t) , \quad (5.1)$$

onde $f(t)$ é o ruído branco $v(t)$ para os casos 1 e 2 e é o ruído colorido $h(t)$ para os casos 3 e 4 .

O ruído gerado a partir do algoritmo de Schroeder [28] é mostrado nas figuras 5.1. e 5.4 , com uma frequência máxima de 100 Hz e número de pontos (NPE) igual a 64 e 512 respectivamente . As figuras 5.2 e 5.3 , 5.5 e 5.6 apresentam a transformada de Fourier e a função de auto-correlação dos sinais anteriores . Observa-se que , apesar da sequência gerada ser um processo de banda larga com potência relativa constante nas diversas componentes de frequência , ainda não pode ser considerada como branca , uma vez que os valores da função de auto-correlação para $\tau \neq 0$ são relativamente elevados , apesar de que , para NPE = 512 , a correlação da sequência melhora significativamente . Um grande inconveniente deste algoritmo é o tempo computacional gasto (proporcional a N^2 , onde N é o número de componentes em frequência ou número de pontos no tempo) para gerar o sinal . Isso obriga a utilização de períodos com , no máximo , 512 pontos .

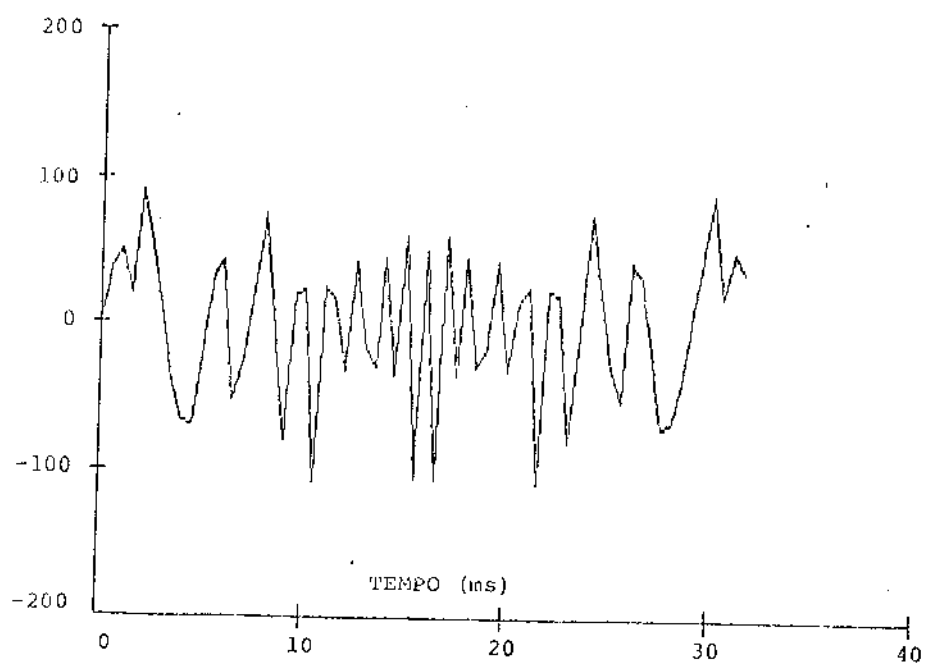


Figura 5.1 - Sinal gerado pelo algoritmo de Schroeder
 $F_{\max} = 100 \text{ Hz}$ e $NPE = 64$.

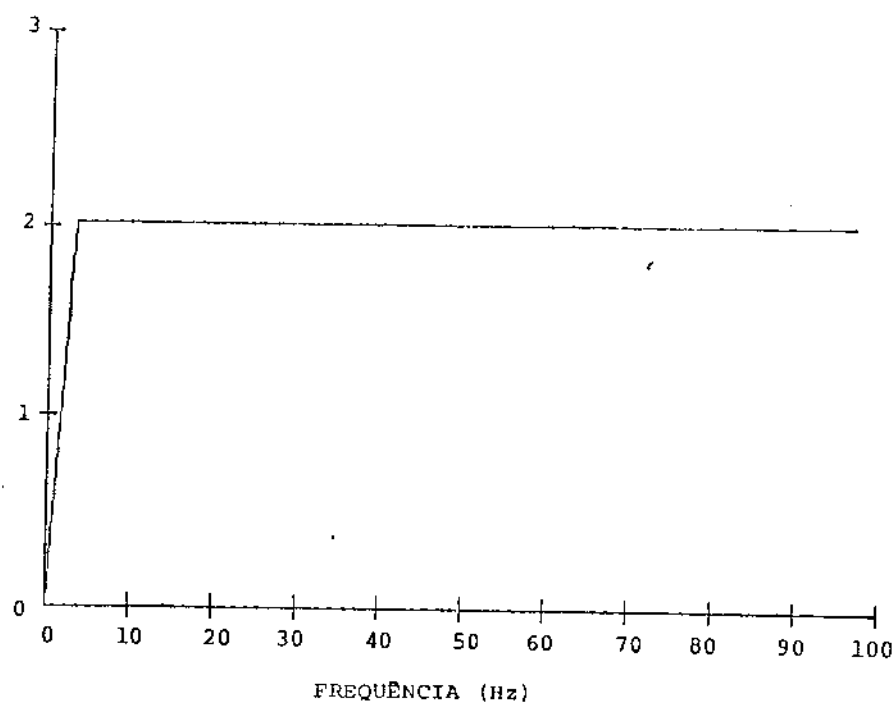


Figura 5.2 - Transformada de Fourier do sinal de Schroeder
 $F_{\max} = 100 \text{ Hz}$ e $NPE = 64$.

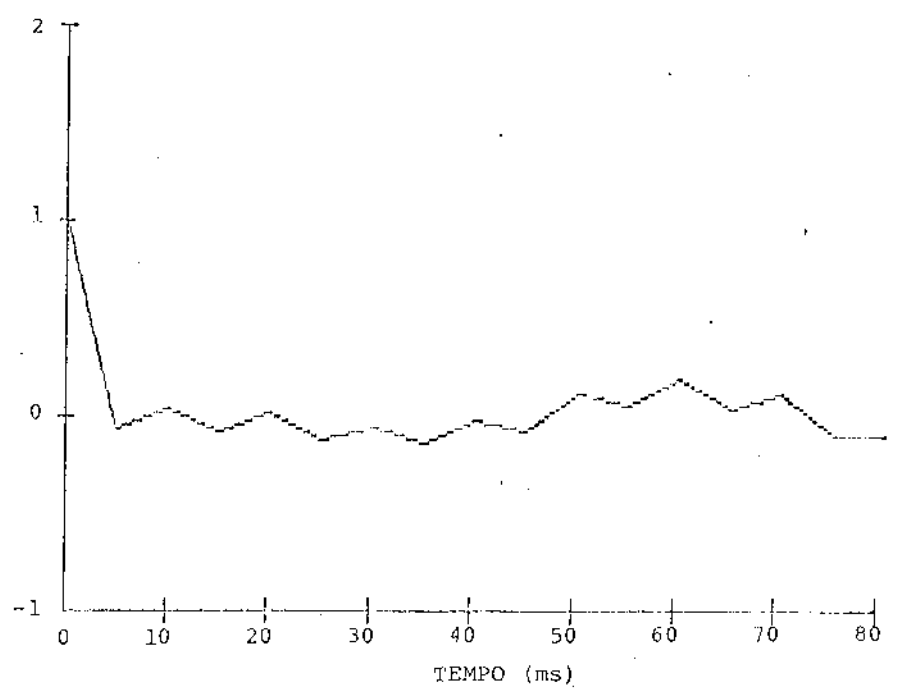


Figura 5.3 - Função de auto-correlação do sinal de Schroeder
 $F_{\max} = 100 \text{ Hz}$ e $NPE = 64$.

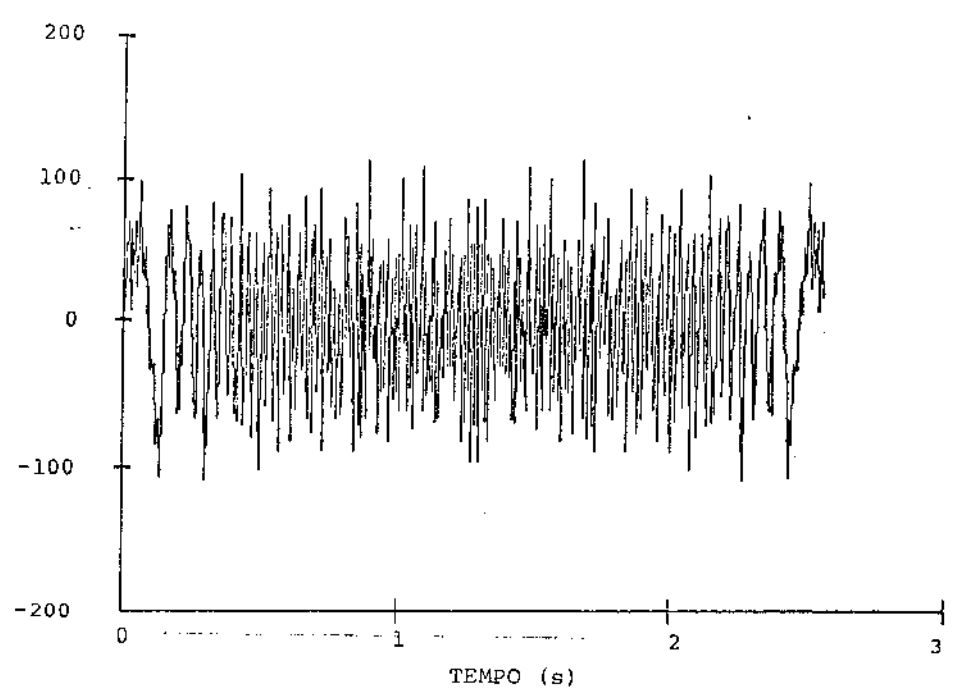


Figura 5.4 - Sinal gerado pelo algoritmo de Schroeder
 $F_{\max} = 100 \text{ Hz}$ e $NPE = 512$.

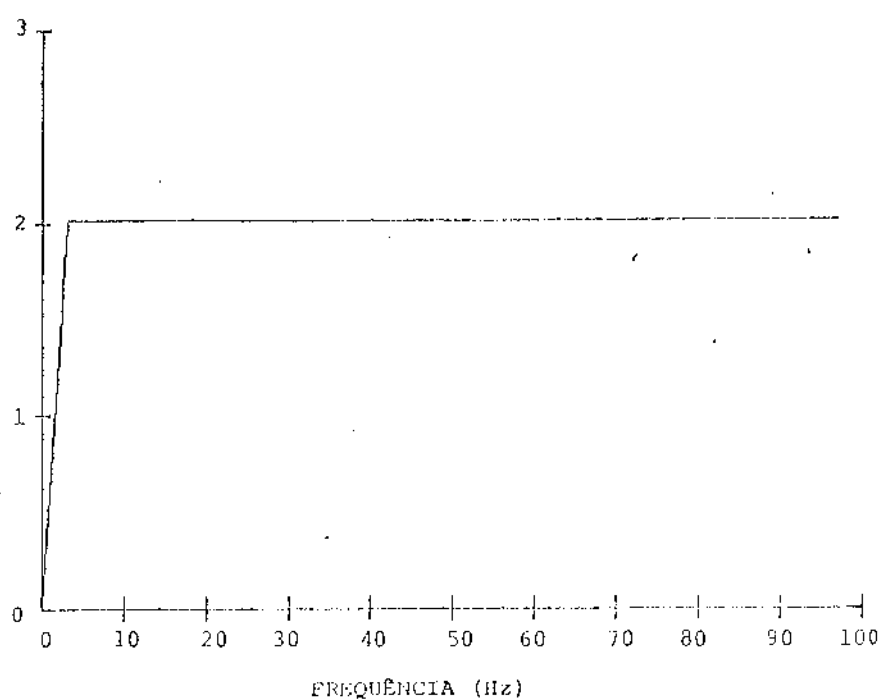


Figura 5.5 - Transformada de Fourier do sinal de Schroeder .
 $F_{\max} = 100 \text{ Hz}$ e $NPE = 512$.

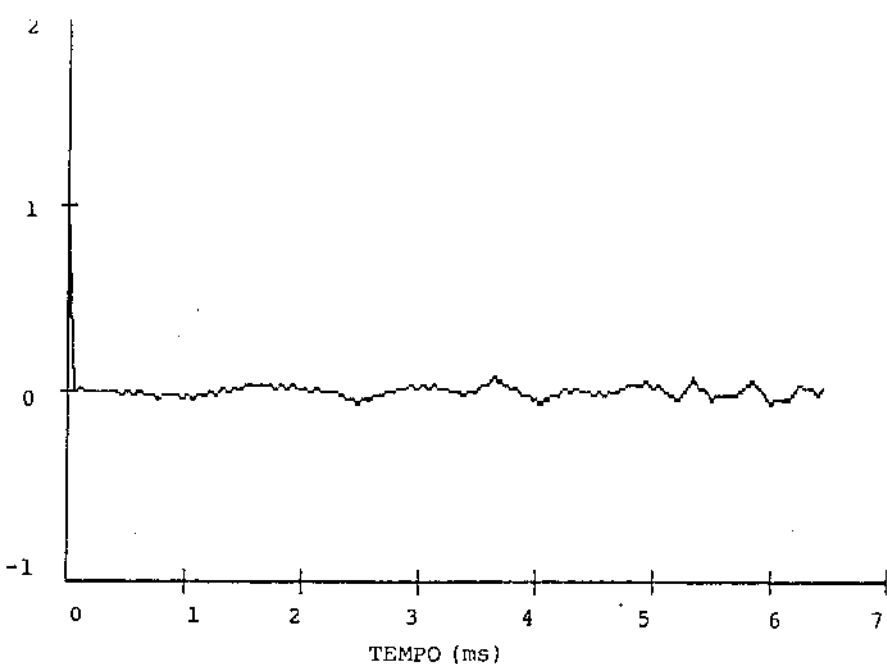


Figura 5.6 - Função de auto-correlação do sinal de Schroeder .
 $F_{\max} = 100 \text{ Hz}$ e $NPE = 512$.

Este sinal será utilizado como excitação em todos os casos propostos e as consequências de sua aplicação serão amplamente discutidas, neste e no próximo capítulo, onde, junto com a análise dos métodos computacionais empregados, será mostrado um outro processo de geração de uma seqüência aleatória, gaussiana, cujas características são bem mais próximas de um ruído branco ideal.

5.2. Sistema mecânico excitado por um ruído branco.

5.2.1. Filtro posterior de 1.^a ordem.

Seja o filtro de primeira ordem dado por

$$\dot{w}(t) + z_1 w(t) = \delta y(t), \quad (5.2)$$

onde será considerado, a princípio, $z_1 = 30 \text{ s}^{-1}$ e $\delta = 50 \text{ s}^{-1}$.

Os estimadores das covariâncias da rigidez e do amortecimento de um sistema mecânico de um grau de liberdade, excitado por um ruído branco e acoplado a um filtro de primeira ordem são dados pelas equações (3.24) e (3.25). Os resultados da aplicação dessas duas expressões para o sistema formado por (5.1) e (5.2) pode ser visto nas figuras 5.7 e 5.8, que representam a convergência das estimativas da rigidez e do amortecimento respectivamente. Nas figuras 5.9 e 5.10 são apresentados os erros dos valores identificados, calculados por

$$E_k = \frac{\left| k/m - \left(\frac{k}{m} \right)_e \right|}{k/m}, \quad E_o = \frac{\left| c/m - \left(\frac{c}{m} \right)_e \right|}{c/m}, \quad (5.3)$$

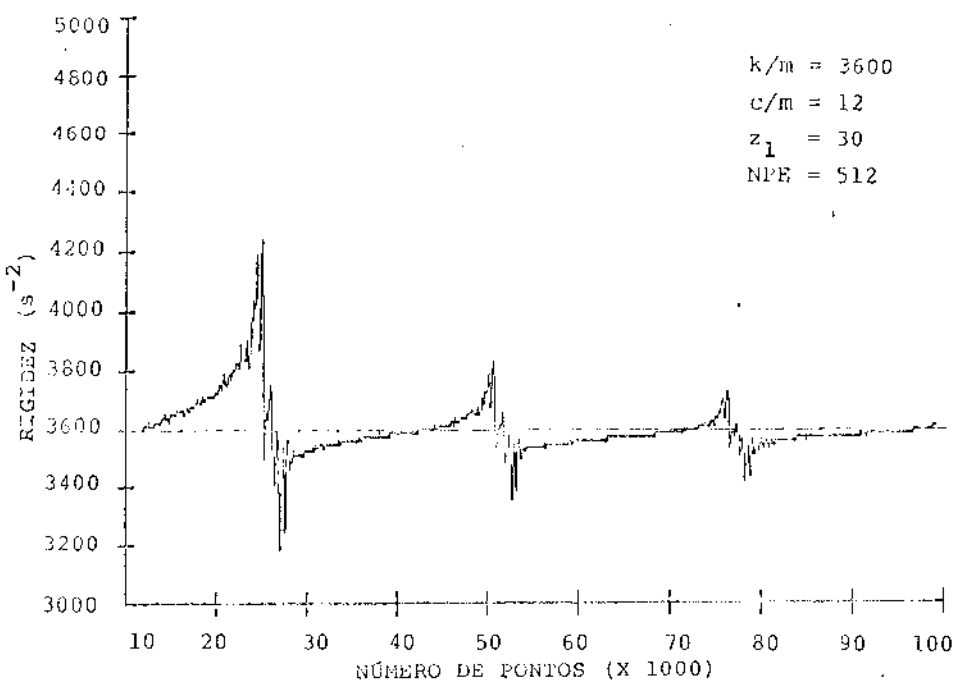


Figura 5.7 - Identificação da rigidez do sistema de referência.
Intervalo de discretização da resposta (T) = 1×10^{-4} s.

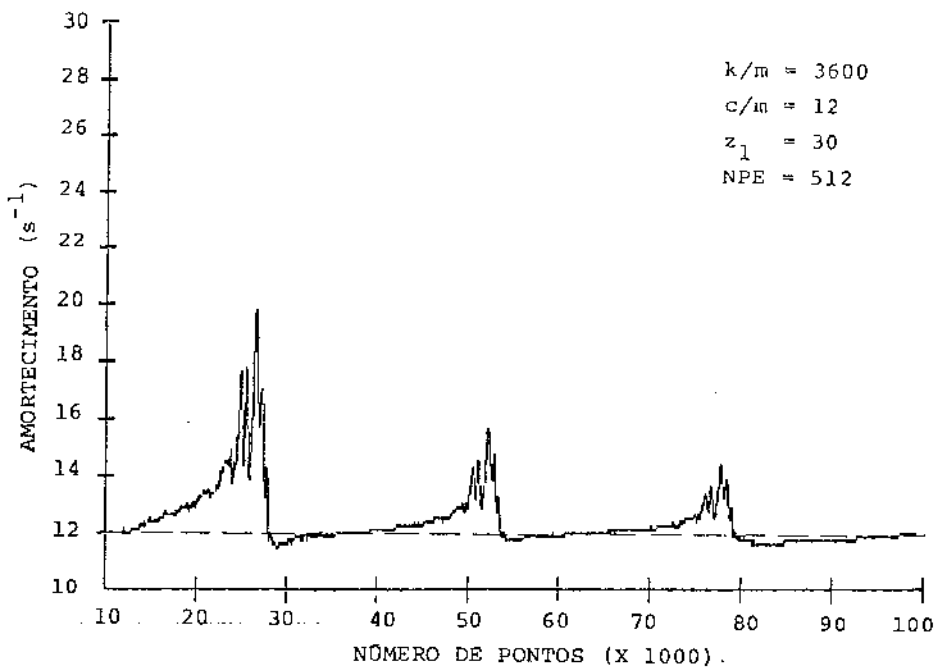
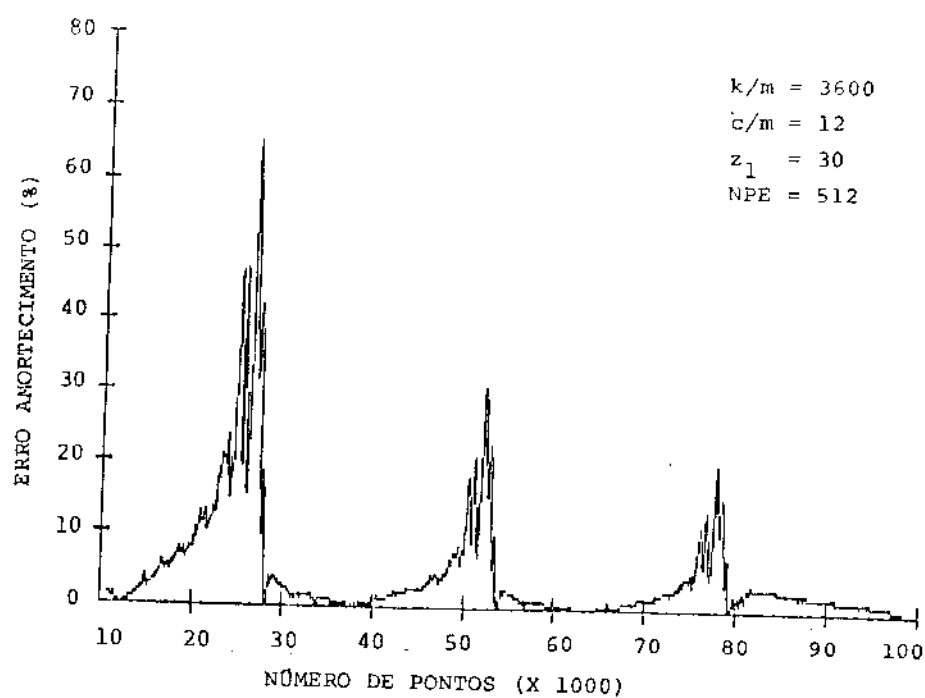
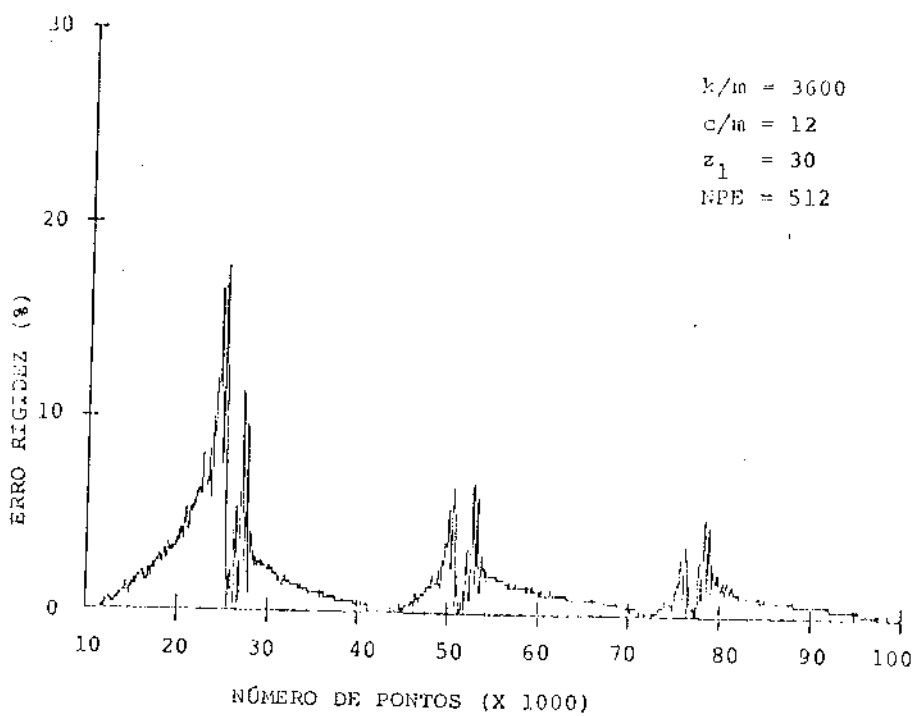


Figura 5.8 - Identificação do amortecimento do sistema de referência. $T = 1 \times 10^{-4}$ s.



em função do número de pontos .

Observa-se que , apesar de ainda não terem convergido para um valor fixo , as estimativas , depois de processados 100 mil pontos , apresentam resultados bastante razoáveis , dentro de uma faixa de erro de , no máximo , 5% para a rigidez e 10% para o amortecimento . Os valores finais obtidos foram

$$k/m = 3615,41 \text{ s}^{-2} \quad \text{e} \quad c/m = 12,12 \text{ s}^{-1} ,$$

representando erros , respectivamente , de

$$E_k = 0,43\% \quad \text{e} \quad E_c = 0,99\% .$$

Apesar de , algumas vezes , ter-se executado o processo até que se alcança-se um valor final estável , acredita-se que o ganho de precisão não compense o tempo de processamento gasto e , por isso , os resultados serão sempre calculados até 100 mil pontos .

Percebe-se , observando as figuras 5.7 e 5.8 , que existe uma perturbação no processo de identificação em determinados intervalos constantes de tempo . Este intervalo é exatamente o período da excitação (TE) .

Retornando à figura 5.1 e imaginando uma periodização deste sinal , nota-se que a passagem de um período para o seguinte não é feita suavemente , ocorrendo como um choque no sistema . Este transiente pelo qual o sistema passa depois desse choque afeta sua condição de estacionariedade , anteriormente suposta , perturbando , obviamente , a convergência do processo .

Contudo , existe um outro efeito , sobreposto a este , que está ligado à frequência natural do sistema mecânico que , neste caso , é de aproximadamente 10 Hz .

Observando novamente a figura 5.1 , nota-se que este sinal comportar-se como uma "varredura aleatória" , onde a frequência do sinal varia com o tempo , indo de zero até a frequência máxima e retornando a zero em um período T_E . Assim , a cada intervalo T_E , o sistema é excitado duas vezes em sua frequência de ressonância , uma no início do período , quando a frequência está aumentando , e a outra no fim do intervalo . Para tentar separar os efeitos da excitação na frequência de ressonância e da passagem brusca de um período da excitação para o seguinte , faz-se $k/m = 9000 \text{ s}^{-2}$, ou seja , a frequência natural do sistema passou a ser aproximadamente 50 Hz . Os resultados desta simulação são apresentados nas figuras 5.11 até 5.14 . Fica fácil , agora , perceber como os dois efeitos - passagem pela ressonância (1) e choque provocado pela periodização do sinal de excitação (2) - atuam sobre a convergência das estimativas . Em ambos os casos , a condição de fortemente estacionário deixa de ser satisfeita , uma vez que o momento de segunda ordem (variança) deixa de ser constante (Newland [18]) .

Mesmo com todos esses problemas as estimativas ainda convergem para valores muito próximo dos corretos . O que se analisa , a seguir , é o comportamento dos valores finais estimados com a variação na periodicidade da perturbação externa .

Assim , são apresentados , nas figuras 5.15 a 5.20 , os erros na identificação da rigidez e do amortecimento quando o número de pontos da excitação é 64 , 128 e 256 respectivamente . Observa-se que para 64 pontos o valor final estimado da rigidez apresenta um erro de , aproximadamente , 3% e do amortecimento de 50% . Estes valores tornam-se $E_k = 3\%$ e $E_C = 30\%$ para NPE = 128

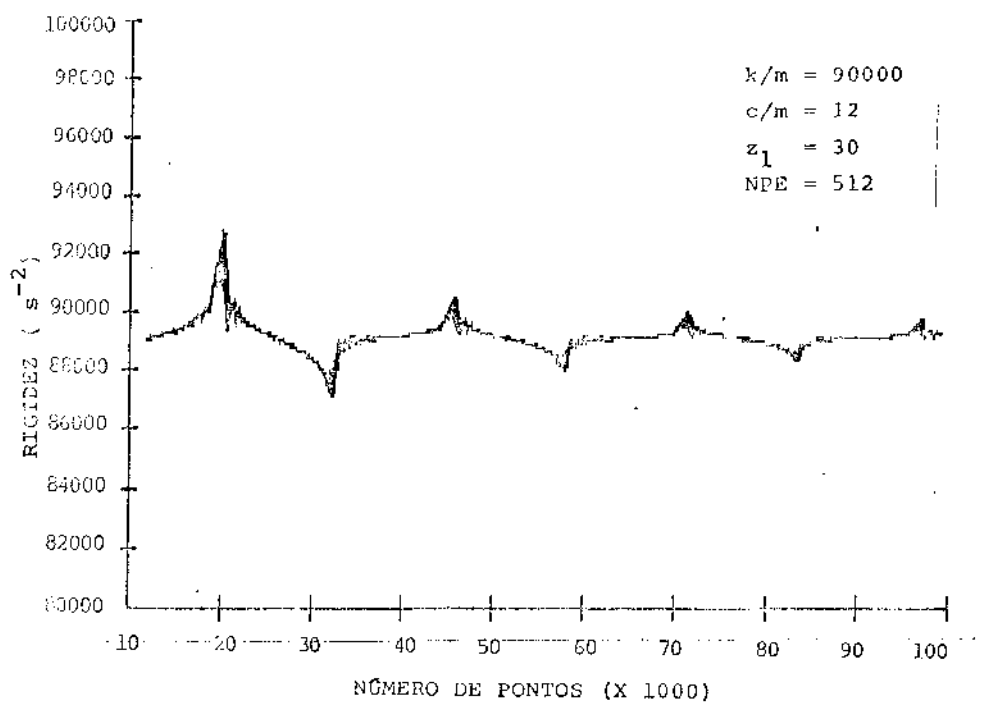


Figura 5.11 - Identificação da rigidez do sistema mecânico
 $k/m = 90000 \text{ s}^{-2}$ e $T = 1 \times 10^{-4} \text{ s}$.

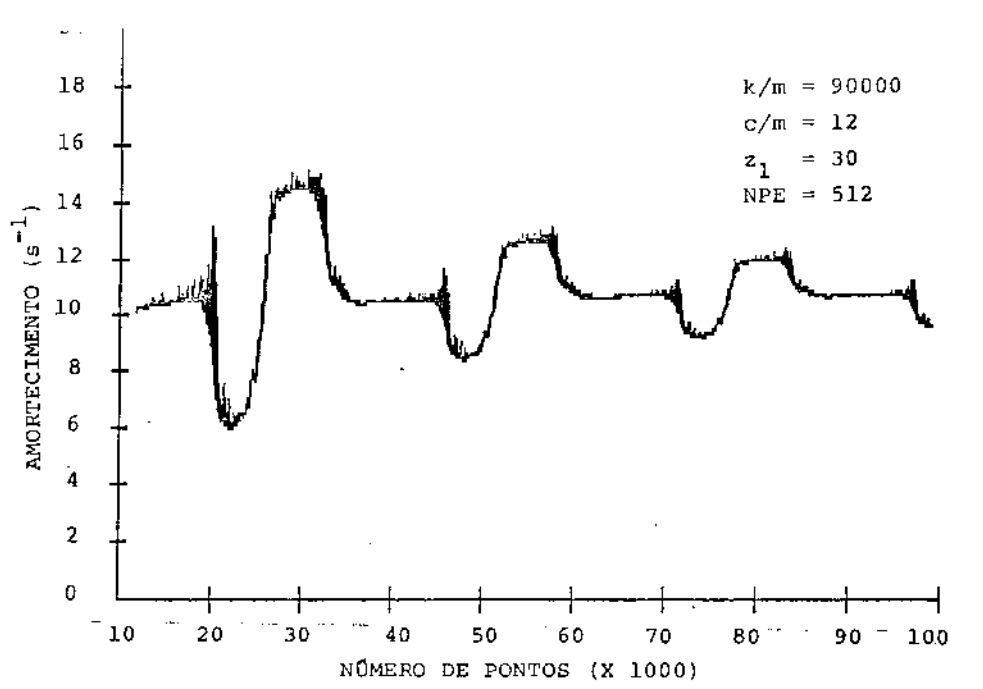


Figura 5.12 - Identificação do amortecimento do sistema mecânico
 $k/m = 90000 \text{ s}^{-2}$ e $T = 1 \times 10^{-4} \text{ s}$.

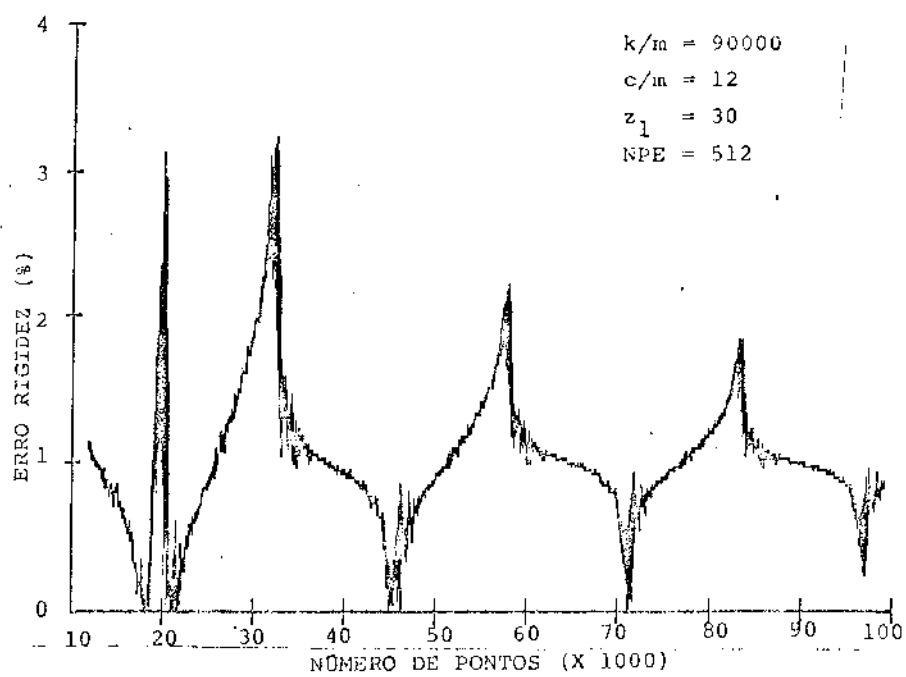


Figura 5.13 - Erro na identificação da rigidez do sistema mecânico . $k/m = 90000 \text{ s}^{-2}$ e $T = 1 \times 10^{-4} \text{ s}$.

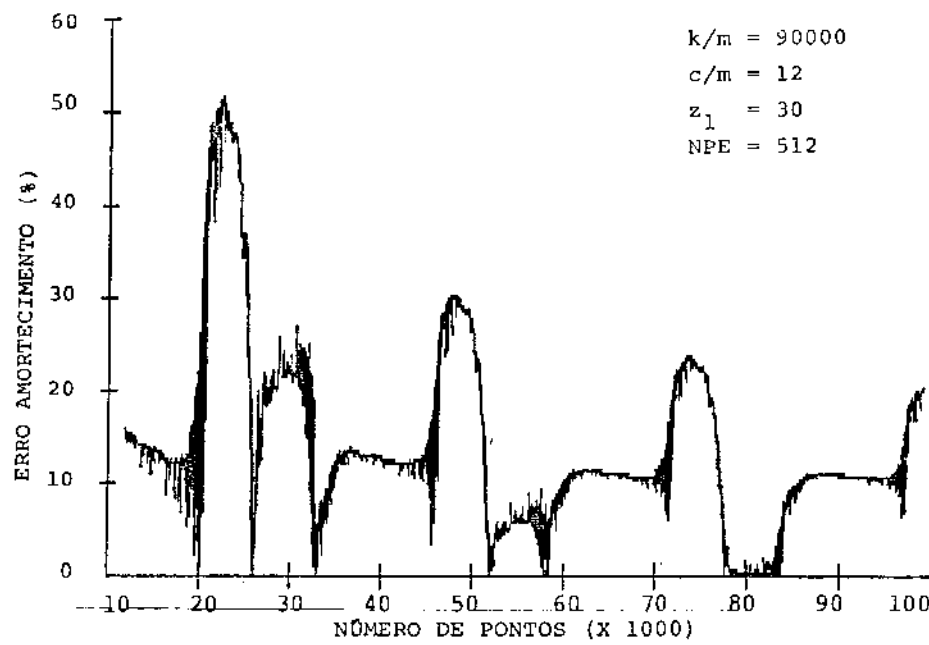


Figura 5.14 - Erro na identificação do amortecimento do sistema mecânico . $k/m = 90000 \text{ s}^{-2}$ e $T = 1 \times 10^{-4} \text{ s}$.

e $E_k = 2,5\%$ e $E_o = 10\%$ para $NPE = 256$. Logo, conclui-se que , quanto maior o número de pontos da excitação , mais precisos são os resultados finais obtidos .

Cada período da entrada , que corresponde a $TE = 0,005NPE$ segundos , equivale a , aproximadamente , 3 , 6 , 12 ou 24 períodos da resposta impulsiva do sistema , já que sua frequência está em torno de 10 Hz . Assim , quanto menor o NPE , menor será a quantidade de informação sobre o sistema disponível pelo processo , uma vez que , fora o primeiro período da resposta forçada , que possui condições iniciais nulas , todos os outros contém as mesmas informações . Nota-se que a rigidez é bem identificada mesmo para $NPE = 64$ pontos , mas toda a informação necessária para estimá-la está contida em um período da resposta impulsiva do sistema' , uma vez conhecida a massa .

Portanto , a situação ideal seria ter um gerador de números aleatórios em que os valores só começassem a se repetir quando um número de pontos muito grande tivessem sido obtidos . Mas , como já foi dito , o algoritmo utilizado gasta um tempo considerável para a geração dos sinais , e considerando que os resultados da identificação obtidos para $NPE = 512$ pontos são bastante razoáveis , este valor será o adotado de agora em diante .

Antes de ir adiante seria interessante se perguntar qual o intervalo mínimo (ou ótimo) que se deve observar um determinado sistema , supondo que nesse período sua excitação possa ser considerada como um ruído branco , de modo que as estimativas finais não sejam polarizadas , ou seja , que o processo tenda para os valores exatos ?

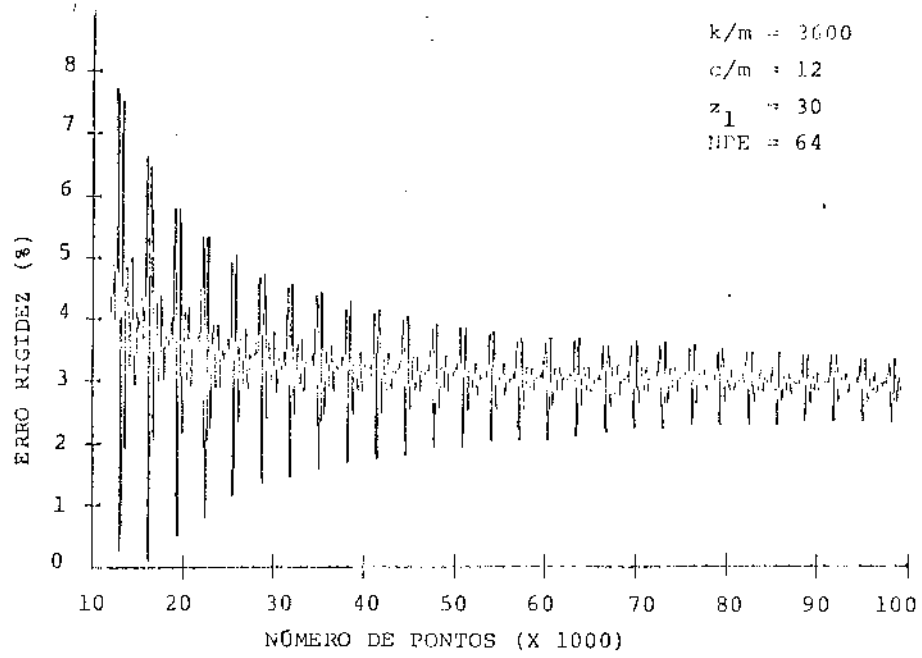


Figura 5.15 - Erro na identificação da rigidez do sistema mecânico . NPE = 64 e $T = 1 \times 10^{-4}$ s .

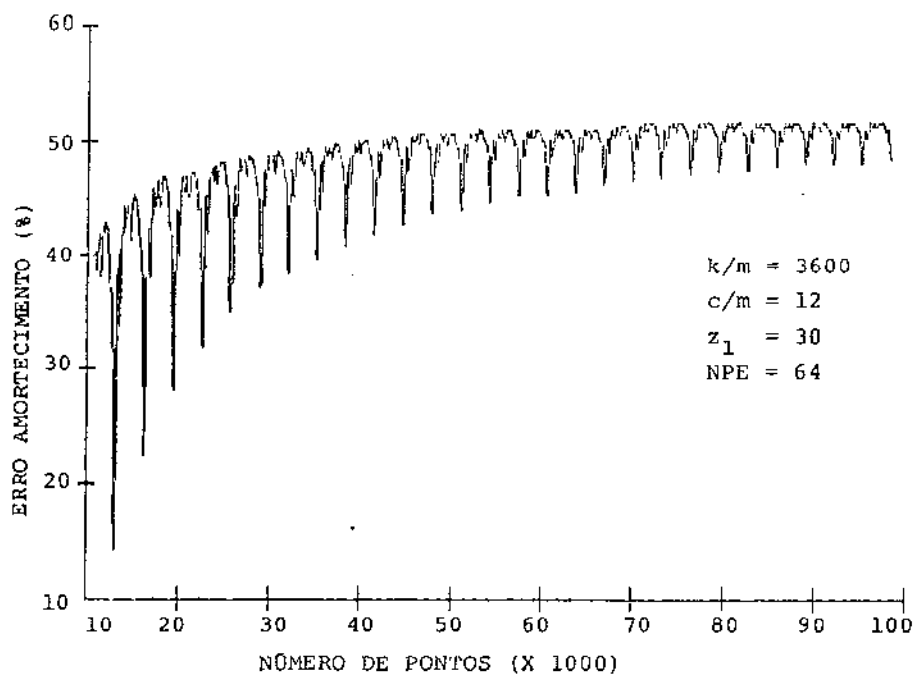


Figura 5.16 - Erro na identificação do amortecimento do sistema mecânico . NPE = 64 e $T = 1 \times 10^{-4}$ s .

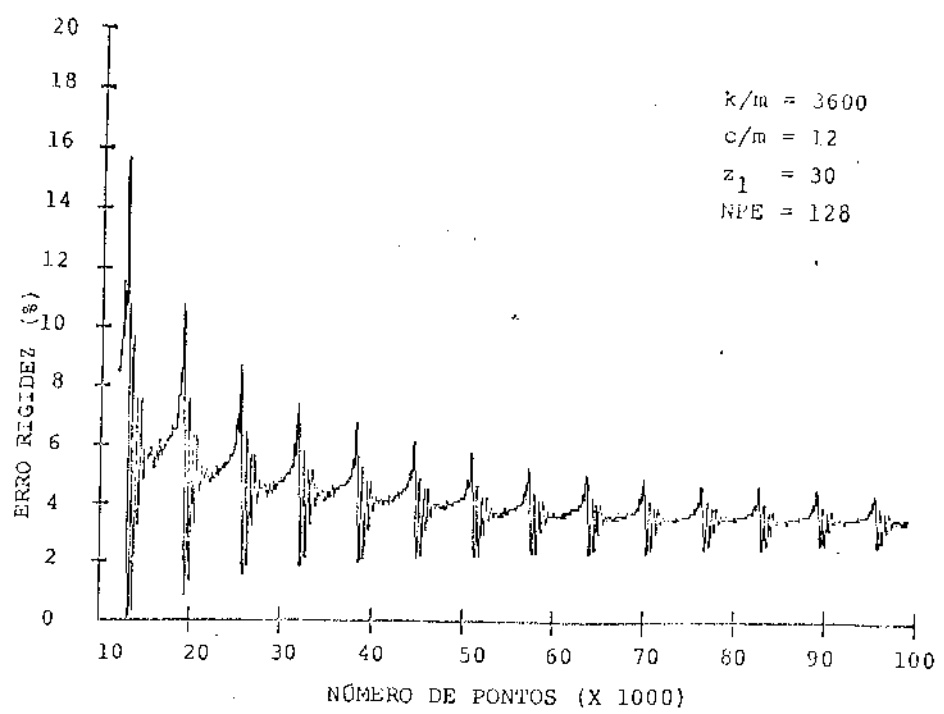


Figura 5.17 - Erro na identificação da rigidez do sistema mecânico . NPE = 128 e $T = 1 \times 10^{-4}$ s .

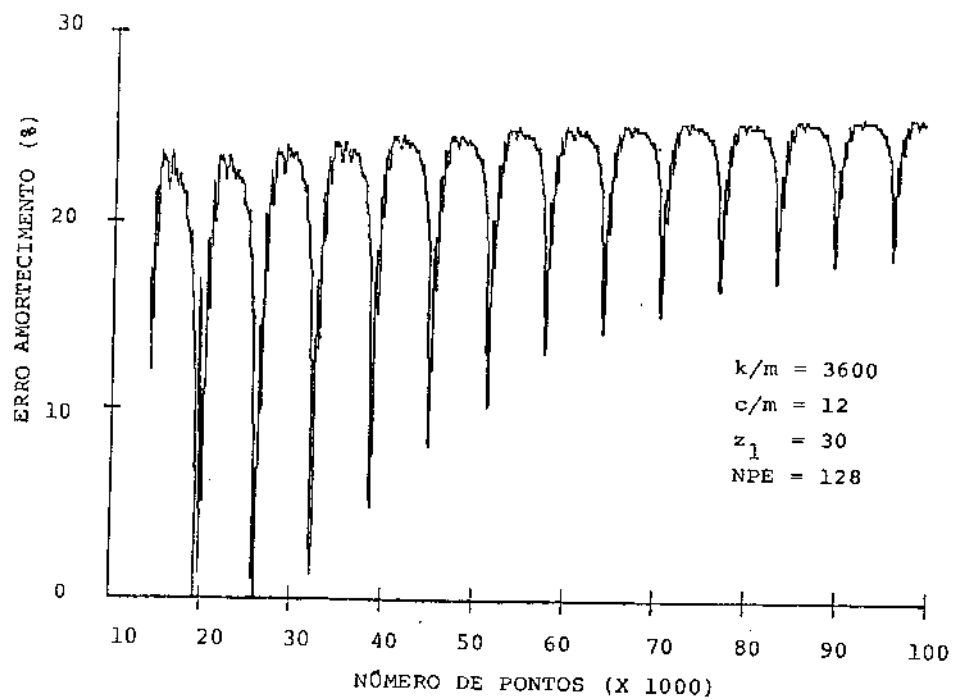


Figura 5.18 - Erro na identificação do amortecimento do sistema mecânico . NPE = 128 e $T = 1 \times 10^{-4}$ s .

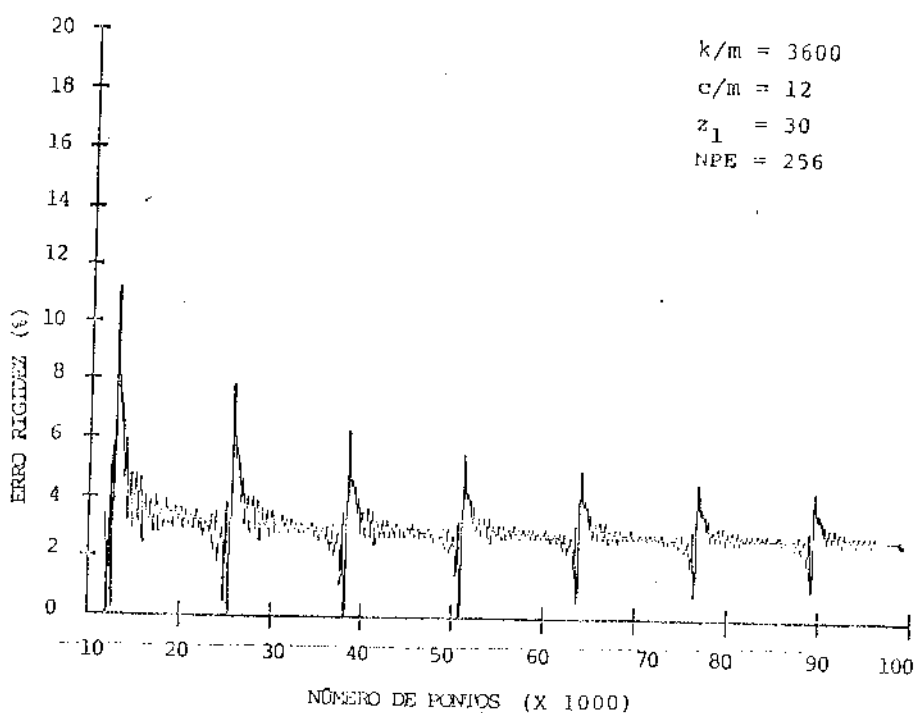


Figura 5.19 - Erro na identificação da rigidez do sistema mecânico . NPE = 256 e $T = 1 \times 10^{-4}$ s .

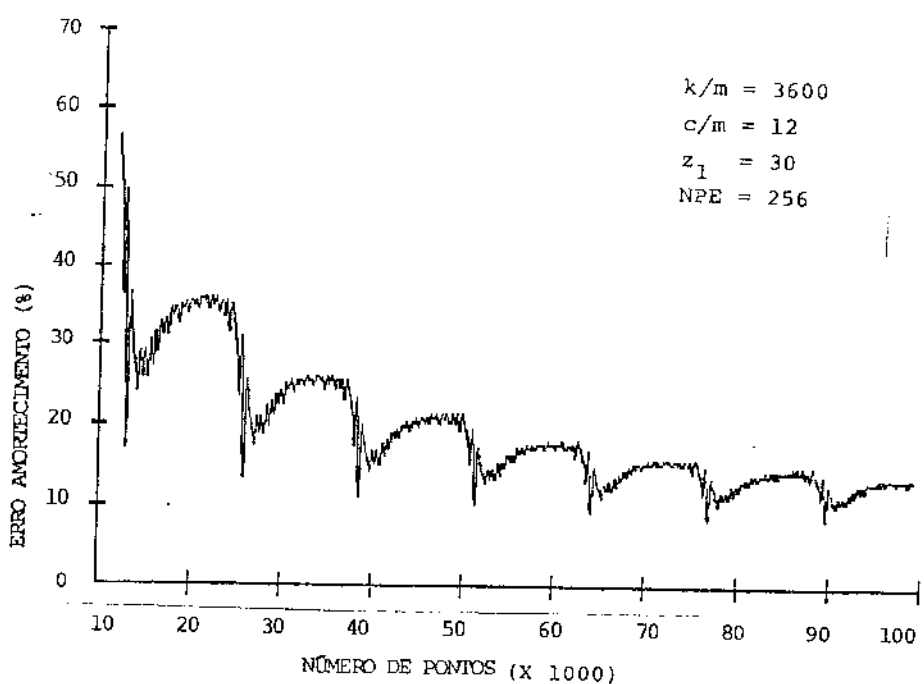


Figura 5.20 - Erro na identificação do amortecimento do sistema mecânico . NPE = 256 e $T = 1 \times 10^{-4}$ s .

Supõe-se agora a situação em que , ao invés de diminuir o número de pontos da excitação , aumenta-se a sua frequência máxima (de 100 Hz para 1000 Hz) , diminuindo , da mesma forma , o período TE . As figuras 5.21 e 5.22 mostram estes resultados .

Percebe-se que o erro na estimativa do amortecimento aumentou bastante (passou para $E_c = 14,03\%$) enquanto que o da rigidez se manteve constante ($E_k = 0,5\%$) . A identificação do amortecimento é sempre muito mais sensível às variações do processo do que a da rigidez , como já se pôde perceber na análise anterior .

Um outro fator que influencia sobremaneira a estimação dos parâmetros é a frequência de corte (z_1) do filtro . Nas figuras 5.23 e 5.24 é apresentado o caso em que z_1 assume o valor 60 s^{-1} . Nesta situação , os erros no cálculo do amortecimento cresceram sensivelmente enquanto que a estimativa da rigidez não se alterou ; o que era de se esperar , uma vez que o estimador das covariâncias para a rigidez - equação (3.24) - não depende dos parâmetros do filtro . Como já foi dito , a escolha dos valores característicos dos filtros , tanto de primeira e , principalmente , dos de segunda ordem , é uma tarefa muito difícil e que desenvolve-la não se encontra dentro dos objetivos deste trabalho . Contudo , achou-se importante mostrar que esta influência realmente ocorre e que pode , por si só , comprometer os valores finais obtidos .

O processo de identificação sofre uma influência muito grande , tanto na velocidade de convergência como nos resultados finais , com a variação dos próprios parâmetros a serem estimados , como pode ser visto nas figuras 5.25 até 5.28 , para

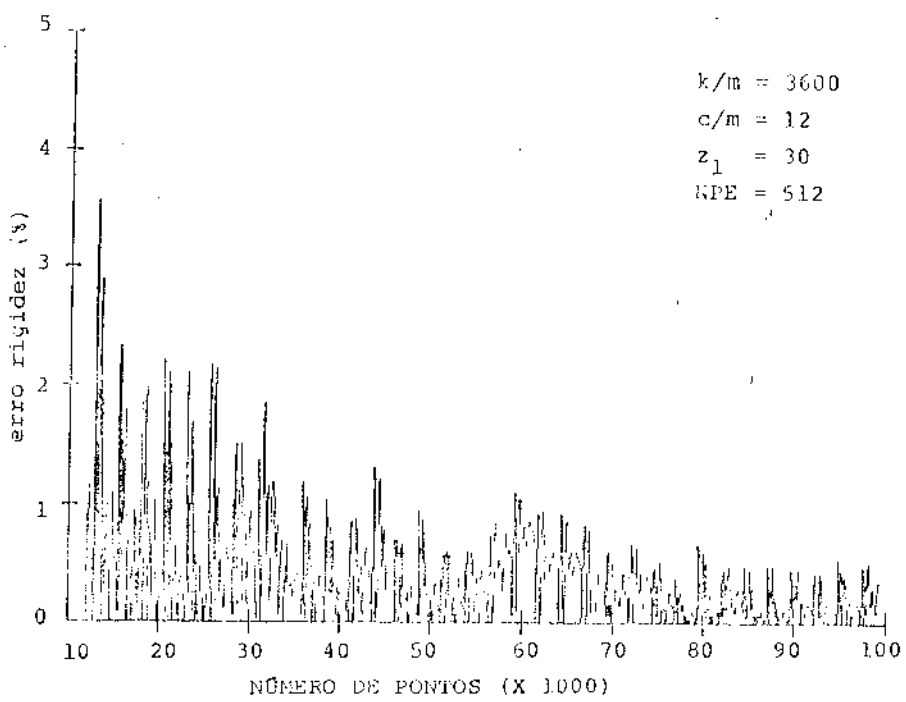


Figura 5.21 - Erro na identificação da rigidez do sistema mecânico . $F_{\max} = 1000 \text{ Hz}$ e $T = 1 \times 10^{-4} \text{ s}$.

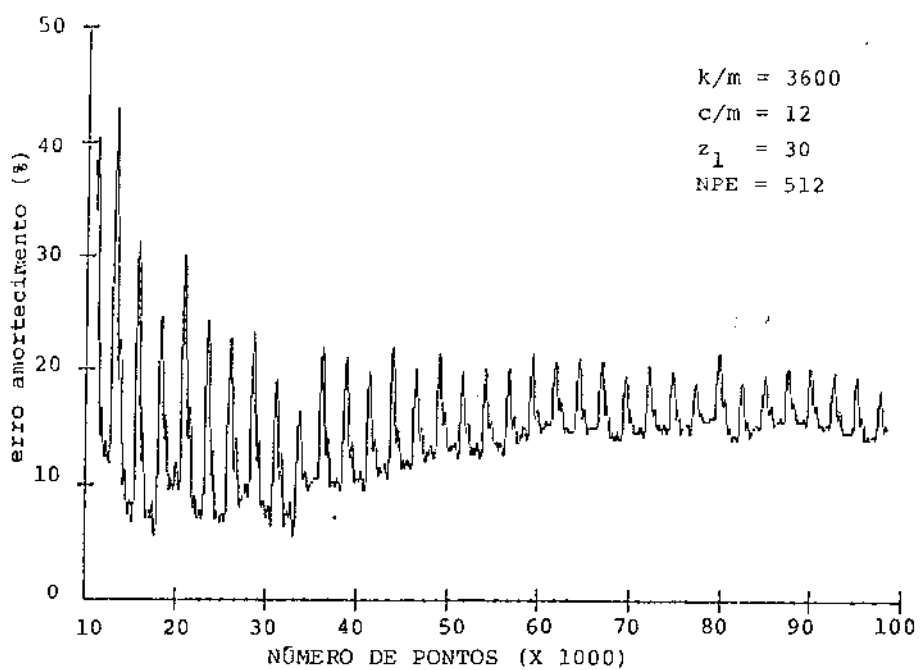


Figura 5.22 - Erro na identificação do amortecimento do sistema mecânico . $F_{\max} = 1000 \text{ Hz}$ e $T = 1 \times 10^{-4} \text{ s}$.

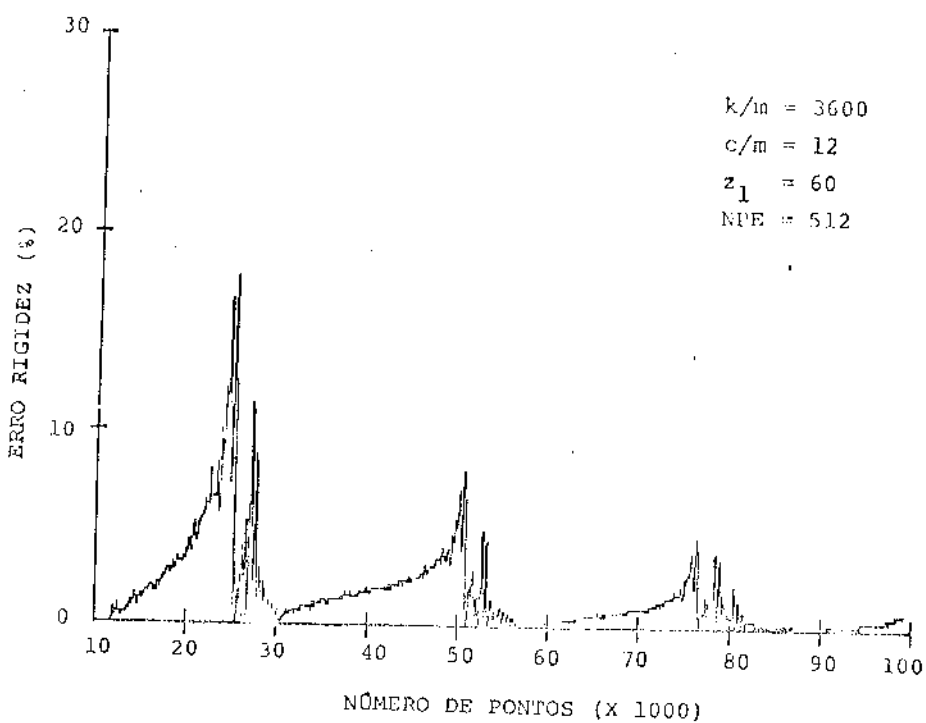


Figura 5.23 - Erro na identificação da rigidez do sistema mecânico . $z_1 = 60 \text{ s}^{-1}$ e $T = 1 \times 10^{-4} \text{ s}$.

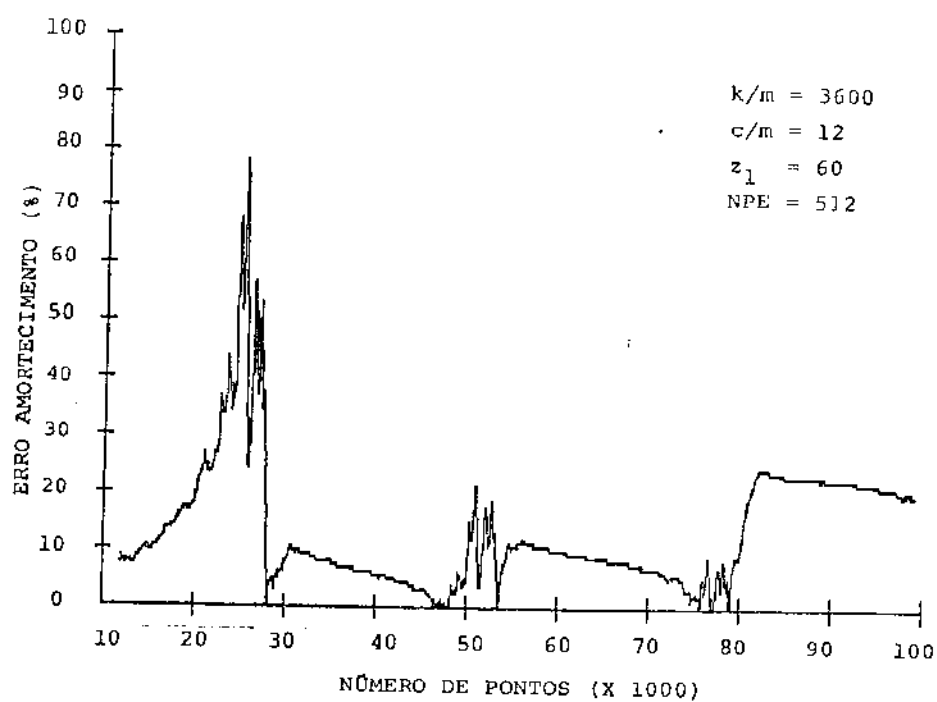


Figura 5.24 - Erro na identificação do amortecimento do sistema mecânico . $z_1 = 60 \text{ s}^{-1}$ e $T = 1 \times 10^{-4} \text{ s}$.

valores de rigidez iguais a 5400 s^{-2} e 7200 s^{-2} respectivamente , e nas figuras 5.29 a 5.32 para amortecimento igual a 10 s^{-1} e 24 s^{-1} .

Como se pode perceber , são inúmeros os fatores que devem ser levados em conta a fim de se obter bons resultados na estimação dos parâmetros do sistema . Um estudo considerável neste sentido ainda deve ser feito antes de se aplicar esta técnica de identificação a um sistema real desconhecido . Nestes sistemas existe ainda o problema de ruído nas medidas , o que prejudica consideravelmente os resultados finais obtidos pelo processo , uma vez que o Método das Covariâncias é polarizado , como mostram Roether/Pederiva [24] .

Os problemas que ocorrem no demais casos são similares aos aqui apresentados . Limitar-se-á , portanto , a relatar , de maneira suscinta , os demais resultados , deixando qualquer discussão adicional para ser feita no capítulo seguinte .

5.2.2. Filtro posterior de 2^a ordem .

Utilizando o mesmo sistema mecânico dado em (5.1) e um filtro de segunda ordem , linear , descrito pela equação diferencial

$$\ddot{w}(t) + z_1 \dot{w}(t) + z_2 w(t) = \lambda y(t) + \xi \dot{y}(t) , \quad (5.4)$$

onde se adotou (baseado em Weber/Schiehlen [32]) os seguintes valores : $z_1 = 6200 \text{ s}^{-2}$, $z_2 = 10 \text{ s}^{-4}$, $\lambda = 1000 \text{ s}^{-2}$ e $\xi = -10 \text{ s}^{-1}$, obtém-se , através do MC , os estimadores para a rigidez e para o amortecimento do sistema mecânico , dados pelas equações (3.38) e

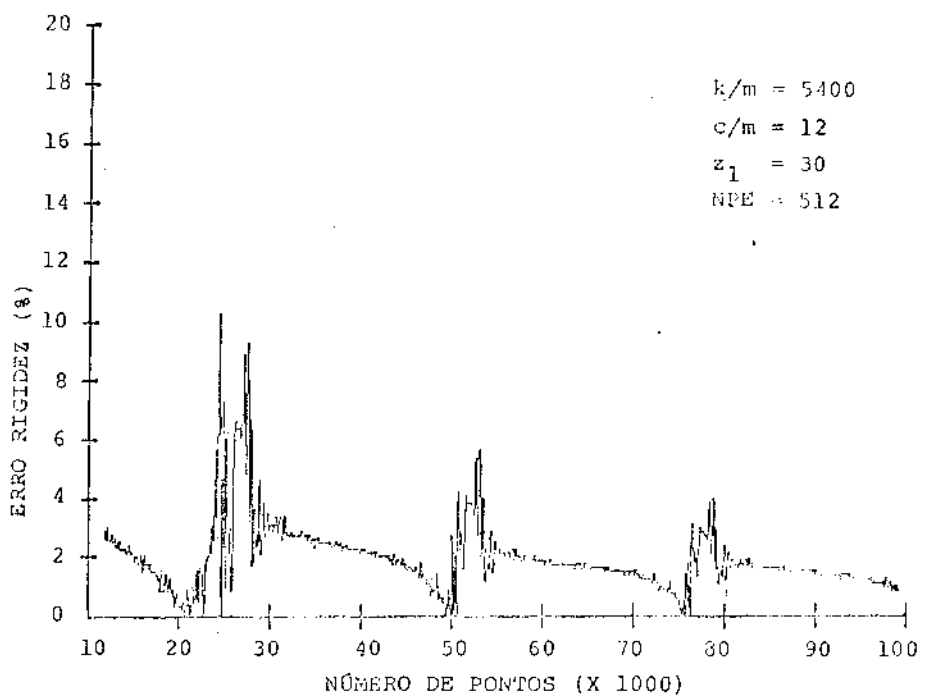


Figura 5.25 - Erro na identificação da rigidez do sistema mecânico , $k/m = 5400 \text{ s}^{-2}$ e $T = 1 \times 10^{-4} \text{ s}$.

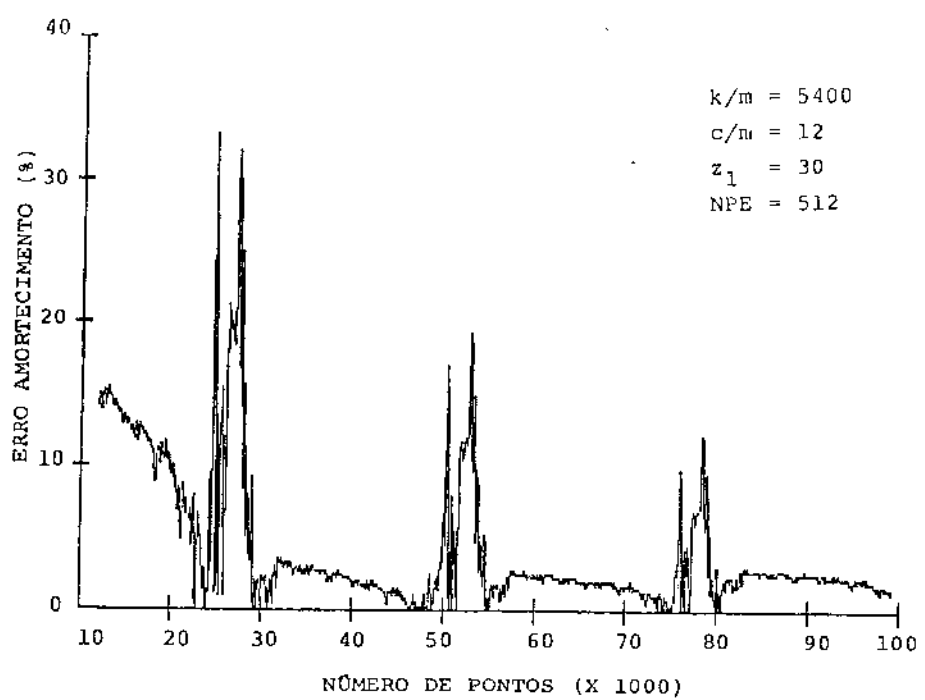


Figura 5.26 - Erro na identificação do amortecimento do sistema mecânico , $k/m = 5400 \text{ s}^{-2}$ e $T = 1 \times 10^{-4} \text{ s}$.

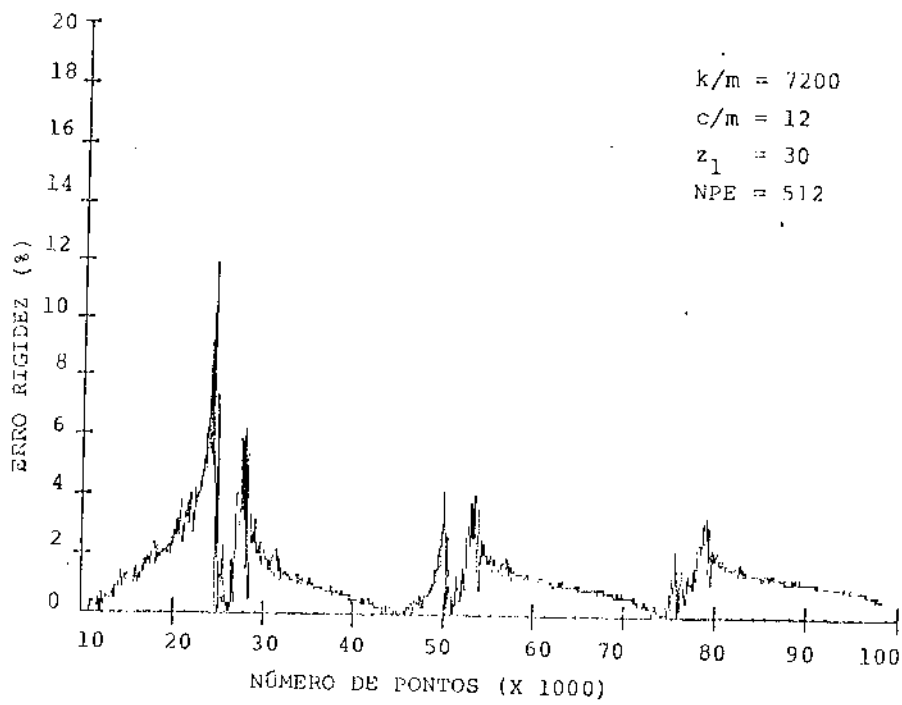


Figura 5.27 - Erro na identificação da rigidez do sistema mecânico . $k/m = 7200 \text{ s}^{-2}$ e $T = 1 \times 10^{-4} \text{ s}$.

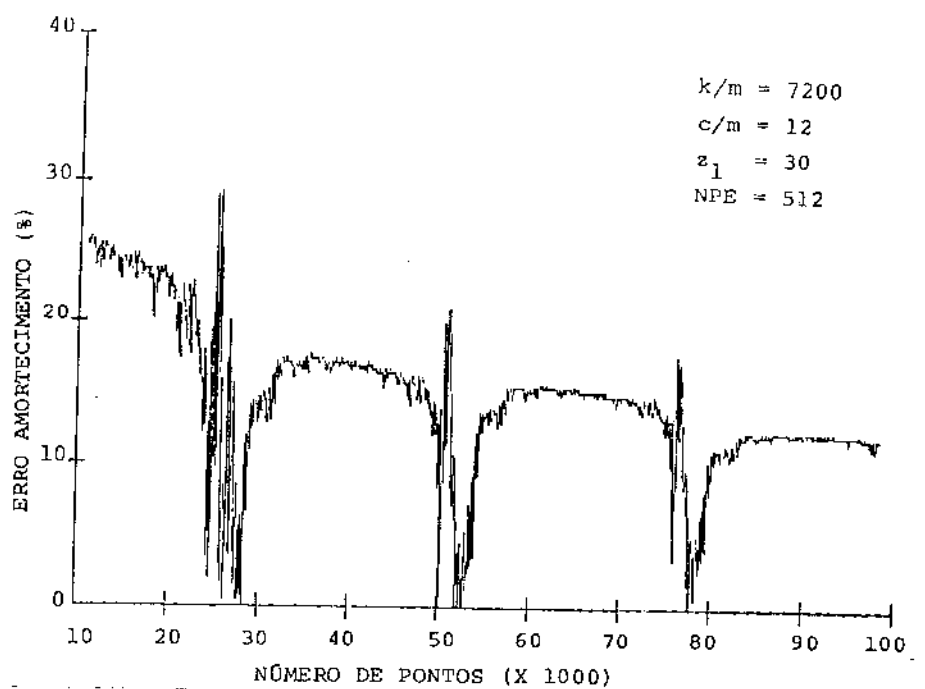


Figura 5.28 - Erro na identificação do amortecimento do sistema mecânico . $k/m = 7200 \text{ s}^{-2}$ e $T = 1 \times 10^{-4} \text{ s}$.

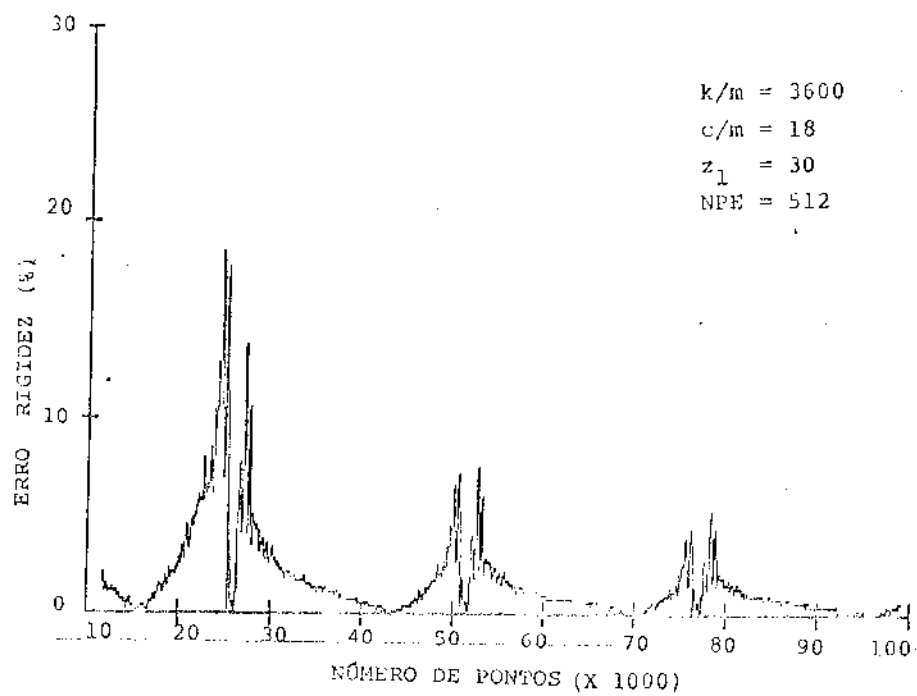


Figura 5.29 - Erro na identificação da rigidez do sistema mecânico . $c/m = 18 \text{ s}^{-1}$ e $T = 1 \times 10^{-4} \text{ s}$.

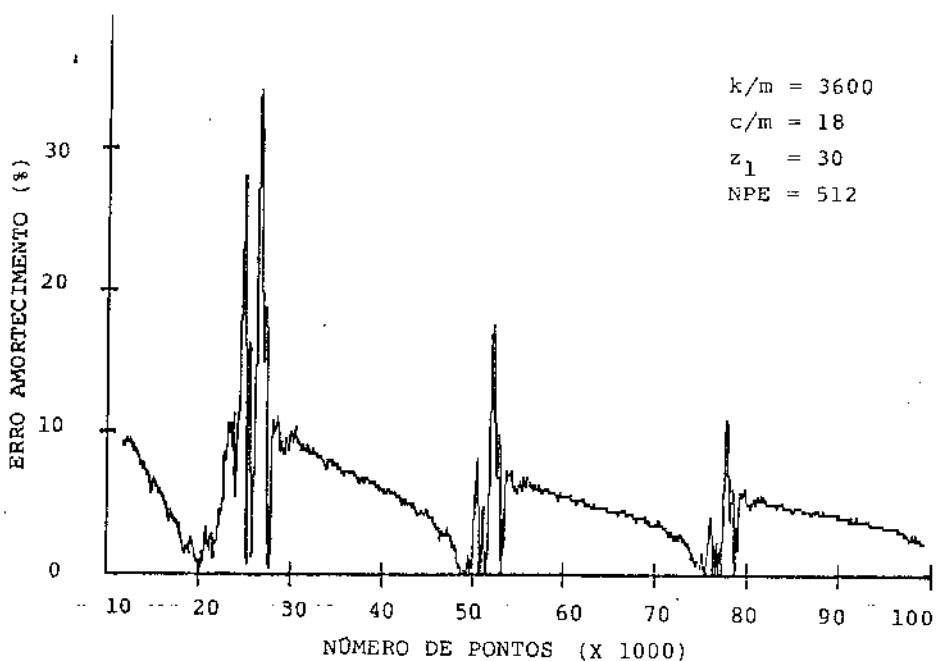


Figura 5.30 - Erro na identificação do amortecimento do sistema mecânico . $c/m = 18 \text{ s}^{-1}$ e $T = 1 \times 10^{-4} \text{ s}$.

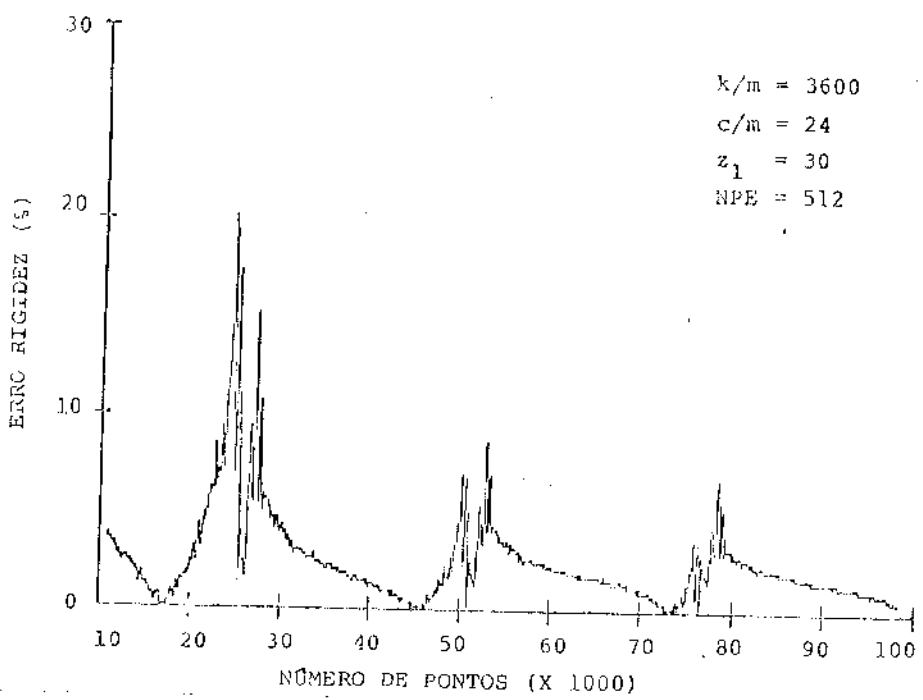


Figura 5.31 - Erro na identificação da rigidez do sistema mecânico , $c/m = 24 \text{ s}^{-1}$ e $T = 1 \times 10^{-4} \text{ s}$.

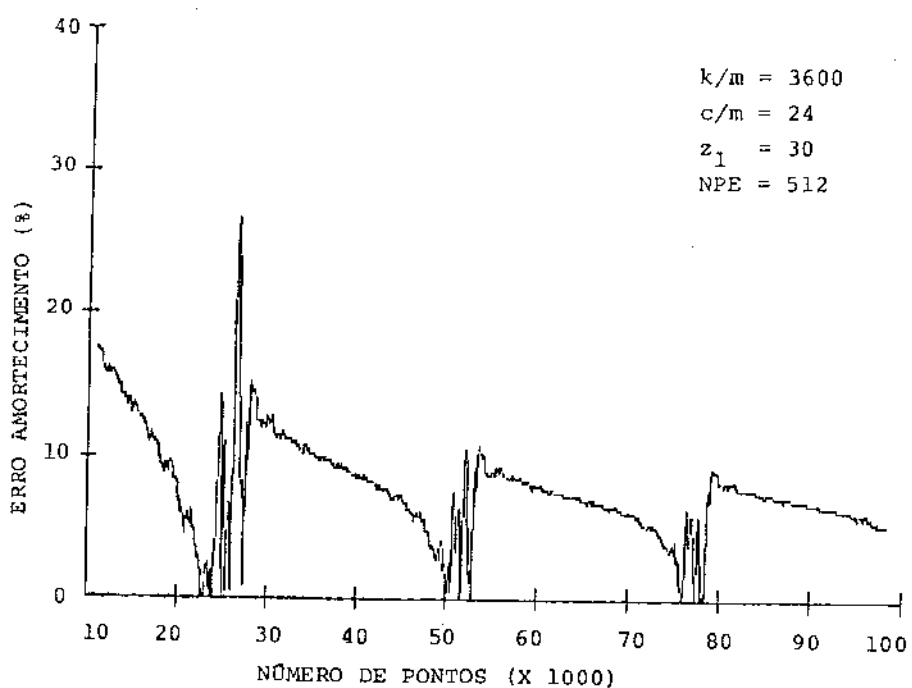


Figura 5.32 - Erro na identificação do amortecimento do sistema mecânico , $c/m = 24 \text{ s}^{-1}$ e $T = 1 \times 10^{-4} \text{ s}$.

(3.39) .

Os resultados da aplicação destes estimadores podem ser encontrados nas figuras (5.33) e (5.34) . Como se pode notar , os valores finais obtidos não variam muito em relação ao caso anterior .

5.3. Sistema mecânico excitado por um ruído colorido .

Utiliza-se o mesmo sistema (5.1) e um modelo para o ruído colorido representado por

$$\dot{h}(t) + 1300 h(t) = 100 v(t) . \quad (5.5)$$

Novamente , apresenta-se dois casos : (1) com filtro de primeira ordem e (2) com filtro de segunda ordem .

5.3.1. Filtro posterior de primeira ordem .

Com o auxílio do filtro (5.2) , obtém-se os resultados apresentados nas figuras 5.35 e 5.36 , da determinação do amortecimento e do fator característico do filtro , supondo que se conheça a rigidez .

Percebe-se que o MC responde bem à estimativa da frequência de corte do filtro .

5.3.2. Filtro posterior de segunda ordem .

Nas figuras 5.37 e 5.38 aparecem os resultados da identificação do parâmetro γ , da excitação , e do amortecimento do sistema mecânico , quando é usado o ruído colorido $h(t)$, gerado

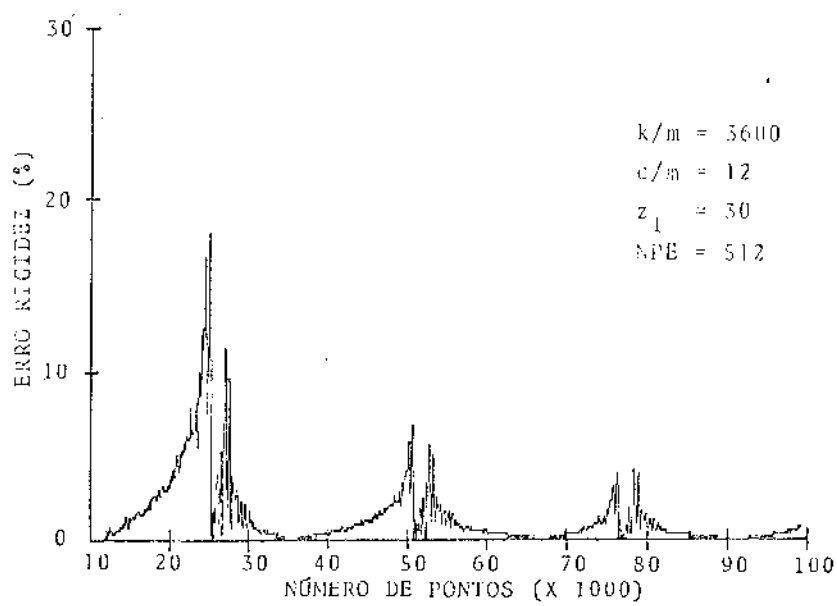


Figura 5.33 - Erro na identificação da rigidez do sistema mecânico . NPE = 512 , $T = 1 \times 10^{-4}$ s .

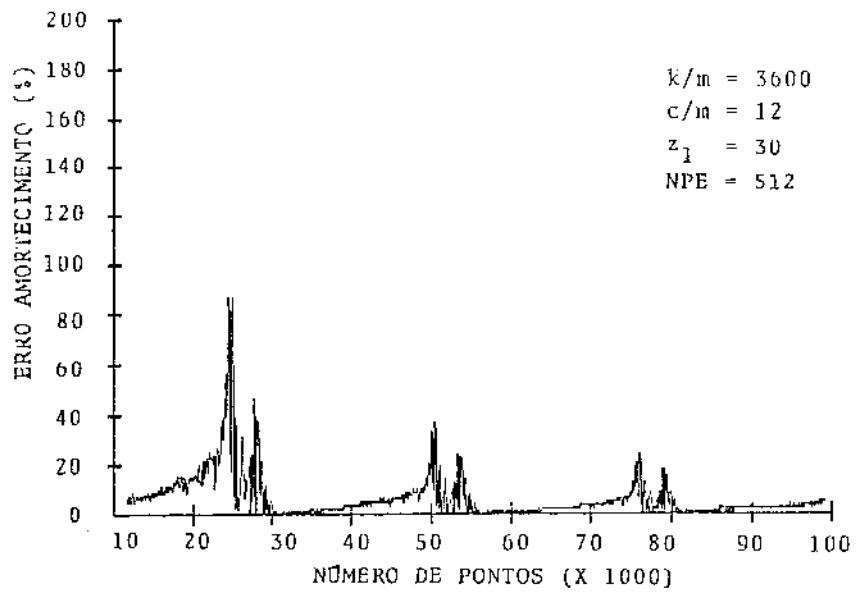


Figura 5.34 - Erro na identificação do amortecimento do sistema mecânico . NPE = 512 , $T = 1 \times 10^{-4}$ s .

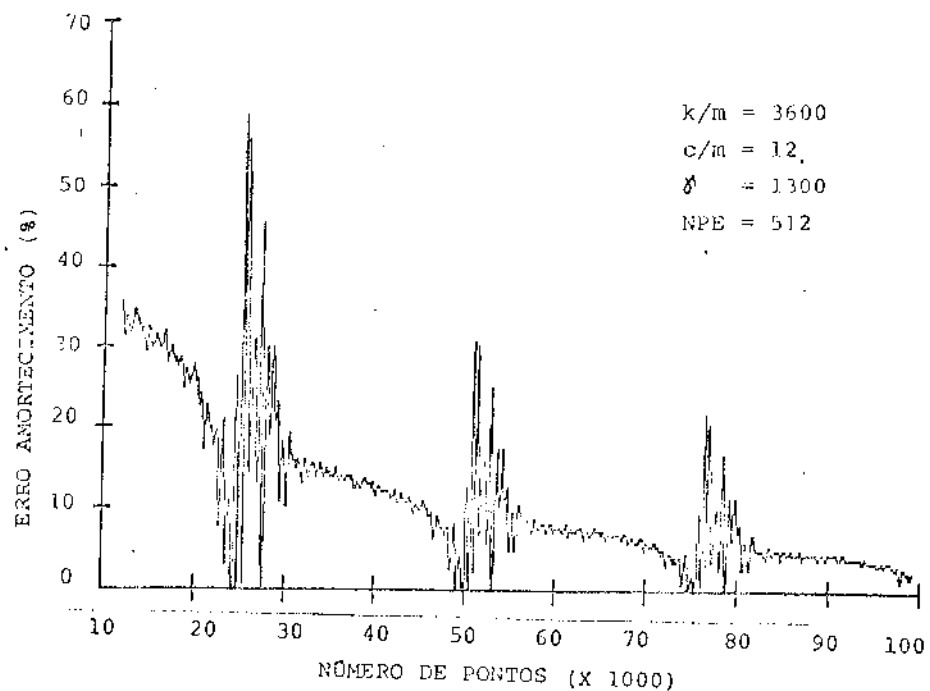


Figura 5.35 - Erro na identificação do amortecimento do sistema mecânico . $NPE = 512$, $T = 1 \times 10^{-4}$ s .

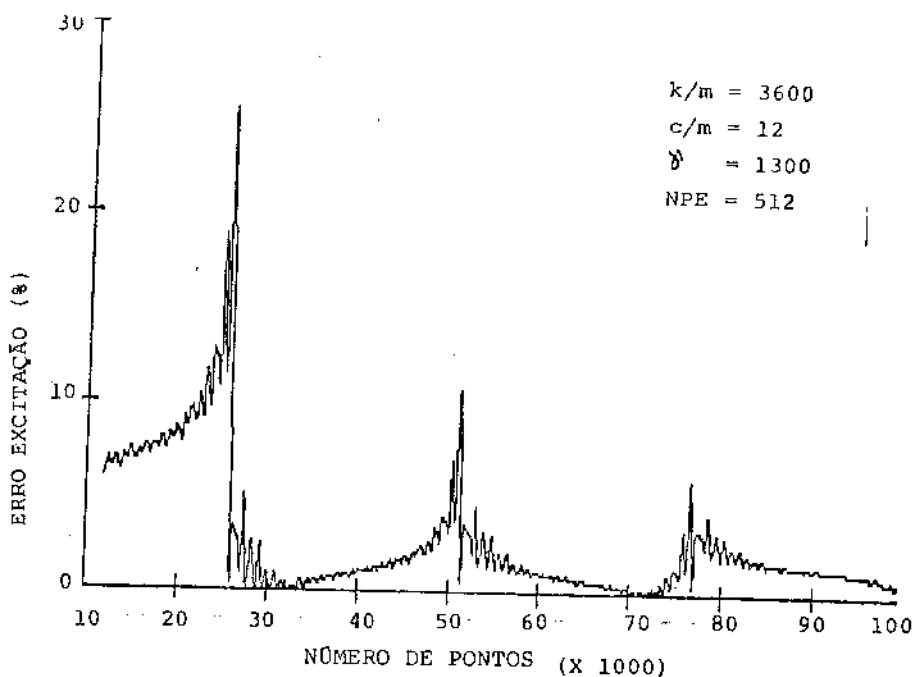


Figura 5.36 - Erro na identificação do parâmetro γ da excitação .
 $NPE = 512$, $T = 1 \times 10^{-4}$ s .

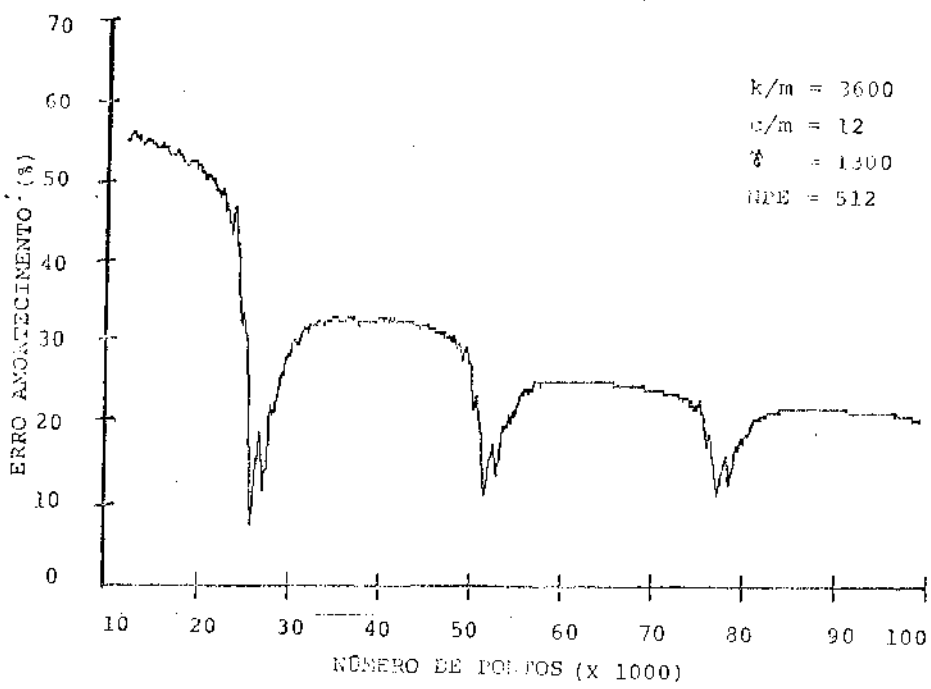


Figura 5.37 - Erro na identificação do amortecimento do sistema mecânico . NPE = 512 , $T = 1 \times 10^{-4}$ s .

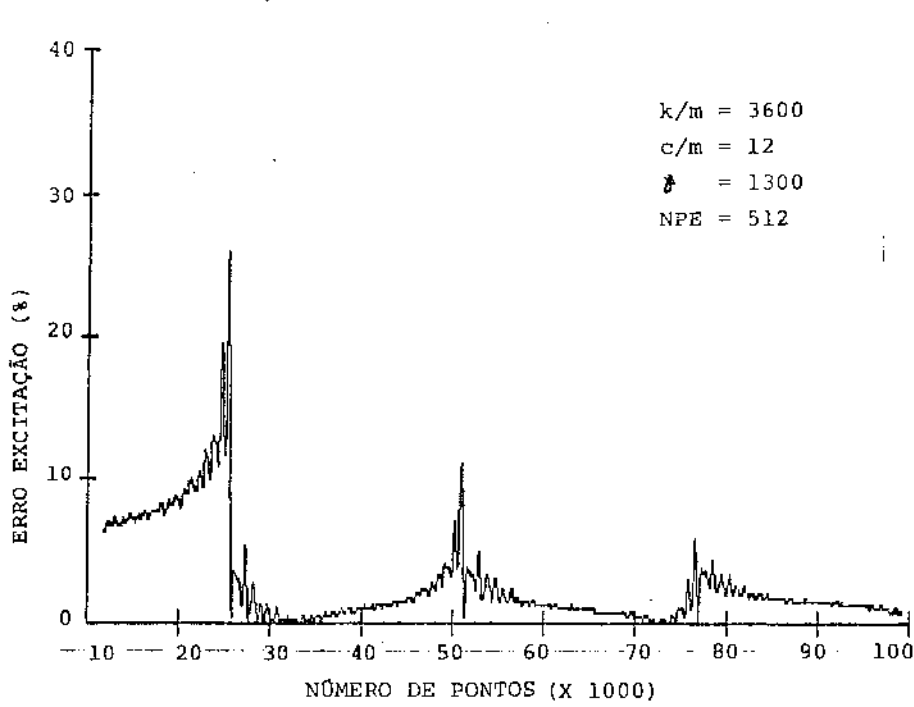


Figura 5.38 - Erro na identificação do parâmetro γ da excitação . NPE = 512 , $T = 1 \times 10^{-4}$ s .

por (5.5) , o filtro de segunda ordem (5.4) e o sistema (5.1) .

Neste caso também , os erros se encontram em níveis razoáveis .

Assim , considerando todas as imprecisões introduzidas pelos métodos numéricos utilizados , o IC apresentou bons resultados tanto na identificação dos parâmetros do sistema mecânico como na determinação das características da perturbação externa .

CAPÍTULO VI

DISCUSSÕES E CONCLUSÕES FINAIS

6.1. Introdução .

Os resultados da identificação dos parâmetros de sistemas mecânicos bem como das características da força de excitação já foram apresentadas no capítulo anterior e , como se pôde observar , em muitos casos , estes se encontram dentro de uma faixa de erro aceitável para grande parte das aplicações em engenharia .

A análise a ser feita neste capítulo , contudo , não será sobre os resultados provenientes da utilização do Método das Covariâncias , mas sim sobre o conjunto de procedimentos adotados , desde a entrada dos dados até a obtenção destes valores estimados , passando pelo gerador do sinal de excitação , integrador numérico e pela própria formulação do método de identificação , examinando as características particulares de cada algoritmo e as influências destas no conjunto como um todo e na aplicação presente . Baseado nesta análise , serão apresentados métodos alternativos a fim de eliminar , ou ao menos minimizar , os problemas encontrados em cada procedimento .

É importante deixar claro que todos os algoritmos utilizados já foram amplamente testados e , geralmente , apresentaram resultados muito bons . Portanto , o que se põe em discussão não é o mérito do algoritmo mas se o uso de determinado procedimento é adequado , ou não , para a aplicação em questão .

6.2. Análise Geral dos Métodos Numéricos .

Dentro do corpo do trabalho , principalmente da parte numérica , o método de solução de sistemas de equações diferenciais utilizado tem importância bastante grande , e sua escolha influenciou sobremaneira a adoção dos demais algoritmos . Essa opção foi feita porque se pretendia fazer uma formulação mais genérica da perturbação externa , a fim de descrever , o mais próximo possível , as características principais da força de excitação atuante em um sistema hidráulico real (figura 1.2) , o que poderia levar à necessidade de se ter que resolver um sistema diferencial não linear . Contudo , esta etapa não foi alcançada e acabou-se por trabalhar apenas com equações lineares , subutilizando assim todo o potencial do integrador .

A primeira conclusão que se tira deste estudo , e que é até certo ponto óbvio agora , é que não há a menor necessidade de se usar um integrador numérico tão robusto quando o sistema estudado é linear .

Uma sugestão imediata é a de se usar integradores como , por exemplo , o Runge-Kutta que , apesar de apresentarem problemas de instabilidade da solução quando se adota passos de integração inadequados , exigem muito menos esforço computacional (gastam muito menos tempo de processamento) .

Além dessa não necessidade clara da utilização de um algoritmo tão robusto para solução de sistemas de equações diferenciais lineares , este integrador ainda possui características que o fazem completamente inadequado à presente aplicação .

A primeira delas é o fato de que o passo de integração é variável ao longo do processo , selecionado segundo alguns critérios pré-definidos . Na verdade , há a possibilidade de se fixar este passo . Contudo , esta alternativa foi testada e , como consequência , obtever-se um tempo de processamento muito maior do que a versão original , o que é , até certo ponto , um resultado previsível . O programa , a cada chamada , ajusta dois parâmetros a fim de manter os erros da solução dentro dos limites previamente estipulados pelo usuário que são : o passo de integração e a ordem do polinômio interpolador . Ao se fixar o passo , se esse valor é pequeno , são necessárias mais chamadas para se obter a solução no instante desejado ; se o valor é grande , a ordem do polinômio tem que ser muito alta para poder limitar o erro . Além do mais , a combinação destes dois parâmetros deve ser otimizada pelo programa a fim de fornecer o menor erro no menor tempo de processamento possível .

São inúmeras as complicações , para a aplicação atual , provenientes do passo ser variável . Uma das consequências é a perda da informação de qual é a freqüência máxima do sinal de excitação do sistema simulado .

Considera-se , por exemplo , um sistema mecânico de N graus de liberdade , cuja freqüência de vibração de seu modo mais alto seja ω_N . Se se deseja identificar completamente as matrizes de rigidez e amortecimento desse sistema é preciso que a perturbação externa seja capaz de excitar todos os seus modos de vibrar , ou seja , que ela possua componentes de freqüência acima de ω_N , além de não ser aplicada em nenhum nó de qualquer um dos N modos próprios . Na verdade , devido ao amortecimento , a energia de determinado modo é distribuída em uma certa faixa de freqüência ,

o que implica na necessidade de que a excitação tenha uma freqüência máxima consideravelmente maior que ω_N . Em Weber/Schiehlen [32] é apresentada a influência da freqüência máxima da perturbação externa na identificação dos parâmetros de um sistema mecânico excitado por um ruído branco , usando-se o Método das Covariâncias . Este resultado é reproduzido na figura 6.1 .

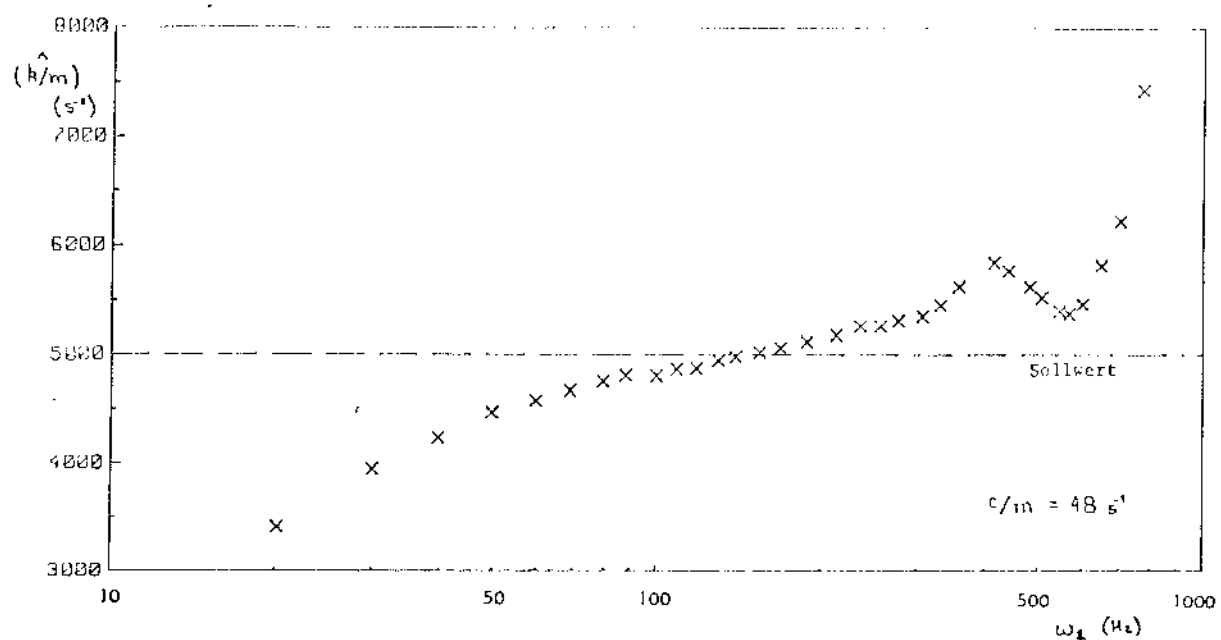


Figura 6.1 - Erro na identificação da rigidez do sistema mecânico em função da freqüência máxima da excitação (reproduzido de Weber/Schiehlen [32])

Sabe-se , pelo teorema da amostragem (Newland [18] , Rabiner [23]) , que esta freqüência máxima está relacionada com o intervalo de tempo com o qual se discretiza o sinal , através da expressão

$$F_{\text{MAX}} \leq \frac{1}{2 \Delta t} , \quad (6.1)$$

onde Δt , para o integrador , é o passo de integração . Com o

auxílio de (6.1) pode-se , dado F_{MAX} - em função do sistema em estudo - obter um limite superior para esse passo , assumindo que a faixa de frequência da perturbação externa seja pelo menos maior que ω_N ou algum outro valor que se ache adequado .

Uma outra consequência indireta do fato do passo de integração não ser constante é a necessidade de se interpolar pontos , através de "splines" cúbicas , entre aqueles originalmente obtidos com o auxílio do gerador do sinal de excitação . É importante observar que , mesmo tendo uma expressão analítica da perturbação externa , não é possível gerar os valores conforme o integrador necessita pois é preciso saber , a priori , o número de componentes em frequência e , consequentemente , o número de pontos que terá , em cada período , o sinal no tempo .

Nas figuras 6.2 e 6.3 são apresentados o sinal gerado pelo algoritmo descrito por Schroeder , em [28] , e aquele formado pela interpolação de três pontos entre cada dois da sequência anterior . Percebe-se , claramente , que o sinal interpolado é mais "suave" que o original . Nas figuras 6.4 a 6.6 e 6.7 a 6.9 são mostradas as transformadas de Fourier e as funções de auto-correlação do sinal original (gerado com 64 pontos e intervalo de discretização de 0.005 segundos) e das sequências obtidas por interpolação de 1 e 3 pontos entre cada dois sinal padrão .

Percebe-se (figuras 6.4 e 6.6) que há uma atenuação no espectro do sinal nas freqüências mais altas . E isto pode ser facilmente explicado . Como se pode notar na figura 6.2 , o sinal de excitação utilizado atua , como já foi dito anteriormente , como uma "varredura aleatória" , onde sua freqüência varia com o tempo , de zero até a freqüência máxima e tornando a voltar a zero

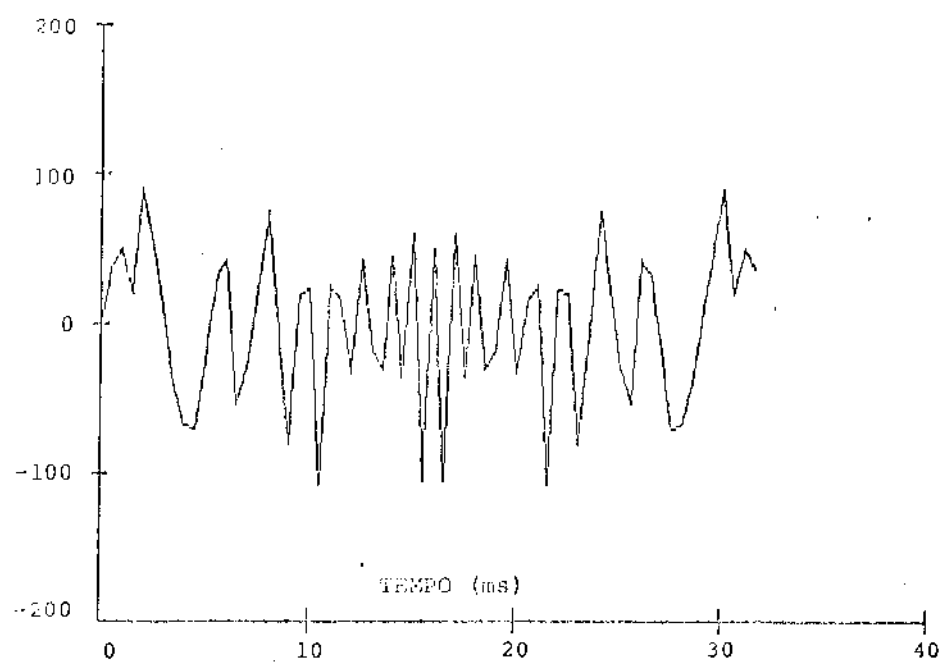


Figura 6.2 - Sinal gerado pelo algoritmo de Schroeder . NPE = 64 ,
 $T = 5 \times 10^{-3}$ s .

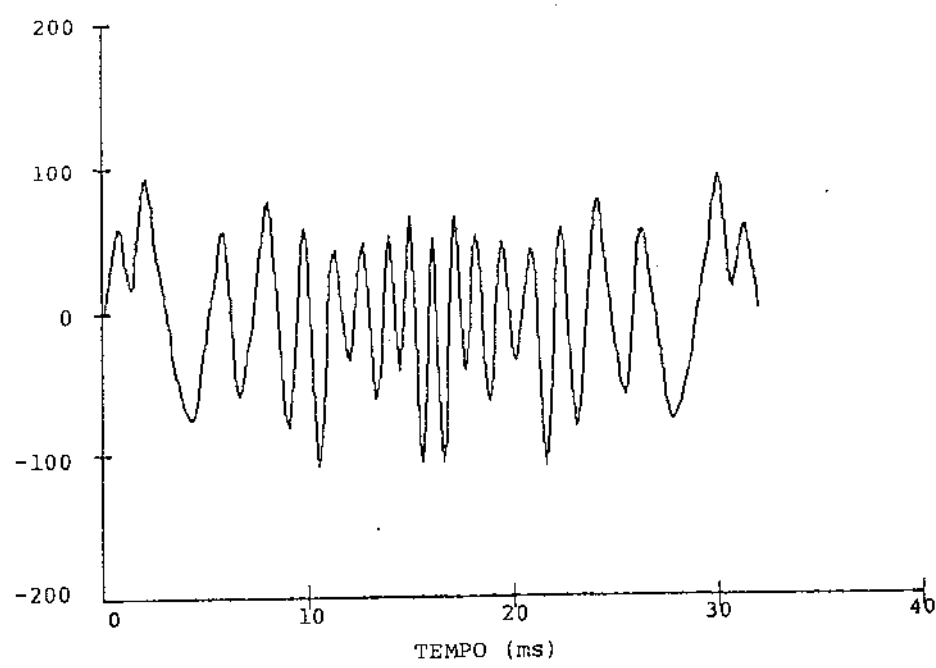


Figura 6.3 - Sinal obtido por interpolação de 3 pontos (NI) entre cada dois do sinal de Schroeder . NPE = 64 , $T = 5 \times 10^{-3}$ s .

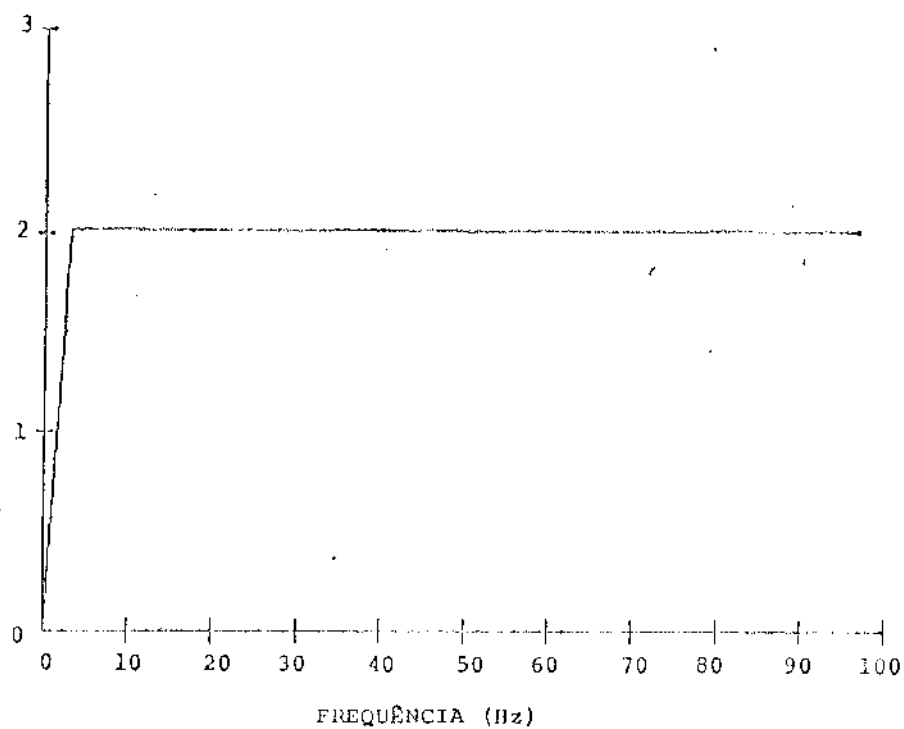


Figura 6.4 - Transformada de Fourier do sinal de Schroeder
 $NPE = 64$, $T = 5 \times 10^{-3}$ s .

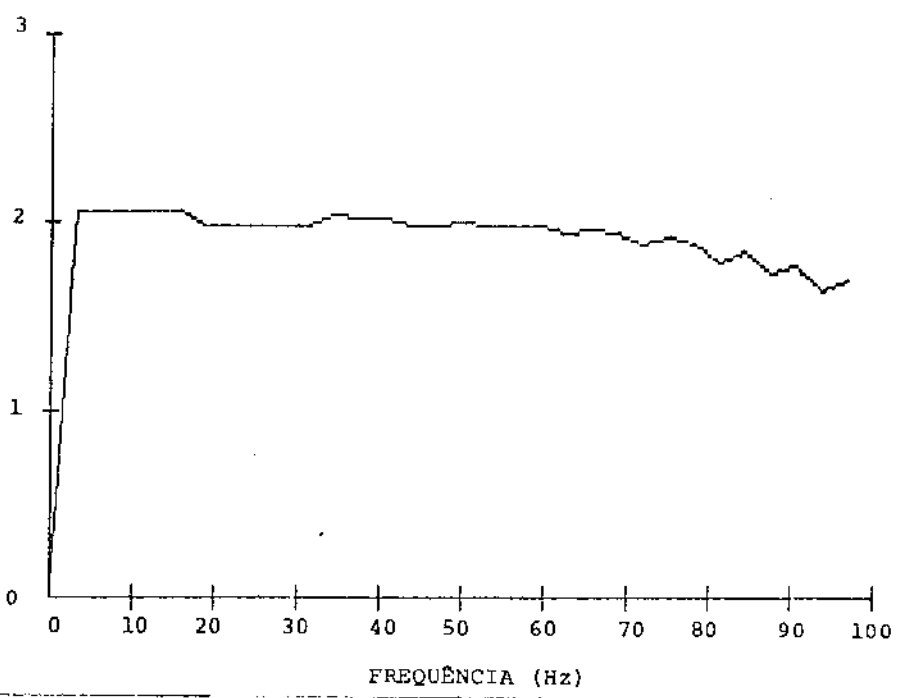


Figura 6.5 - Transformada de Fourier da sequência interpolada
 $NI = 1$, $NPE = 64$, $T = 5 \times 10^{-3}$ s .

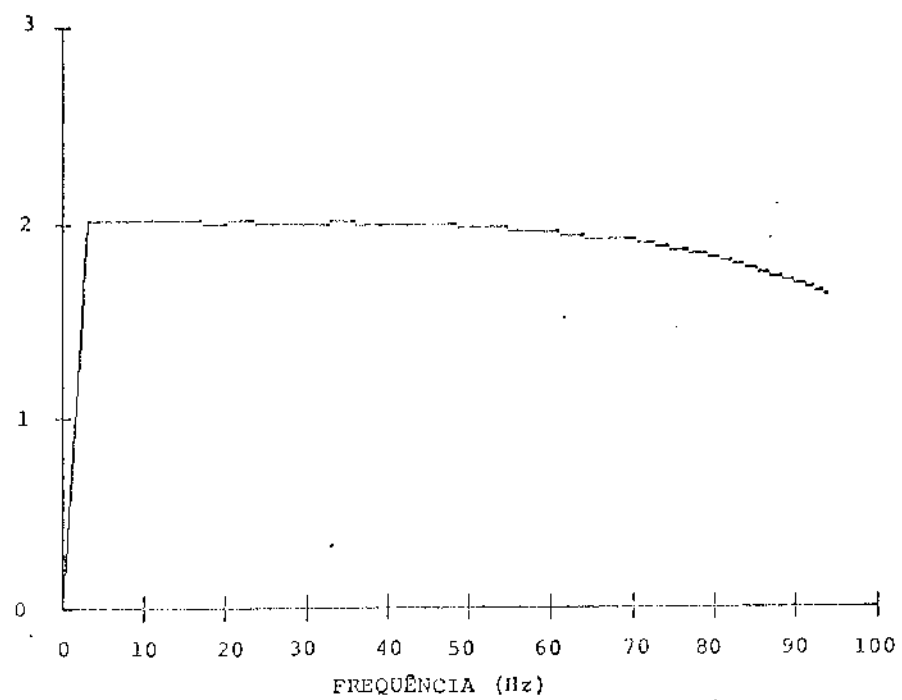


Figura 6.6 - Transformada de Fourier da sequência interpolada
 $N_1 = 3$, $NPE = 64$, $T = 5 \times 10^{-3}$ s .

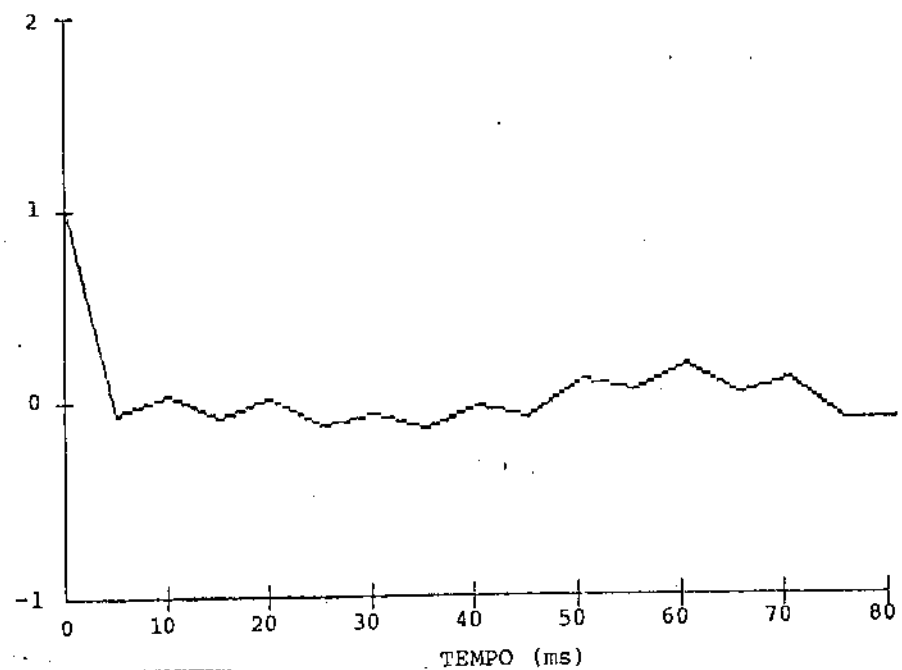


Figura 6.7 - Função de auto-correlação do sinal de Schroeder
 $NPE = 64$, $T = 5 \times 10^{-3}$ s .

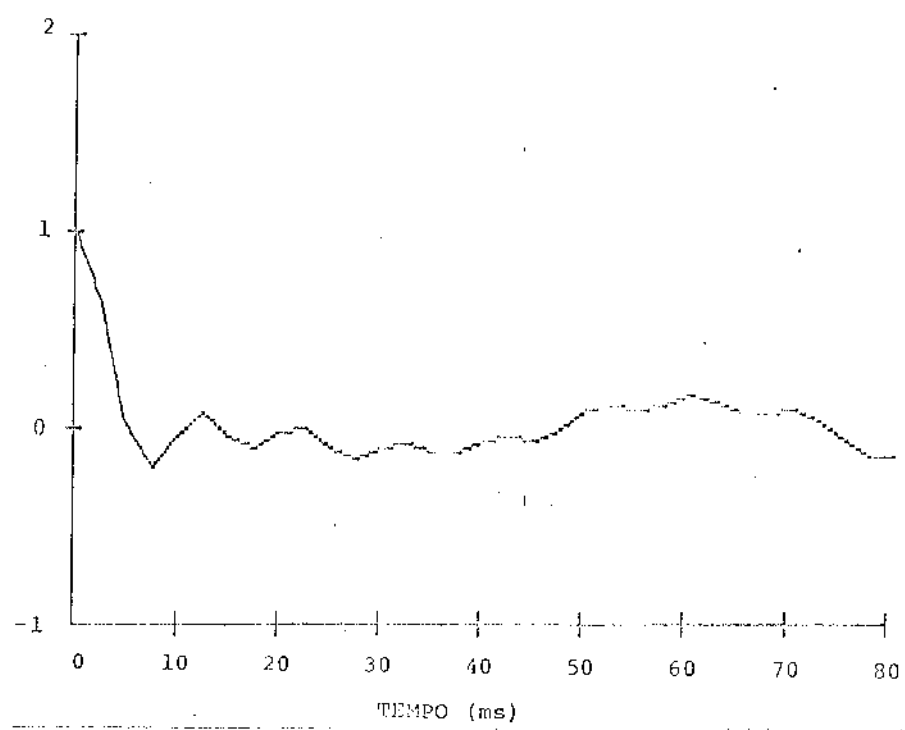


Figura 6.8 - Função de auto-correlação da sequência interpolada
 $NI = 1$, $NPE = 64$, $T = 5 \times 10^{-3}$ s .

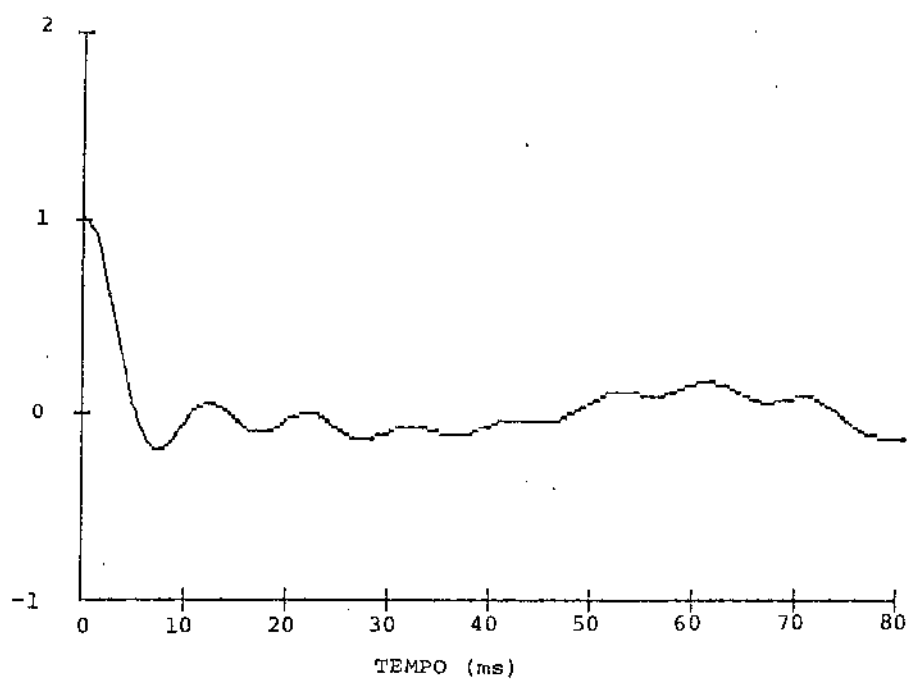


Figura 6.9 - Função de auto-correlação da sequência interpolada
 $NI = 3$, $NPE = 64$, $T = 5 \times 10^{-3}$ s .

em um período fundamental T_E . Assim, cada componente do espectro de potência fica caracterizada no sinal no tempo. Quando é feita uma interpolação por "splines" cúbicas nesta seqüência de valores, dependendo do número de pontos interpolados e do intervalo de discretização do sinal original, o seu perfil no tempo é bem acompanhado em baixas freqüências mas, em altas freqüências, o processo de interpolação tende a suavizar a curva e, consequentemente, provocar uma diminuição na potência relativa destas componentes de freqüências.

A fim de eliminar os problemas advindos da interpolação da excitação, tentou-se trocar o algoritmo de geração da perturbação externa. Esta nova rotina gera uma seqüência aleatória, gaussiana e com média zero. É importante observar, que com essa substituição, seriam excluídos os sub-programas de interpolação por "splines" e de resolução de sistemas algébricos lineares. As figuras 6.10 e 6.12 apresentam, respectivamente, o novo sinal de excitação proposto e sua função de auto-correlação.

O resultado dessa troca, contudo, foi um aumento considerável no tempo de processamento gasto pelo integrador. Como já foi dito, para que os erros da solução estejam dentro de limites previamente estipulados, o integrador varia constantemente o tamanho do passo e a ordem do polinômio interpolador. No início, o passo de integração é escolhido como sendo quatro vezes o erro de truncamento unitário (que é da ordem de 10^{-14} , para o computador utilizado, trabalhando-se com precisão extendida) e, a medida que o sistema evolui, se a solução é suave e contínua, o passo é aumentado constantemente. Este é o caso da configuração original. Contudo, se o sistema tem uma resposta aleatória e com componentes de freqüência

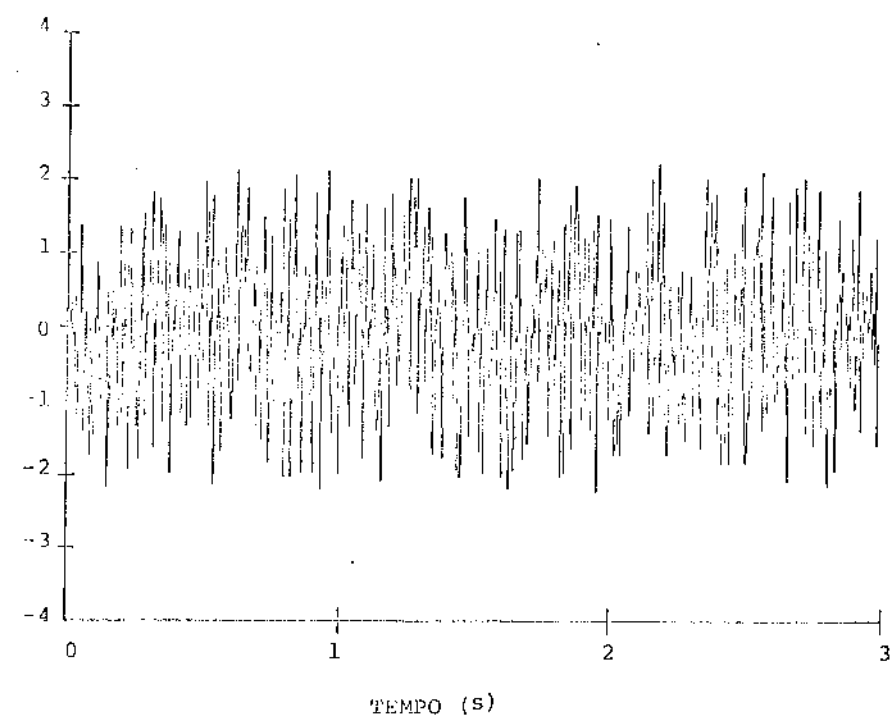


Figura 6.10 - Sinal aleatório no tempo .

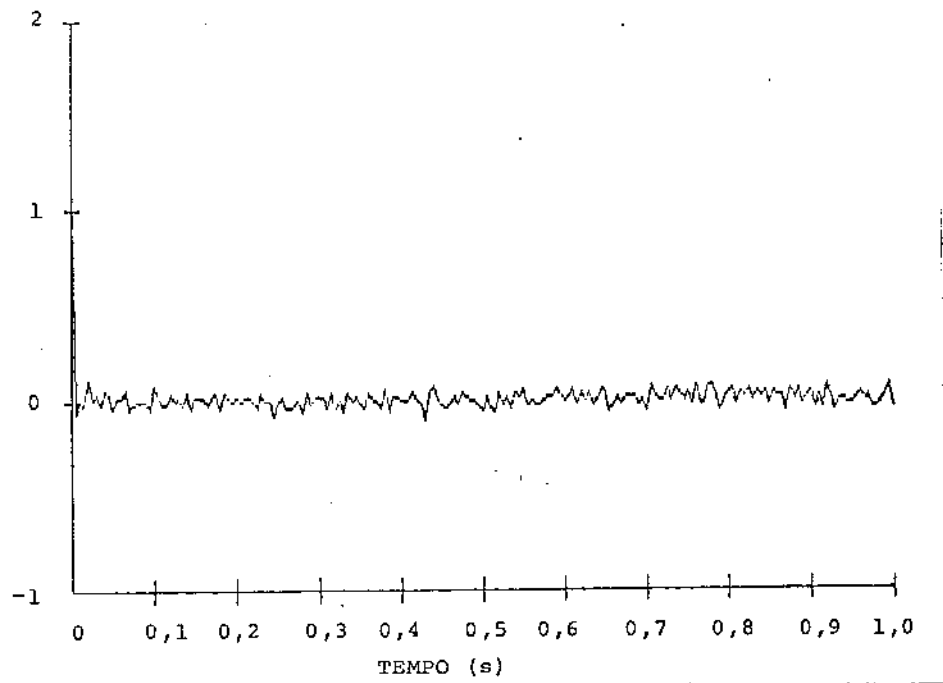


Figura 6.11 - Função de auto-correlação do novo sinal de excitação .

razoavelmente altas , além da ordem do polinômio interpolador ser elevada , o passo de integração também deve ser muito pequeno , para conseguir limitar o erro . Este é o caso da configuração atual proposta . Essa combinação de fatores faz , obviamente , com que o tempo de processamento gasto pelo integrador cresça sensivelmente .

Como se pode perceber , a escolha deste método de integração numérica limitou muito as opções disponíveis no que diz respeito à excitação do sistema simulado . Acredita-se que , em se tratando de sistemas lineares , a utilização deste ou de qualquer outro integrador não seja uma boa opção . O que se propõe é trabalhar com equações a diferenças ao invés das equações diferenciais .

Como foi mostrado no capítulo II , há uma relação entre a matriz A do sistema contínuo no tempo e a matriz G do caso discreto , que é dada por

$$\underline{G} = e^{\underline{A}T}, \quad (6.2)$$

onde T é o intervalo de discretização . Para fins de controle , normalmente , o que interessa é a própria matriz G . Neste caso , a consideração feita anteriormente de se aproximar a exponencial da matriz A , em (6.2) , pelos dois primeiros termos da série infinita de potência , não é necessária nem aconselhável pois , como é apresentado em Moler/VanLoan [14] , existem diversos métodos computacionais para se obter , com a precisão desejada , os termos da matriz G . Na aplicação presente , contudo , uma vez utilizado o método de identificação de parâmetros para o caso discreto (equação 2.28) e obtida a matriz G é preciso conseguir recuperar a matriz A do sistema contínuo no tempo .

Na verdade , mesmo para o caso discreto , utilizando um

sistema de equações a diferenças , pode-se identificar diretamente a matriz \underline{A} usando a equação matricial de Ljapunov (3.7) para o caso contínuo , onde a matriz de covariância \underline{P} é avaliada por um estimador discreto como o apresentado em (3.8) .

Para testar a validade da proposta da utilização das equações a diferenças ao invés das equações diferenciais , foram rodados alguns exemplos simples . Nas figuras 6.12 a 6.15 são apresentados os erros na identificação da rigidez e do amortecimento de um sistema de um grau de liberdade , excitado por um ruído branco e acoplado a um filtro linear de primeira ordem . Para se obter as equações discretas foi adotada , por simplicidade , a aproximação da exponencial da matriz \underline{A} como sendo os dois primeiros termos da série infinita de potências , resultando em um sistema do tipo

$$\underline{x}(k+1) = \left[1 + \underline{A} T \right] \underline{x}(k) + T \underline{b} u(k) , \quad (6.3)$$

onde $u(k)$ é o sinal apresentado na figura 6.11 .

Comparando as figuras 6.13 com 6.15 e 6.14 com 6.16 nota-se que a identificação da rigidez e , principalmente , do amortecimento é grandemente influenciada pelo intervalo de discretização adotado mas que , assumindo-se um valor adequado de T , os resultados finais são bastante bons . A utilização dos métodos computacionais apresentados em Moler/VanLoan [14] reduzem consideravelmente esta influência .

Uma característica importante das equações a diferenças é que o algoritmo recursivo utilizado exige muito pouco esforço computacional e , logo , o tempo de processamento gasto é bem reduzido .

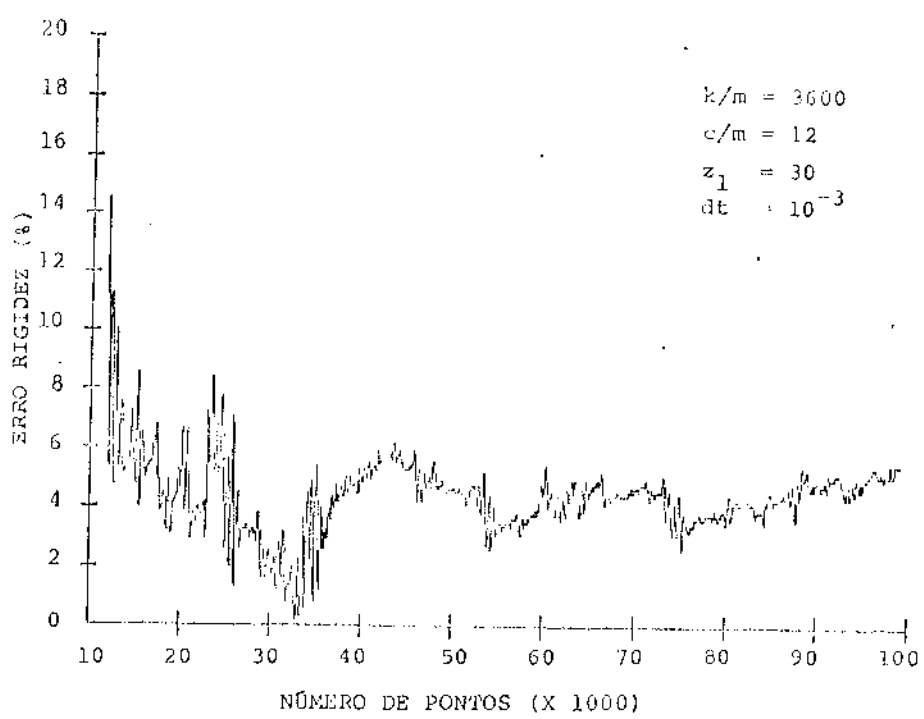


Figura 6.12 - Erro na identificação da rigidez do sistema mecânico de referência . $T = 1 \times 10^{-3}$ s .

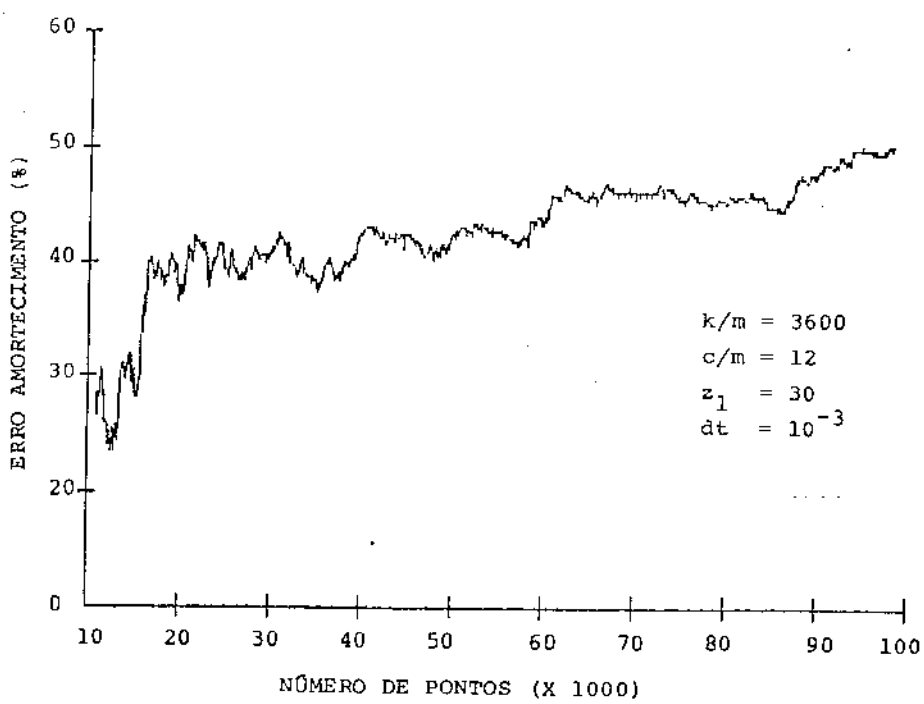


Figura 6.13 - Erro na identificação do amortecimento do sistema mecânico de referência . $T = 1 \times 10^{-3}$ s .

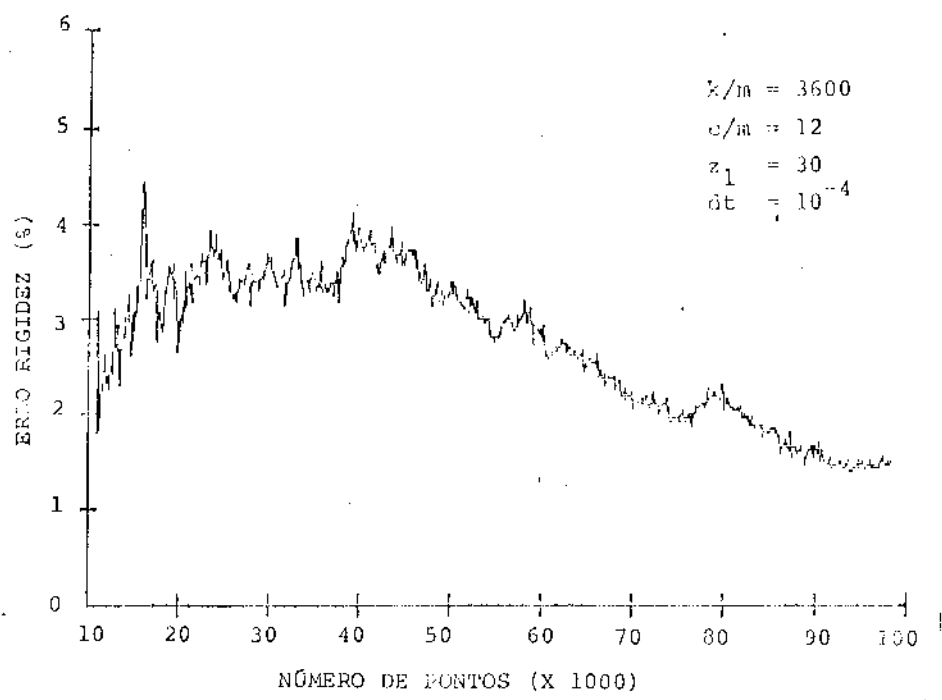


Figura 6.14 - Erro na identificação da rigidez do sistema mecânico de referência . $T = 1 \times 10^{-4} \text{ s}$.

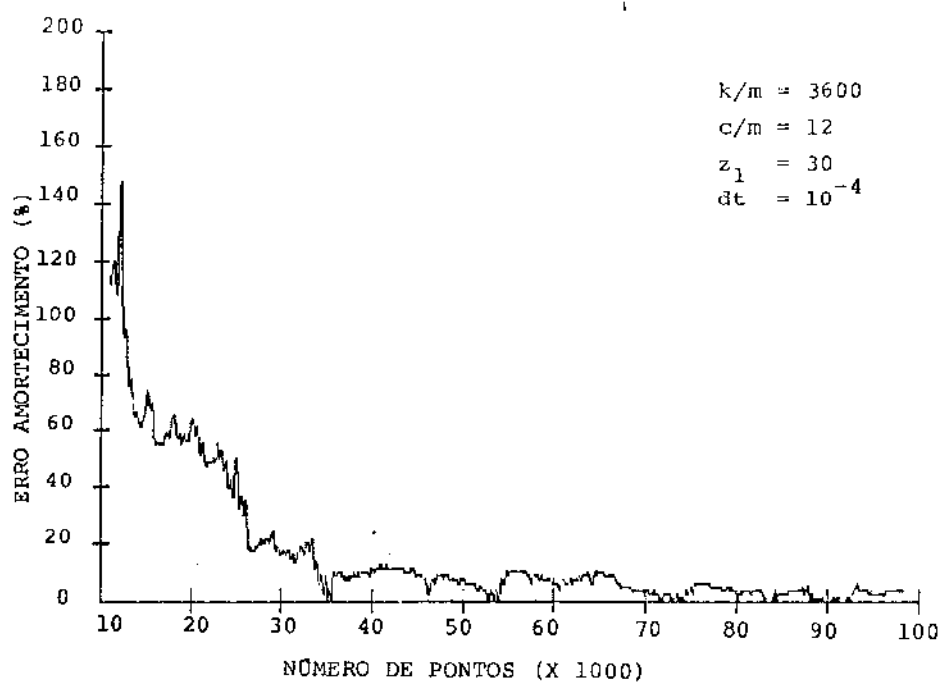


Figura 6.15 - Erro na identificação do amortecimento do sistema mecânico de referência . $T = 1 \times 10^{-4} \text{ s}$.

Uma alternativa para a geração do ruído colorido , de modo que seu espectro de potência se aproxime daquele apresentado na figura 1.2 , é assumir um modelo auto-regressivo com média móvel (ARMA) , com a entrada sendo o processo da figura 6.11 . A determinação da ordem do modelo da perturbação externa pode ser feita através de inúmeros métodos , como comentado em Natke [17] .

Depois de discutidos , superficialmente , os problemas encontrados na utilização do método PECE de integração numérica e de apresentar algumas sugestões para sanar estas dificuldades , passa-se à uma rápida análise da formulação do método de identificação de parâmetros por Médias Quadráticas .

6.3. O Método das Covariâncias .

Como já foi visto , existem casos em que o número de equações provenientes da aplicação da equação matricial de Ljapunov não é suficiente para identificar todos os elementos das matrizes de amortecimento e rigidez . Nestas situações , utilizando-se o Método das Covariâncias , torna-se necessário usar filtros lineares na saída do sistema a fim de conseguir um número considerável de novos estados e , consequentemente , as equações adicionais desejadas . Dependendo do grau de indeterminação do problema , são necessários vários filtros de primeira ordem , como propõe Wedig [35] , ou apenas um de ordem elevada . Matematicamente , ambos podem fornecer o número de equações desejado . Contudo , o problema é saber qual das duas situações fornece os melhores resultados da estimação dos parâmetros e , uma vez feita a escolha , quais os coeficientes dos (ou do) filtros

mais adequados para a aplicação em questão.

É mais ou menos intuitivo ver que o filtro deve satisfazer algumas condições tais como : ser controlável , assintoticamente estável (ver Pederiva [21]) e possuir uma frequência de corte (ω_1) tal que ele não retire do sinal de entrada todas as características do sistema em estudo . Contudo , este conhecimento ainda é insuficiente para tornar prático o método de identificação por médias quadráticas no que diz respeito à escolha dos filtros . Devido a sua importância , seria preciso fazer um estudo detalhado da influência das características do filtro sobre os resultados finais dos parâmetros identificados , dos tipos (primeira , segunda ordens ou ainda superiores) mais adequados para uma dada aplicação , a fim de estabelecer critérios para a sua escolha , o que faria o Método das Covariâncias mais aplicável a sistemas reais . Um estudo bem primário foi apresentado à FAPESP como parte de um trabalho de iniciação científica , do qual alguns resultados podem ser encontrados em Dias/Weber [04] . Em Weber/Schiehlen [32] foram estudados alguns pontos neste sentido .

Uma outra alternativa é reformular o método de modo a evitar a necessidade da utilização dos filtros . El-Sherief [05] , por exemplo , usa uma técnica de identificação chamada Método das Correlações . Uma comparação suscinta entre este e o Método das Covariâncias é apresentada em Roether/Pederiva [24] . A partir da função de auto-correlação $R_{xx}(\tau) = E(x(t)x^T(t+\tau))$, com $\tau \geq 0$, obtém-se , para sistemas dinâmicos lineares e invariantes no tempo , uma equação matricial similar àquela apresentada no capítulo III , que pode ser escrita da seguinte forma :

$$\underline{A} R_{xx}(\tau) + R_{xx}(\tau) \underline{A}^T = \underline{B} \underline{Q} \underline{B}^T e^{-\underline{A}\tau} \underline{o} \quad , \quad (6.4)$$

onde \underline{A} é a matriz do sistema contínuo no tempo , \underline{B} é a matriz de entrada ou de distribuição , \underline{Q} é a matriz de intensidade do ruído branco usado como excitação e T_o é o intervalo de discretização . Para sistemas discretos , $\tau = k T_o$. Observa-se que , para $\tau_o = 0$, a matriz de auto-correlação torna-se uma matriz de covariância e (6.4) passa a ser a mesma equação de Ljapunov obtida em (3.7) . Percebe-se também que , para cada valor de τ , existe uma expressão do tipo de (6.4) ; logo , sempre é possível obter o número de equações necessário para estimar os valores da matriz \underline{A} somente variando o intervalo de tempo para o cálculo das correlações .

Uma outra vantagem do Método das Correlações sobre o das Covariâncias , e que é uma característica muito importante em uma técnica de identificação , é o fato de o estimador do NC ser bastante polarizado . Esta situação é ilustrada em Roether/ Pederiva [24] onde se apresenta , para um sistema mecânico de dois graus de liberdade , os resultados da identificação das rigidez e dos amortecimentos , quando um ruído de 1% é adicionado nas medidas .

6.4. Conclusões Finais .

Apesar de todas as dificuldades ortundas da utilização dos procedimentos aqui apresentados , ainda assim , e talvez por isso mesmo , foi possível tirar bastantes informações dos resultados obtidos e levantar algumas dúvidas que , através de estudos futuros , possam vir a ser esclarecidas .

Na verdade , o estudo das características de um processo , sob certos aspectos , desconhecido , como é o Método das

Covariâncias , torna-se muito difícil quando tanto os métodos numéricos são envolvidos , já que as imprecisões introduzidas por cada um deles se somam às do próprio processo , distorcendo as informações necessárias para uma análise realista do método em si . Este foi o motivo pelo qual se abandonou , por enquanto , a idéia de se utilizar o algoritmo para solução de sistemas de equações lineares desenvolvido .

REFERÉNCIAS BIBLIOGRÁFICAS

- [01] - Chen , C. T. : Introduction to Linear System Theory . Holt , Rinehart and Winston , Inc. , 1970 .
- [02] - Dahlquist , G. ; Bjorck , A. : Numerical Methods . Prentice-Hall , 1974 .
- [03] - D'azzo , J. J. ; Houpis , C. H. : Análise e Projeto de Sistemas de Controle Lineares . Guanabara Dois , 1978 .
- [04] - Dias Jr. , M. ; Weber , H. I. : Estimação de Parâmetros de Sistemas Mecânicos através da Equação de Ljapunov . VI Seminário Adunesp-Guaratinguetá , 1985 .
- [05] - El-Sherieff , H. : Multivariable System Structure and Parameter Identification Using the Correlation Method . Automática vol. 17 , nº 3 , p. 541 - 544 , 1981 .
- [06] - Eykhoff , P. : System Identification - Parameter and State Estimation . John Wiley and & Sons , 1974 .
- [07] - Goodwin , G. C. ; Payne , R. L. : Dynamic System Identification - experiment design and data analysis . Academic Press , 1977 .
- [08] - Isermann , R. : Prozeßidentifikation . Springer-Verlag 1981 .
- [09] - Jenkins , G. M. ; Watts , D. G. : Spectral Analysis and its Applications . Holden-Day , 1968 .
- [10] - Kallenbach , R. : Parameteridentifizierung Stochastischer Schwingungssysteme . Diplomarbeit , Universität Stuttgart , 1983 .
- [11] - Kozin , F. ; Kozin , C. H. : A Moment Technique for

- System Parameter Identification . Shock and Vibration Bulletin , n° 8 , p 113-131 , 1968 .
- [12] - Kozin , F. : Some Statistical Methods of Structural Identification and Parameter Estimation . CISM Lectures Notes , 1982 .
- [13] - Luenberger , D. G. : Introduction to Dynamic System Theory , models , and applications . John Wiley & Sons , 1979 .
- [14] - Moler , C. ; VanLoan , C. : Nineteen Dubious Ways to Compute the Exponential of a Matrix . SIAM , vol. 20 , n° 4 , 1978 .
- [15] - Müller , P. C. : Stabilität und Matrizen . Springer-Verlag , 1977 .
- [16] - Müller , P. C. ; Schichlén , W. O. : Lineare Schwingungen . Akademische Verlagsgesellschaft , 1976 .
- [17] - Natke , H. G. (Editor) : Identification of Vibrating Structures . Springer-Verlag , 1982 .
- [18] - Newland , D. E. : An Introduction to Random Vibration and Spectral Analysis . Longman Group Limited , 1984 .
- [19] - Ogata , K. : Modern Control Engineering . Prentice-Hall , Inc. .
- [20] - Parks , P. C. ; Hahn , V. : Stabilitätstheorie . Springer-Verlag , 1981 .
- [21] - Pederiva , R. : Identifikation Stochastischer Erregter Mechanischer Systeme Mittels Messung von Lagegrößen . ZAMM , vol. 67 , n° 4 , 1987 .
- [22] - Prenter , P. M. : Splines and Variational Methods . John Wiley & Sons , 1975 .
- [23] - Rabiner , L. R. ; Gold , B. : Theory and Application of

- Digital Signal Processing . Prentice-Hall , 1978 .
- [24] - Roether , F. ; Peteriva , R. : Identifikation Mechanischer Systeme Mittels Korrelationsanalyse . ZAMM , vol. 66 , n° 4 , 1986 .
- [25] - Rouche , N. ; Habets , P. ; Laloy , M. : Stability Theory by Ljapunov's Direct Method . Springer-Verlag , 1977 .
- [26] - Sacty , T. L. : Nonlinear Mathematics . McGraw-Hill Book Company , Inc. , 1964 .
- [27] - Schiehlen , W. O. ; Kallenbach , R. : Modeling and Identification of Multibody Systems . Interdynamics 85 , Frankfurt ODER , GDR , 1985 .
- [28] - Schroeder , M. R. : Synthesis of Low-Peak-Factor Signals and Binary Sequences with Low Autocorrelation . IEEE Transactions on Information Theory , p. 85 - 89 , 1979 .
- [29] - Schwirzer , T. : Dynamic Stressing of Hydroelectric Units by Stochastic Hydraulic Forces on the Turbine Runner . Water Power vol. 29 , n° 1 , p. 39 - 44 , 1977 .
- [30] - Shampine , L. F. ; Gordon , M. K. : Computer Solution of Ordinary Differential Equations - the initial value problem . W. H. Freeman and Company , 1975 .
- [31] - Wacker , H. : Continuation Methods . Academic Press , 1978 .
- [32] - Weber , H. I. ; Schiehlen , W. O. : Parameter-identifizierung mit Quadratischen Mittelwerten . Institutsbericht IB-5 , Institut B für Mechanik , Universität Stuttgart , 1982 .
- [33] - Weber , H. I. ; Schiehlen , W. O. : A Filter Technique for Parameter Identification . Mechanics Research Communications , vol. 1 , p. 259-265 , 1983 .

- [34] - Wedig , W. : Stochastic Identification of Stiffness and Damping Matrices . CISM Lectures Notes , 1982 .
- [35] Wedig , W. : Fast Algorithms in the Parameter Identification of Dynamic Systems .
- [36] - Whitlake , J. R. : A Handbook of Numerical Matrix Inversion and Solutions of Linear Equations . John Wiley & Sons , Inc. , 1968 .
- [37] - Wolfe , M. A. : Numerical Methods for Unconstrained Optimization . Von Nostrand Reinhold Company , 1978 .

APENDICE

\$DEBUG

PROGRAM IPFSM

```
C ****
C Bloco de definicao e dimensionamento das variaveis.
C   f -- subrotina externa contendo as equacoes a serem
C integradas;
C   PRA(*) -- parametros do sistema mecanico, filtro e execu-
C tacao;
C   ISIS -- parametro que indica qual o sistema estudado,
C sistemas lineares );
C   FFR(*) ,WX(*),WY(*) -- vetores auxiliares para o cálculo
C da Transformada de Fourier Rapida;
C   FR(*) -- vetor contendo o sinal de excitação gerado,
C   FDP(*) -- vetor derivada de FR());
C   DT -- intervalo de discretização do sinal de excitação;
C   NPGE,FRMAX e AMPL -- numero de pontos gerados, frequencia
C maxima e amplitude do sinal de excitação;
C   FFR(*) -- Transformação de Fourier do sinal de excitação,
C   AUCG(*) -- vetor contendo os valores da função de auto-
C correção do sinal de excitação;
C   XSP(*) -- vetor contendo os coeficientes das splines,
C RELEIR e ABSERR -- erros relativo e absoluto do processo
C de integração;
C   NT -- numero de pontos na saída do integrador,
C   T -- instante para inicio da integração;
C   Y(*) -- vetor com os sinais integrados;
C   IDI -- intervalo de discretização das componentes de
C Y(*);
C   COVAL(*) -- vetor com os elementos da matriz de covari-
C ca;
C   FNAME -- nome dos arquivos usados para leitura e grava-
C ca dos dados;
C   RESULT(*) -- matriz contendo os resultados da identifi-
C ca;
C   CAO, SIGNAL(*) -- matriz contendo os sinais de deslocamento e
C velocidade ( e o ruído colocado no sistema;
C   ERRO(*) -- matriz dos erros do processo de identificação.
```

```
IMPLICIT DOUBLE PRECISION (A-H,O-Z)
EXTERNAL F
INTEGER INOUT,I,SING
DIMENSION FFR(151),WX(256),WY(256)
COMMON /SISTEMAS/FR(151)
COMMON /PARAD/SIR(15)
COMMON /ENRP/FR(512),FRP(512)
COMMON /ALG/IST
COMMON /RNSF/FR(512)
COMMON /SINEX/NAGE,FMAX,AMPL
COMMON /AUTOC/AUCD(129),
COMMON /NEANN/NEON
```

```

GO TO 110
ENDIF
137 IRE = 0
WRITE(ICRT,140)
140 FORMAT(//,6X,'DESEJA GRAVAR ESTES VALORES ? ( SIM = 0 OU '
1 , RET ),'')
READ(0, '(I2)',ERR=137)IRE
IF(IRE .EQ. 0) THEN
CALL CALFESC(FNAME,NV,ICRT)
ENDIF

C ****
C Bloco de geracao do sinal de excitacao.
145 FORMAT(//,2X,'DADOS PARA GERAR O SINAL DE EXCITACAO : //')
147 IDEG = 0
150 FORMAT(6X,'DESEJA USAR SINAL JA GERADO ? ( SIM = 0 OU '
1 'RET ),'')
READ(0, '(I2)',ERR=147)IDGE
IF(IDGE -EQ- 0) THEN
WRITE(ICRT,155)
FORMAT(//,6X,'DADOS CORRESPONDENTES AO SINAL '
1 'ARMazenado : ')
CALL CALLER(FNAME,NSE,ICRT)
CALL LER(FNAME,NSE,3)
WRITE(ICRT,160)
FORMAT(//,6X,'SINAL DE EXCITACAO : ')
CALL CALLER(FNAME,NPGE,ICRT)
CALL LER(FNAME,NPGE,2)
GO TO 210
ENDIF
162 OPCAO = 0
WRITE(ICRT,85)
READ(0, '(I2)',ERR=162)OPCAO
IF(OPCAO .EQ. 0) THEN
CALL CALLER(FNAME,NSE,ICRT)
CALL LER(FNAME,NSE,3)
ELSE
163 WRITE(ICRT,145)
FORMAT(//,4X,'1-NUMERO DE PONTOS A GERAR = ', '')
165 READ(0, '(I1)',ERR=163)NPGE
WRITE(ICRT,170)
FORMAT(//,4X,'2-FREQUENCIA MAXIMA DO SINAL GERADO (em'
1 , Hz) = ', '')
167 READ(0, '(F15.5)',ERR=167)FMAX
WRITE(ICRT,175)
FORMAT(//,4X,'3-AMPLITUDE DA EXCITACAO = ', '')
172 READ(0, '(F15.5)',ERR=172)AMPL
173 FORMAT(//,4X,'4-NOME DO ARQUIVO DE SAIDA = ', '')
GO TO 190
ENDIF
180 WRITE(ICRT,115)

185 WRITE(ICRT,185)NPGE,FMAX,AMPL
1 , '3-AMPL = ',F11.5,'.9X,
190 WRITE(ICRT,130)
READ(0, '(I2)',ERR=190)IUM
IF(IUM .NE. 0) THEN
WRITE(LAST,195)
FORMAT(//,6X,'VALOR = ', '')
195 REND(0, '(I2)',ERR=192)I
WRITE(ICRT,200)
FORMAT(//,6X,'NOVO VALOR = ', '')
200 IF(IUM .EQ. 1) THEN
READ(0, '(I1)',ERR=207)NPGE
ELSEIF(IUM .EQ. 2) THEN
READ(0, '(F15.5)',ERR=197)FMAX
E-SE
READ(0, '(I1)',ERR=197)AMPL
ENDIF
204 TO TC 180
ENDIF
202 IRE = 0
WRITE(ICRT,140)
READ(0, '(I2)',ERR=202)IRE
IF(IRE .EQ. 0) THEN
CALL CALCSIGNAME(NV,ICRT)
CALL ESCRVER(FNAME,S,S,NV)
ENDIF
NF = NPGE/2
WRT = FMAX/OPCAO,F
DT = 1./((2.*PI*MAX))
CALL PSEUDO(NPGE,wG,DT,AMPL,FR,FRP,NF)
203 TGR = 0
WRT(TICKT,205)
1 /2 DO KET ),'')
READ(0, '(I2)',ERR=203)IRE
IF(IRE .EQ. 0) THEN
CALL CALCSIGNAME(NV,ICRT)
CALL ESCRVER(FNAME,NPGE,2,NV)
ENDIF
210 IF(EDGE .EQ. 0) THEN
DT = 1./((2.*FMAX))
NF = NPGE/2
LG = FMAX*DBLE(NF)
ENDIF
212 NFAC = 0
WRT(TICKT,215)
2 , 'CORRELACAO ,/,6X,'DESEJA CALCULAR A MEDIA E A FUNCAO DE AUTO-'
1 , 'CORRELACAO ,/,6X,'DO SINAL GERADO ( SIM = 0 OU RET ) ? '
2 , ' ')
READ(0, '(I2)',ERR=212)MFAC
IF(MFAC .EQ. 0) THEN
NG = NPGE*4+1
CALL MEDCOP(FR,NPGE,N,NVG01,ANED1)

```

```

COMMON /AUXG2/WO
COMMON /SPLIN/XSP(5),ININ2,RHX,INOUT,NOSING
COMMON /P INTE/REERR,ABSERR,NT,T0,Y(10),TDI,NRC,NPD
COMMON /IDENT/C0VA10,10)
COMMON /RESULT/RESULT(4,4000)
COMMON /SINEL/SINAL(3,2500)
COMMON /ERRID/ERRO(2,4000)
CHARACTER 64 FNAME
INTEGER OPCAO

C ****
C DATA IMPR/16/,ICRT=0/
C ITOD = 0
C WRITE(ICRT,1)
C   FORMAT(//,2X,'DESEJA QUE TODO O PROGRAMA SEJA IMPRESSO ? '
C 1  ('( NAO = 0 OU RET )',\)
C   READ(0,(12),ITOD
C   OPCAO = 0
C   WRITE(ICRT,5)
C     FORMAT(//,2X,'DESEJA QUE OS RESULTADOS APARECAM NO VIDEO? ')
C   WRITE(ICRT,10)
C   FORMAT(2X,(0 OU RET ) GU NA IMPRESSORA ( 1 ) ? ',\)
C   READ(0,(12))OPCAO
C   IF(OPCAO .EQ. 1) THEN
C     OPEN(16,FILE='PT1')
C   ELSE
C     IMPR = 0
C   ENDIF
C   IF(ITOD .NE. 0) ICRT=16
C   WRITE(ICRT,15)
C     FORMAT(//,15X,' IDENTIFICACAO DAS CARACTERISTICAS DE '
C 1  ' FORCAS ')
C   WRITE(ICRT,20)
C     FORMAT(20X,' APLICADAS EM SISTEMAS MECANICOS.'//)
C ****
C Bloco de opcoes existentes e entrada de parametros do sistema mecanico, filtro e excitacao.
C ****
C WRITE(ICRT,25)
C   FORMAT(6X,'OPCOES JA IMPLEMENTADAS :',//)
C   WRITE(ICRT,30)
C     FORMAT(4X,'SISTEMA DINAMICO',4X,'FILTR POSTERIOR',7X,'EXC'
C 1  'ITACAO',/)
C   WRITE(ICRT,35)
C     FORMAT(4X,'N.G.L.',',4X,',ORDEM',6X,'TIP'
C 1  '0(ORDEN)',/)
C   WRITE(ICRT,40)
C     FORMAT(4X,1.',7X,'UM',17X,'UM',16X,'BRANCO',/)
C   WRITE(ICRT,45)
C     FORMAT(4X,2.',7X,'UM',17X,'UM',13X,'COLORIDO(UK)',/)
C   WRITE(ICRT,55)
C     FORMAT(4X,3.',7X,'UM',16X,'DOIS',15X,'BRANCO',/)

      WRITE(ICRT,60)
      FORMAT(IX,4.,7X,'UM',16X,'DOIS',12X,'COLORIDO(UK)',/)
      WRITE(ICRT,65)
      FORMAT(IX,5.,7X,'UM',16X,'DOIS',11X,'COLORIDO(DGIS)',/)
      65 FORMATT(IX,5.,7X,'UM',16X,'DOIS',11X,'COLORIDO(DGIS)',//)
      67 IISIS = 0
      WRITE(ICRT,70)
      FORMAT(//,6X,'QUAL A OPCAO ESCOLHIDA - 1,2,3,4,5,0 (OUTRA)'
      70 1 ,\)
      READ(0,(12),ERR=67)ISIS
      IF(ISIS .EQ. 0) THEN
        WRITE(ICRT,75)
        FORMAT(//,4X,'NG CASO DE ESCOLHA DE OUTRA OPCAO, DUE'
        75 1 ' SE ESSDRUER, COPIAR E ANEXAR A BIBLIOTECA 'A SOLUO'
        2 ' TINA CORRESPONDENTE POSSIVEL, COLOCA-LA NA LISTA'
        3 ' DE OPCOES NO PROGRAMA IPFSH...O PROCESSAMENTO E INTER'
        4 ' ROMPIDO PARA QUE AS ALTERACOES SEJAM FEITAS...',//)
        STOP
      ENDIF
      WRITE(ICRT,50)
      FORMAT(//,6X,'ENTRADA DOS PARAMETROS : ',\)
      60 1 0
      READ(0,(12),ERR=61)
      WRITE(ICRT,85)
      85 1 0
      FORMAT(//,6X,'DESEJA ENTRAR ( 1 ) OU LER ( 0 OU RET ) US '
      1  ? ',\)
      CADUS = 1
      REACAO = 0
      IF(OPCAO .EQ. 0) THEN
        CALL COLLER(FNAME,NVA,ICRT)
        CALL LER(FNAME,NVA,1)
      ELSE
        WRITE(ICRT,90)
        FORMAT(//,6X,'QUANTOS VALORES DEVERM SER LIDOS ? ',\)
        82 1 0
        READ(0,(12),ERR=82)NUVA
        WRITE(ICRT,95)
        95 1 0
        FORMAT(//,6X,'INTRODUZA-OS UM A UM : ',\)
        DO 109 I=1,NUVA
        WRITE(ICRT,105)
        105 1 0
        READ(0,(F15.5),ERR=97)PAR(I)
        CONTINUE
        FORMAT(9X,'PARC',13,',') = ',\)
      ENDIF
      ICRT=ICRT+1
      110 WRITE(ICRT,115)
      115 FORMAT(//,6X,'VALORES CORRENTES : ',//)
      DO 120 I=1,NUVA
      120 WRITE(ICRT,125),PAR(I)
      125 FORMAT(9X,'PARC',13,',') = ',F15.5
      127 INV = 0
      WRITE(ICRT,130)
      130 FORMAT(//,6X,'DESEJA ALTERAR ALGUM VALOR ? ( NAO = 0 OU '
      1  ? ',\)
      READ(0,(12),ERR=127)INV
      IF(INV .NE. 0) THEN
        WRITE(ICRT,135)
        135 1 0
        FORMAT(//,6X,'ENTRE COM O ELEMENTO E SEU NOVO VALOR... '
        1  ? ,\)
        READ(0,(12,F15.5),ERR=132)I,PARI

```

```

        WRITE(ICRT,220)AMEDI
        FORMAT('/,6X,'MEDIA DO SINAL = ',IPE15.5)
220      NGAC = 0
        WRITE(ICRT,225)
225      1   FORMAT('/,6X,'DESEJA GRAVAR A FUNCAO DE AUTO-CORRELACAO '
          ,  

          , ' SIM = 0 OU RET ') 1\n)
          READ(0,(I2),ERR=222)NGAC
          IF(NGAC .EQ. 0) THEN
            CALL CALES(FNAME,NV,ICRT)
            CALL ESCRVER(FNAME,NF,7,NV)
          ENDIF
227      IFF = 0
          WRITE(ICRT,230)
230      1   FORMAT('/,6X,'DESEJA FAZER A FFT DO SINAL DE EXCITACAO '
          ,  

          , ' SIM = 0 OU RET ') 1\n)
          READ(0,(I2),ERR=227)IFF
          IF(IFFF .EQ. 0) THEN
232      WRITE(ICRT,235)
235      1   FORMAT('/,6X,'QUAL A POTENCIA, NA BASE 2, DO NUMERO '
          ,  

          , ' DE PONTOS GERADOS ? ',1\n)
          READ(0,(I2),ERR=232)IPOT
          CALL FFT(FR,FFRI,WX,WY,NPGE,NF,IPOT)
237      JGF = 0
          WRITE(ICRT,240)
240      1   FORMAT('/,6X,'DESEJA GRAVAR A TRANSFORMADA DA EXCITACAO '
          ,  

          , ' SIM = 0 OU RET ') 1\n)
          READ(0,(I2),ERR=137)JGF
          IF(JGF .EQ. 0) THEN
            DO 245 I=1,NF
              FFR(I) = DSGT(OPCA(I)*2+FFRI(I)**2)*DT
              CALL CALES(FNAME,NV,ICRT)
              CALL ESCRVER(FNAME,NF,5,NV)
            ENDIF
          ENDIF
249      *****
C ***** Bloco de integracao.
250      WRITE(*,255)
255      FORMAT('/,2X,'ENTRADA DE DADOS PARA A INTEGRACAO : ')
257      OPCAO = 0
          WRITE(ICRT,85)
          READ(0,(I2),ERR=257)OPCAO
          IF(OPCAO .EQ. 0) THEN
            CALL CALLER(FNAME,NI,ICRT)
            CALL LER(FNAME,NI,4)
            GO TO 295
          ENDIF
258      WRITE(ICRT,260)
260      FORMAT('/,4X,'NUMERO DE EQUACOES A SEREM INTEGRADAS = ',1\n)
261      READ(0,(I2),ERR=258)NEQN
          WRITE(ICRT,265)
265      FORMAT('/,4X,'INSTANTE PARA INICIO DA INTEGRACAO = ',1\n)
          READ(0,(IPE15.5),ERR=262)T0
267      WRITE(ICRT,270)
270      FORMAT('/,6X,'TOLERANCIA DO ERRO RELATIVO = ',1\n)
          READ(0,(IPE15.5),ERR=267)RELERR
272      WRITE(ICRT,275)
275      FORMAT('/,6X,'TOLERANCIA DO ERRO ABSOLUTO = ',1\n)
          READ(0,(IPE15.5),ERR=272)ABSERR
277      WRITE(ICRT,280)
280      FORMAT('/,4X,'NUMERO DE PONTOS DE SAIDA DO INTEGRADOR = '
          ,  

          , ' 1\n')
          READ(0,(I5),ERR=277)NT
282      WRITE(ICRT,285)
285      FORMAT('/,4X,'INSTANTE PARA FIM DA INTEGRACAO = ',1\n)
          READ(0,(IPE15.5),ERR=282)T1
287      WRITE(ICRT,290)
290      FORMAT('/,4X,'INTERVALO DE DISCRETIZACAO DOS SINAIS '
          ,  

          , ' 1 INTEGRADOS = ',1\n)
          READ(0,(IPE15.5),ERR=287)TDI
291      NRC = 5
292      WRITE(ICRT,292)
292      FORMAT('/,4X,'NUMERO DE PONTOS ENTRE CALCULOS DOS PARA '
          ,  

          , ' 1 'MELOS IDENTIFICADOS ( ) 5 ') 1\n)
          READ(0,(I2),ERR=291)NRC
293      WRITE(ICRT,294)
294      FORMAT('/,4X,'NUMERO DE PONTOS DO VETOR DE DESLOCAMENTO '
          ,  

          , ' 1 (' 2500 ) = ',1\n)
          READ(0,(I4),ERR=293)NPD
295      WRITE(ICRT,115)
295      FORMAT('/,300)REGRA RELER, ABERR, NT, T0, TDI, NRC, NPD
300      1 / 9X, 3-ABERR = ,IPE15.5, / 9X, 4-NT = ,IPE15.5,
          2 / 9X, 5-TD = ,IPE15.5, / 9X, 6-TDI = ,IPE15.5,
          3 9X, 7-NRC = ,IPE15.5, / 9X, B-NPD = ,I8,/
302      TAS = 0
          WRITE(ICRT,130)
          READ(0,(I2),ERR=302)IAS
          IF(IAS .NE. 0) THEN
303      WRITE(ICRT,195)
            READ(0,(I2),ERR=303)J
304      WRITE(ICRT,200)
            IF(J = 1) READ(0,(IPE15.5),ERR=304)NEQN
            IF(J = 2) READ(0,(IPE15.5),ERR=304)ABSERR
            IF(J = 3) READ(0,(IPE15.5),ERR=304)T0
            IF(J = 4) READ(0,(IPE15.5),ERR=304)NT
            IF(J = 5) READ(0,(IPE15.5),ERR=304)TDI
            IF(J = 6) READ(0,(IPE15.5),ERR=304)NRC
            IF(J = 7) READ(0,(I2),ERR=304)NPD
            GO TO 295
            EXIT
295      ZENOPCAO(EQ,2) GO TO 325
305      WRITE(ICRT,305)
          FORMAT('/,2X,'CONDICOES INICIAIS : ')
          DO 307 I=1,NEQN
            WRITE(ICRT,315)
307      READ(0,(IPE15.5),ERR=307)Y(I)
310      READ(0,(IPE15.5),ERR=307)Y(I)

```

```

315 FORMAT(9X,'Y('',I2,'') = ',\n)
320 IAS = 0
321 WRITE(ICRT,130)
322 READ(0,((12),ERR=320))IAS
323 IF(IAS .EQ. 0) GO TO 340
324 WRITE(ICRT,135)
325 READ(0,((I2,F15.5)',ERR=327))I,Y(I)
326 DO 330 I=1,NEQN
327 WRITE(ICRT,305)
328 FORMAT(9X,Y('',I2,',') = ',F10.5)
329 GO TO 320
330 YGIN = 0
331 WRITE(ICRT,140)
332 READ(0,((12)',ERR=340))IGIN
333 IF(IGIN .EQ. 0) THEN
334   NVA = 8+NEQN
335   CALL CALESCFNAME,NV,ICRT
336   CALL ESCRVER(FNAME,NVA,4,NV)
337 ENDIF
338 NOSING = 1
339 INOUT = 1
340 T = T0
341 IMIN2 = 0
342 DO 345 NI=1,NEQN
343 COVANI(NJ) = 0.0
344 NJ=NI
345 IFLAG = 1
346 TOUT = 0.0
347 LINF = 1
348 LSUP = NT-LINF,LSUP
349 DO 360 I=LINF,LSUP
350 PRT = DBLE(I)/50
351 IF(IODINT(PRT) .EQ. PRT) WRITE(ICRT,365)
352 TOUT = TOUT+TDI
353 CALL DEF(NEQ,N,Y,T,TOUT,RELERR,ABSERR,IFLAG)
354 IF(IFLAG .EQ. 6) STOP'ERRO NAS ENTRADAS...'
355 DRC = DBLE(I)/DBLE(NRC)
356 CALL SISTOP(Y,DRC,NPD)
357 CONTINUE
358 FORMAT(//,6X,'PONTO No.',I6,/)
359 NLSU = LSUP/NRC
360 CALL IMPRES(LSUP,IMPR,NLSU)
361 ICONT = 0
362 WRITE(ICRT,370)
363 FORMAT(//,6X,'DESEJA CONTINUAR A INTEGRACAO ( SIM = 0 '
364   , 0U RET ) ? ',\n)
365 READ(0,((12)',ERR=367))ICONT
366 IF(ICONT .EQ. 0) THEN
367   LINF = LSUP+1
368   WRITE(ICRT,375)LSUP
369   FORMAT(//,6X,'ULTIMO PONTO INTEGRADO = ',I5)
370   WRITE(ICRT,380)
371   FORMAT(//,6X,'ATE QUE PONTO DESEJA QUE PROSSIGA A '

```

\$DEBUG

S U B R O T I N A D E

SUBROUTINE DE(F,NEQN,Y,T,TOUT,RELERR,ABSEERR,IFLAG)

A subrotina DE resolve sistemas de equações diferenciais lineares de primeira ordem com até 20 equações do tipo $y'(t) = f(t,y(t),y(2),\dots,y(n))$.

A subrotina Integra de T ate TOUT. Retornando o subprograma para o comando (comando call) poder-se continuar a integração a partir do limite superior anteriormente escolhido, sonente inicializando-se a lista de parâmetros. O usuário tem apenas que definir um novo valor para TOUT e chamar DE novamente.

DE chama dois subprogramas: o integrador STEP e a rotina de Interpolacao INTRP. STEP usa as equações de Adams-Basforth (*predictor*) e de Adams-Moulton (*corrector*) na forma modificada das diferenças divididas. Ele próprio ajusta a ordem do polinomio interpolador e o tamanho do passo de integração para controlar o erro. Normalmente, cada chamada do subprograma STEP avança um passo na direção de TOUT. Por razões de eficiencia, DE integra, alem de TOUT, internamente, porém nunca, além de $T + \Delta t(TOUT-T)$, e chama a subrotina INTRP para obter a solução em TOUT.

Os parâmetros de DE são:

F -- subrotina F(t,y,yp) para avaliar as derivadas $y'(t) = dy(t)/dt$,
yp(i)=dy(i)/dt;
NEQN -- numero de equações a serem integradas;
Y(*) -- vetor solução em t;
T -- ponto final do intervalo de integração;

RELERR,ABSEERR -- tolerancias relativa e absoluta para teste de erros locais. LE, ABS(Y)*RELERR + ABSEERR, para cada componente do erro local é vetor solução;

IFLAG -- indica o estado da integração.

Primeira chamada de DE:

O usuário deve dimensionar, dentro do programa principal, a matriz Y(NEQN), declarar F em comando "EXTERNAL", criar a subrotina F(T,Y,YP) para avaliar $dy(i)/dt = f(t,y(i),y(2),\dots,y(n))$ e inicializar os parâmetros NEQN, Y(*), T, TOUT, RELERR, ABSEERR e IFLAG.

OBS.: O usuário deve fazer IFLAG = -1 somente se for impossível continuar a integração alem de TOUT (a função não é definida ou existe uma descontinuidade); caso contrario deve-se fazer IFLAG = 1 (operação normal).

Todos os parâmetros - exceto F,NEQN e TOUT - devem ser atributes pelo programa e, por isso, devem ser variáveis no programa principal).

C Saída de DE:

NEQN -- inalterado;
Y(*) -- solução em T;
T -- ultimo ponto alcançado na integração ; se o retorno for normal entao T = TOUT;
TOUT -- inalterado;
RELERR,ABSEERR -- retorno normal tem tolerancias inalteradas;
das.IFLAG = 3 aumenta tolerancias;
IFLAG = 2 -- retorno normal; integração alcança TOUT porque a tolerancia de erro é, muito pequena • RELERR e ABSEERR aumentados apropriadamente para cont. num.
= 3 -- integração não alcança TOUT porque são precisos mais parcos do que MAXNUM
= 4 -- integração não alcança TOUT porque os valores de entrada são negativos quando os valores de saída rigidas
= 5 -- integração não alcança TOUT porque as equações de saída deparam-se com entradas de parâmetros inválidas (erro fatal);
os valores de IFLAS retornam negativos quando os valores de entrada são negativos e a integração não alcança TOUT, i.e., IFLAG = -3, -4, -5.
Subsequentes chamadas de DE:
A subrotina DE retorna com todos os valores necessários para continuar a integração. Se está alcançou TOUT, o usuário deve apenas definir um novo valor para TOUT e chamar o programador novamente. Se a integração não alcançou TOUT e o usuário deseja fazê-lo, ele precisa solicitar a rotina. O valor final de IFLAG é o valor apropriado para entrada na chamada seguinte. A única situação em que o seu valor deve ser alterado é quando se deseja parar a integração internamente num novo TOUT. Isto é, muda-se a saída IFLAG = 2 para a entrada IFLAG = -2. A condição de erro deve ser alterada pelo usuário antes de continuar. Todos os outros parâmetros devem permanecer inalterados.

IMPLICIT DOUBLE PRECISION (A-H,O-Z)
LOGICAL START,CRASH,STAFF
DIMENSION Y(NEQN),PS(12)
DIMENSION YY(20),WT(20),PHI(20,15),P(20),YP(20),YDOUT(20)
EXTERNAL F

A unica constante que depende da máquina usada é o erro de roundoff lontanito. Ele é, o menor número positivo tal que $C 1.0 + U.CT = 1.0$. Ele deve ser calculado e FOURU = $4 * U$ insuficiente em um comando DATA antes de se usar DE. As variáveis CTWOU ($= 2 * U$) e FOURU devem também ser inseridas na subrotina STEP antes de se chamar DE-A subrotina MACHIN calcula U.

DATA FOURU /4.0E-7/
A constante MAXNUM é o maximo numero de passos permitidos em cada chamada de DE-O usuário pode trocar este limite alterando o comando abaixo:
DATA MAXNUM /500/
Esta versão da rotina DE resolive sistemas de ate 20 equações.

C Para alterar este valor deve-se substituir todos os numeros 20,
C no programa,pelo numero desejado.

CALL MACHIN(U)
FOURU = 4.0*U

C Teste para parametros impróprios

```
IF(NEQN .LT. 1 .OR. NEQN .GT. 20) GOTO 10
IF(T .EQ. TOUT) GOTO 10
IF(CRELERR LT. 0.0 .OR. ABSERR .LT. 0.0) GOTO 10
EPS = DMAX1(CRELERR,ABSERR)
IF(EPS .LE. 0.0) GOTO 10
IF(IFLAG .EQ. 0) GOTO 10
ISN = ISNONL(IFLAG)
IFLAG = IABS(IFLAG)
IF(IFLAG .EQ. 1) GOTO 20
IF(T .NE. TOLD) GOTO 10
IF(T .NE. TOLD) GOTO 2 .AND. IFLAG .LE. 5) GOTO 20
IF(IFLAG .GE. 2 .AND. IFLAG .LE. 5) GOTO 20
IFLAG = 6
RETURN
```

C A cada chamada de DE deve-se ajustar o intervalo de integração
C e ao contador do numero de passos. Deve-se ajustar os valores
C de entrada das tolerancias dos erros para definir o vetor de
C ponderacao da subrotina STEP.

```
20 DEL = TOUT - T
ABSDEL = DABS(DEL)
TEND = T + 10.0*DEL
NSTEP = 0
KLEA = 0
STIFF = .FALSE.
RELEPS = RELERR/EPS
ASSEPS = ABSERR/EPS
IF(IFLAG .EQ. 1) GOTO 30
IF(IFLAG .LT. 0) GOTO 30
IF(DEL>=DEL .GT. 0.0) GOTO 50
```

C No começo e recomendo, deve-se ajustar as variáveis X e YY(*),
C guardar a direcao de integracao e inicializar o passo.

```
30 START = .TRUE.
X = T
DO 40 L = 1,NEQN
40 YY(L) = Y(L)
UM = 1.
DELGN = DSIGN(UM,DEL)
H = DSIGN(QMAX1(DABS(TOUT-X)),FOURUDABS(X)),TOUT-X)
```

C Se ja passou do ponto de saida, interpola e retorna.
50 IF(DABS(X-T) .LT. ABSDEL) GOTO 60
CALL INTRP(X,YY,TOUT,Y,YPOL,NEQN,KOLD,PHI,PSI)

```
"IFLAG = 2
T = TOUT
TOLD = T
ISNOLD = ISN
RETURN

C Se nao pode ir aiem do ponto de saida, extrapola e retorna.
60 IF(ISN .GT. 0 .OR. DABS(TOUT-X) .GE. FOURUDABS(X)) GOTO 60
H = TOUT-X
CALL F(X,YY,YP)
DO 70 L=1,NEQN
70 Y(L) = YY(L)+H*YP(L)
IFLAG = 2
T = TOUT
TOLD = T
ISNOLD = ISN
RETURN

C Teste de trabalho excessivo:
80 IF(NCSTEP .LT. MAXNUK) GOTO 100
IFLAG = ISN*4
IF(STIFF) IFLAG = ISN*5
DO 90 L=1,NEQN
90 Y(L) = YY(L)
T = X
TOLD = T
ISNOLD = 1
RETURN

C Ajuste do vetor de ponderacao:
100 H = DSIGN(DMIN1(DABS(H),DABS(TEND-X)),H)
DO 110 L=1,NEQN
110 WT(L) = RELEPS*DABS(YY(L))+ASSEPS
C WRITE(*,111) X,H
C 111 FORMAT(/,3X,'X = ',E15.5,X,'H = ',E15.5,/)
CALL STEP(X,YY,F,NEQN,N,EPS,W,I,START,
1,HOLD,K,KOLD,CRASH,PHI,P,YP,PSI)

C Teste de tolerancias muito pequenas:
120 IF(.NOT.CRASH) GOTO 130
IFLAG = ISN*3
RELEPS = EPS*RELEPS
ASSEPS = EPS*ASSEPS
DO 120 L=1,NEQN
120 Y(L)=YY(L)
T = X
TOLD = T
ISNOLD = 1
RETURN
```

C Teste de rigidez e de numero de passos:

```
130 NOSTEP = NOSTEP+1
      KLE4 = KLE4+1
      IF(KOLD .GT. 4) KLE4=0
      IF(KLE4 .GE. 50) STIFF=.TRUE.
      GO TO 50
END
```

S U B R O T I N A S T E P

```
SUBROUTINE STEPP(X,Y,F,NEQN,H,EPS,WT,START,
1 HOLD,K,KOLD,CRASH,PHI,P,YP,PSI)
```

A subrotina STEP integra, utilizando as equacoes de ADAMS (metodo PECE) na forma modificada das diferencias de primeira ordem. Ela avanca um passo a cada chamada (de X ate X+H) e extrapolacao local e, utilizada para obter-se estabilidade e preciso.

O programa ajusta a ordem e o tamanno do passo de modo a controlar o erro local,alem de verificar os erros de roundoff e detectar quando o usuario esta exigindo preciso demais.

Os parametros representam:

- X -- variavel independente;
- Y(*) -- vetor solucao em X;
- YP(*) -- derivada do vetor solucao em X;
- NEQN -- numero de equacoes a serem integradas;
- H -- tamanno do passo apropriado para a proxima integracao. Determinado pelo programa!
- EPS -- tolerancia do erro local. Deve ser variavel;
- WT(*) -- vetor de ponderacao;
- START -- variavel logica. Adotar .TRUE. para o primeiro passo e outros,.FALSE.;
- HOLD -- tamanno do passo usado na ultima integracao com sucesso;
- K -- ordem apropriada para a integracao seguinte. Determinado pelo programa;
- KOLD -- ordem usada no ultimo passo com sucesso;
- CRASH -- variavel logica..TRUE. quando o passo pode ser adotado e .FALSE. quando nao;
- As matrizes PHI,PSI sao necessarias na subrotina INTRP. A matriz P e' interna ao subprograma.

Primeira chamada:

- O usuario deve prever,no programa principal,a memoria que sera, utilizada pelas matrizes da lista de Chamada , ou seja ,
DIMENSION Y(NEQN),WT(NEQN),PHI(NEQN,16),
1 P(NEQN),YP(NEQN),PSI(12)
- Deve tambem declarar START e CRASH como variaveis logicas e F

C como uma subrotina externa que avalia

```
dy(t)/dx a y'(t) = f(x,y,(1),y,(2),...,y(neqn))
```

C e inicializar somente os parametros:

C X -- valor inicial da variavel independente;

C Y(*) -- valores iniciais do vetor das variaveis dependentes,

C NEQN -- numero de equacoes a serem integradas,

C H -- tamanno nominal do passo,indicando a direcao da integracao e o tamanno maximo do passo. Deve ser variavel;

C EPS -- tolerancia do erro local por passo (nulo) para o criterio de erros.

C START = .TRUE.

C A subrotina STEP regular que a norma L2,do vetor com componentes do erro local,|W(L)| deve ser menor que EPS para um passo com sucesso. A matriz WT(*) pertence ao usuario escolher um apropriado teste de erro para o seu problema,por exemplo:

C WT(L) = 1.0 especifica erro absoluto;

C C = ABS(Y(L)) erro relativo ao mais recente valor q-

C 1-vezima componente da solução;

C C = ABS(YE(L)) erro relativo ao mais recente valor da 1-vezima componente da solução.

C C = ABS(Y(WT(L)-EPS*(L))) erro relativo a maior magnitude da 1-vezima componente obtida ate o instante t=L.

C C = ABS(Y(L))-EPS*ERREPS + AUSERREPS especifica um erro relativo/absoluto misto onde RELERR e o erro relativo e ABSERR e o erro absoluto e EPS = AMAX1(RELERR,ABSERR).

C Chamadas subsequentes:

C Subrotina STEP e' interpretada de modo que todas as informacoes necessarias para continuar a integracao (incluindo o tamanno do passo,H, e a ordem,K) e retornar a cada passo. Com excessao da tamanno do passo,ca tolerancia do erro e das ponderacoes,nenhum dos parametros deve ser alterado.A matriz WT deve ser atualizada de cada passo para manter o teste relativo de erro como os anteriores.Normamente a integracao e continuada exatamente ate o ponto final desejado a solucao interpolava com a subrotina INTRP. Se for impossivel integrar ate o ponto final,o tamanno do passo deve ser reduzido para alcançar justamente este valor. Trocando a direcao de integracao,isto e' o sinal de H,deve-se ajustar o valor do parametro START = .TRUE. antes de chamar o programa STEP novamente.Esta e a unica situacao em que START deve ser alterado.

C Saida do passo:

C -- passo com sucesso

C A subrotina retorna depois de cada passo com sucesso, o valor de START e CRASH iguais a FALSE.

C Quando a passo se torna HOLD do seu valor de entrada, se Y e' o vetor solucao no novo valor de X. Todos os outros parametros representam informacoes correspondentes ao novo valor.

C necessarias para continuar a integracao.

C -- passo sem sucesso:

C Quando a tolerancia retorna para a previsao.

C da norma,na subrotina retorna sem mudar o passo e com CRASH = .TRUE..Apropriados tamanno de erro sao

C estimados e todas as outras informacoes sao armazenadas trais
C como foram entradas, para continuar com uma tolerancia maior,
C basta apenas chamar o programa novamente. Um recomendo nao e'
C necessario nem desejavel.

```

IMPLICIT DOUBLE PRECISION (A-H,O-Z)
LOGICAL START,CRAASH,PHASE1,NORMD
DIMENSION Y(NEQN),WT(NEQN),PHI(NEQN,16),P(NEQN),
1 YP(NEQN),PSI(12),
1 DIMENSION ALPHA(12),BETA(12),SIG(13),W(12),V(12),G(13),
1 GSTR(13),TWO(13)

EXTERNAL F
```

A unica constante que depende da maquina utilizada e' o erro
de roundoff unitario, U, que e' o menor positivo tal que
 $1 \cdot 0 + U > 1 \cdot 0$. O usuario deve inserir os valores de
C (TWO) = $2 \cdot 0 * U$ e (FOUR) = $4 \cdot 0 * U$ em comando DATA, antes
de chamar o programa. A rotina MACHIN calcula U.

```

DATA TWO /2.0,4.0,8.0,16.0,32.0,64.0,128.0,256.0,512.0,
1 1024.0,2048.0,4096.0,B192.0/
DATA GSFR/0.500,0.4996,0.4992,0.4983,0.4973,0.4947,0.4264,0.0168,0.0143,0.0114,
1 0.00536,0.00787,0.00679,0.00592,0.00524,0.00468/
DATA G(1),G(2)/1.0,0.5/,SIG(1)/1.0/
CALL MACHIN(U)
TWOU = 2.0*U
FOURU = 4.0*U
```

***** BLOCO H ****

Testa se o tamanho do passo ou a tolerancia do erro sao muito
pequenos. Para a precisao da maquina. Se for o primeiro passo,
C inicializar a matriz PHI e estimar o tamanho inicial do passo.

Se o passo for muito pequeno, determine um aceitavel.

```

CRASH = .TRUE.
IF(DABSH) .GE. FOURU*DABS(X)) GOTO 5
H = DSIGN(FOURU*DABS(X),H)
RETURN
```

5 PSEPS = 0.5*EPS

Se a tolerancia for pequena demais, aumenta ate' um valor
C aceitavel.

```

ROUND = 0.0
DO 10 L = 1,NEQN
10 ROUND = ROUND + (Y(L)/WT(L))*2
ROUND = TWO*DSQRT(ROUND)
IF(PSEPS .GE. ROUND) GOTO 15
EPS = 2.0*ROUND*(1.0+FOURU)
RETURN
15 CRASH = .FALSE.
IF(.NOT. START) GOTO 99
```

```

C Inicializar Computar tamanho apropriado do passo para a
C primeira integracao.
CALL F(X,Y,YP)
SUM = 0.0
DO 20 L=1,NEQN
PHI(L,1) = YP(L)
PHI(L,2) = 0.0
20 SUM = SUM + (YP(L)/WT(L))*2
SUM = SQRT(SUM)
ABSH = ABS(H)
IF(EPS .LT. 16.0*SUM*H*H) ABSH = 0.25*DSQRT(EPS/SUM)
H = DSIGN(DMAX1(ABSH,F(OURU*DABS(X)),H))
HOLD = 0.0
K = 1
KOLD = 0
START = .FALSE.
PHASE1 = .TRUE.
NORMD = .TRUE.
IF(PSEPS .GT. 100.0*ROUND) GOTO 99
NORMD = .FALSE.
DO 25 L=1,NEQN
25 PHI(L,15) = 0.0
99 IFAIL = 0

C ***** FIM DO BLOCO H ****
C ***** BLOCO H ****
C Computar os coeficientes das formulas para este passo. Nao
C calcula os valores nao alterados quando o tamanho do passo e'
C mudado.
C *****
```

```

100 KPI = K+1
KP2 = K+2
KM1 = K-1
KM2 = K-2
```

```

C NS e' o numero de passos usados com tamanho H, incluindo o
C corrente. Quando K=1, NS,nenhum coeficiente muda.
7 IF(H .NE. HOLD) NS = 0
NS = MIN0(NS+1,KGL+1)
NSPI = NS+1
IF(K .LT. NS) GOTO 199
C Computar os componentes da ALPHAI(*),BETAI(*),PSI(*),SIG(*) que
C foram usados.
BETAKS = 1.0
REALNS = NS
ALPHAIN = 1.0/REALNS
TEMP1 = H*REALNS
SIG(NSPI) = 1.0
```

```

IF(K .LT. NSP1) GOTO 110
DO 105 I=NSP1,K
  IM1 = I-1
  TEMP2 = PSI(IM1)
  PSI(IM1) = TEMP1
  BETAI = BETA(IM1)*PSI(IM1)/TEMP2
  TEMP1 = TEMP2+H
  ALPHA(I) = H/TEMP1
  REALI = I
105 SIG(I+1) = REALI*ALPHA(I)*SIG(I)
110 PSI(K) = TEMP1

C Computar coeficientes G(*)
C Inicializar V(*) e ajustar W(*),G(2) e' dado pelo comando
C DATA.

IF(NS .GT. 1) GOTO 120
DO 115 IQ = 1,K
  TEMP3 = IQ*(IQ+1)
  V(IQ) = 1.0/TEMP3
115 W(IQ) = V(IQ)
GOTO 140

C Se a ordem foi acrescida, atualizar a parte diagonal de V(*).
120 IF(K .LE. KOLD) GOTO 130
  TEMP4 = K*KP1
  VKK = 1.0/TEMP4
  NSK2 = NS-2
  IF(NSK2 .LT. 1) GOTO 130
  DO 125 J = 1,NSM2
    I = K-J
125 V(I) = V(I)-ALPHA(J+1)*V(I+1)

C Atualizar V(*) e ajustar W(*).
130 LIMIT1 = KP1-NS
  TEMP5 = ALPHA(NS)
  DO 135 LQ = 1,LIMIT1
    VLQ = V(LQ)-TEMP5*V(LQ+1)
135 W(LQ) = VLQ
  G(NSP1) = W(1)

C Computar os G(*) no vetor de trabalho W(*).
140 NSP2 = NS+2
  IF(KP1 .LT. NSP2) GOTO 199
  DO 150 I = NSP2,KP1
    LIMIT2 = KP2-I
    TEMP6 = ALPHA(I-1)
    DO 145 JQ = 1,LIMIT2
      145 W(JQ) = W(JQ)-TEMP6*W(JQ+1)
      150 G(I) = W(I)
199 CONTINUE

IF(K .LT. NSP1) GOTO 199
DO 210 I = NSP1,K
  TEMP1 = BETA(I)
  DO 205 L = 1,NQN
    205 PHI(L,I) = TEMP1*PHI(L,I)
210 CONTINUE

C Trace PHI por PHI estreia.
IF(K .LT. NSP1) GOTO 215
DO 210 I = NSP1,K
  TEMP1 = BETA(I)
  DO 205 L = 1,NQN
    205 PHI(L,I) = TEMP1*PHI(L,I)
210 CONTINUE

C Prediz solucao e diferencas.
215 DO 220 L = 1,NEQN
  PHI(L,KP2) = PHI(L,KP1)
  PHI(L,KP1) = 0.0
220 P(L) = 0.0
DO 230 J = 1,K
  230 P(L,J) = 0.0
  I = KP1-J
  IP1 = I+1
  TEMP2 = 6(L)
  DO 235 L = 1,NEQN
    P(L) = P(L)+TEMP2*PHI(L,I)
    235 PHI(L,I) = P(L)+TEMP2*PHI(L,IP1)
230 CONTINUE
IF(NGRND) GOTO 240
  P(L) = PHI(L,I)+PHI(L,IP1)
240 TAU = H*P(L)-PHI(L,IS)
  P(L) = Y(L)+TAU
235 PHI(L,16) = (P(L)-Y(L))-TAU
GOTO 250
240 DO 245 L = 1,NEQN
  245 P(L) = Y(L)+H*P(L)
250 XOL0 = X
  X=X+H
  ABS4 = (ABS(X))
  CALL_F(X,P,YP)

C Estimar erros nas ordens K,K-1,K-2.
ERKH2 = 0.0
ERKH1 = 0.0
ERK = 0.0
DO 265 L = 1,NEQN
  265 TEMP3 = 1.0/W(L)
  TEMP4 = YP(L)-PHI(L,1)
  IF(KM2)265,260,L
  260 ERKX2 = ERKX2+(2*ALSL,KM1)+TEMP4*TEMP3)**2
  255 ERKX1 = ERKX1+(PHI(L,1)+TEMP4)*TEMP3)**2
  260 ERKH1 = ERKH1+(PHI(L,1)+TEMP4)*TEMP3)**2


```

```

265 ERK = ERK+(TEMP4*TEMP3)**2
270 IF(KM2>280,275,270)
270 ERK2 = ABSH*SIG(KM1)*GSTR(KM2)*DSORT(ERKM2)
275 ERK1 = ABSH*SIG(KM1)*GSTR(KM1)*DSORT(ERKM1)
280 TEMPS = ABSH*DSORT(ERK)
ERR = TEMP5*(G(K)-G(KP1))
ERK = TEMP5*SIG(KP1)*GSTR(K)
KNEW = K

C Teste para verificar se a ordem deve ser diminuida.
IF(KM2>299,290,285
285 IF(COMAX(ERKM1,ERKM2) .LE. ERK) KNEW = KM1
GOTO 299
290 IF(ERK1 .LE. 0.5*ERK) KNEW = KM1

C Testar passo com sucesso.
299 IF(ERR .LE. EPS) GOTO 400

C *** FIM DO BLOCO # 2 ***
C *** Bloco # 3 ***
C Se o passo nao teve sucesso, re-armaziar X, PHI(*), PSI(*). Se
C acontecerem tres falhas consecutivas, ajusta a ordem para 1. Se
C o passo falhar mais de tres vezes, considera um tamanho de passo
C otimo. Dobra tolerancia do erro e retorna se o tamanho do passo
C estimado for pequeno demais para a precisao da maquina.
C Re-armazznar X, PHI(*,*) e PSI(*).
PHASE1 = .FALSE.
X = XOLD
DO 310 I = 1,K
    TEMP1 = 1.0/BETA(I)
    IP1 = I+1
    DO 305 L = 1,NEQN
        PHI(L,I) = TEMP1*(PHI(L,I)-PHI(L,IP1))
310 CONTINUE
IF(K .LT. 2) GOTO 320
DO 315 I = 2,K
    PSI(I-1) = PSI(I)-H
315
C Na terceira falha, ajustar a ordem para 1 e usar um tamanho de
C passo otimo.
320 IFAIL = IFAIL+1
TEMP2 = 0.5
IF(IFAIL>3)335,330,325
325 IF(PSEPS .LT. 0.25*ERK) TEMP2 = DSORT(PSEPS/ERK)
330 KNEW = 1
335 H = TEMP2**H
K = KNEW
IF(DABS(H) .GE. FOURU*DABS(X)) GOTO 340
C *** FIM DO BLOCO # 3 ***
C *** Bloco # 4 ***
C Passo com sucesso. Corrigir a situacao preedita, avaliar as
C rizadas usando as solucoes corrigidas e atualizar as diferentes
C cas. Determinar os melhores tamanhos de passo e ordem para a pro-
C xima integracao.
C
400 KCLD = K
HOLD = H

C Corrigir e avaliar.
400 KCLD = K
HOLD = H

C Corrigir e avaliar.
TEMP1 = H*G(KP1)
IF(.NOT.D) GOTO 410
DO 415 L = 1,NEQN
    RHJ = TEMP1*(Y(L)-PHI(L,1))-PHI(L,16)
    Y(L) = P(L)+RHJ
410 DO 415 L = 1,NEQN
    RHJ = (Y(L)-P(L))-RHJ
    GOTO 420
420 DO 415 L = 1,NEQN
    Y(L) = P(L)+TEMP1*(Y(L)-PHI(L,1))
    GOTO 420
420 CALL F(X,Y,RHJ)

C Atualizar diferenças para o proximo passo.
425 L = 1,NEQN
    PHI(L,KP1) = Y(L)-PHI(L,1)
    PHI(L,KP2) = PHI(L,KP1)-PHI(L,KP2)
    DO 435 I = 1,K
        DO 430 L = 1,NEQN
            PHI(L,I) = PHI(L,I)+PHI(L,I)
430 PHI(L,I) = PHI(L,I)+PHI(L,KP1)
435 CONTINUE

C Estimar o erro na orden K+. a menos que:
C - na primeira iteracao quando a ordem sempre cresce;
C - ja foi decidido adicionar a ordem
C - tamanho do passo nao e constante, logo estimativa nao e
C realista.
440 ERKP1 = 0.0
IF(KNEW .EQ. KM1 .OR. K .EQ. 12) PHASE1 = .FALSE.
145 IF(PHASE1) GOTO 455
    IF(KNEW .EQ. KM1) GOTO 455
    IF(KP1 .GT. NS) GOTO 460
    DO 445 L = 1,NEQN
        ERKP1 = ERKP1+P(L,KP1)*DSORT(KP1)
445
446 ERKP1 = ABSH*DSORT(KP1)*DSORT(KP1)

```

```

C Usando o erro estimado de orden K+1, determinar a orden
C apropriada para o proximo passo.
IF(X .GT. 1) GOTO 445
IF(ERK1 .GE. 0.5*ERK) GOTO 460
445 GOTO 450
GOTO 450 IF(ERK1 .LE. DMINI(ERK,ERKP1)) GOTO 455
IF(ERK1 .GE. ERK .OR. K .EQ. 12) GOTO 460

C Aumento de ordem.
450 K = KP1
ERK = ERKP1
GOTO 460

C Abaixamento de orden.
455 K = KM1
ERK = ERKM1

C Com a nova orden, determinar o tamanho de passo apropriado
C para a proxima integracao.
460 HNEW = H+H
IF(PHASE1) GOTO 465
IF(PSEPS .GE. ERK*TWO(K+1)) GOTO 465
HNEW = H
IF(PSEPS .GE. ERK) GOTO 465
TEMP2 = K+1
TEMP2 = (PSEPS/ERK)**(1.0/TEMP2)
PTCC = .5
PTNU = .9
HNEW = ABSH*DMAX1(PTCC,DMINI(PTNU,R))
HNEW = DESIGN(DMAX1(HNEW,FCRUR*DABS(X)),H)
465 H = HNEW
RETURN

C *** * FIM DO BLOCO # 4 *** *
END

C
C S U B R O T I N A I N T R P
SUBROUTINE INTRP(X,Y,XOUT,YOUT,YPOUT,NEQN,KOLD,PHI,PSI)

C O metodo usado na subrotina STEP interpola a solucao, proximamente ao ponto X, por um polinomio. A subrotina INTRP aproxima a solucao em XOUT avaliando o polinomio neste ponto. As informacoes que definem este polinomio sao passadas de STEP, assim INTRP nao pode ser usada sozinha.

C Entradas para INTRP:
C O usuario deve prever memoria no programa principal para as
C matrizes da lista de chamada
IMPLICIT DOUBLE PRECISION (A-H,O-Z)
DIMENSION Y(NEQN),YOUT(NEQN),YPOUT(NEQN),
1 PHI(NEQN,16),PSI(12)

C e definir
C XOUT - ponto no qual a solucao e desejada.
C Os parametros restantes sao definidos em STEP e passados por
C comando CALL.

C Saida de INTRP,
C YOUT - solucao em XOUT,
C YPOUT - derivada da solucao em XOUT.
C Os parametros restantes permanecem inalterados. Integracao com
C STEP pode ser continuada.

C DIMENSION G(13),W(13),RHO(13)
DATA G(1)/1.0/,W(1)/1.0/,RHO(1)/1.0/
HC = XOUT-X
KI = KOLD+1
KIP1 = KI+1

C Inicializar W(*) para computar G(*) .
DO 5 I = 1,KI
TEMP1 = I
5 W(I) = 1.0/TEMP1
TERM = 0.0

C Computar G(*) .
DO 15 J = 2,KI
JMI = J-1
PSIJMI = PSI(JMI)
GAMMA = (KI+TERM)/PSIJMI
ETA = KI/PSIJMI
LIMIT2 = KIP1-J
DO 10 I = 1,LIMIT1
5 G(I,J) = GAMMA*W(KI-ETA*W(I+1))
6 G(J) = W(I)
RHO(J) = GAMMA*RHO(JMI)
15 TERM = PSIJMI

C Interpolar.
DO 50 I = 1,NEQN
YPOUT(I) = 0.0
50 YOUT(I) = 0.0
DO 50 J = 1,KI
50 I = KIP1-J
TEMP2 = G(I)

```

```

TEMP3 = RHO(I)
DO 25 L = 1,NEQN
  YOUT(L) = YOUT(L)+TEMP2*PHI(L,I)
25  CONTINUE
DO 35 L = 1,NEQN
  YOUT(L) = Y(L)+HI*YOUT(L)
35  RETURN
END
C -----

```

S U B R O T I N A M A C H I N

SUBROUTINE MACHIN(U)

```

C U e o menor numero positivo de modo que ( 1.0 + U ) .GT. 1.0 .
C U e computado aproximadamente como uma potencia de 1.72.
C U COMPUTADO APROXIMADAMENTE COMO UMA POTENCIA DE 1.72.
      IMPLICIT DOUBLE PRECISION (A-H,O-Z)
      HALFU = 0.5
50   TEMP1 = 1.0+HALFU
      IF(TEMP1 .LE. 1.0) GO TO 100
      HALFU = 0.5*HALFU
      GO TO 50
100  U = 2.0* HALFU
      RETURN
END
C -----

```

S O E R R U S

S U B R O T I N A P S E U D O

```

SUBROUTINE PSEUDO (NPGE,W0,D1,AMPL,FR,FRP,NF)

C Esta sub-rotina gera um sinal pseudo-alatorio periodico
C baixo fator de prdo.e, baseada no algoritmo desenvolvido por
C Schrodier para geracao de sequencias binarias com baixa auto-
C -correlacao.

C -----

```

C Os parametros representam:

```

C   NPGE -- numero de pontos a serem gerados;
C   W0 -- resolucao em frequencia;
C   AMPL -- amplitude do sinal gerado;
C   D1 -- intervalo de discretizacao;
C   FR -- vetor contendo os pontos gerados;
C   FRP -- derivada do vetor FR;
C   NF -- numero de componentes em frequencia;
C   PP -- vetor contendo o valor da densidade espectral de po-
C tencia;
C   PHI1 -- vetor dos angulos de fase das componentes da DEP.

      IMPLICIT DOUBLE PRECISION (A-H,O-Z)
      DIMENSION FR(1:256),FRP(1:NF)
      DIMENSION PP(256),PHI1(256)
      PI = 3.14159265358979312
      PI = 4.*DATAN(1.0)

C -----

```

```

C O loop seguinte calcula os valores da densidade espectral de
C potencia do sinal a ser gerado. Para alterar a forma do espectro
C basta modificar a função na linha 10.

DO 10 I = 1,NF
10  PP(I) = 1./DBLE(NF)

C Ajuste do angulo de fase.

C -----

```

```

DO 40 I = 1,NF
  PHI1(I) = 4.,NF
  PHI1(I) = 0.0
  IF(I .EQ. 1) GOTO 30
  LS = I-1
  DO 20 L = 1,LS
    PHI1(L) = DBLE((I-1)*2? (L)*PHI1(I))
    PHI1(L) = PHI1(L)*2? (L)*PI
20  IF(PHI1(L) .GE. 4.*PI) PHI1(L)=PHI1(L)-2.*PI
30  IF(PHI1(I) .GE. 2.*PI) GOTO 30
  IF(PHI1(I) .LT. -2.*PI) AND. PHI1(I) .GE. 0.0) PHI1(I)=0.0
  IF(PHI1(I) .LT. 2.*PI .AND. PHI1(I) .GE. 1.5*PI)
    1 PHI1(I)=9.0
  IF(PHI1(I) .GE. 0.5*PI .AND. PHI1(I) .LT. 1.5*PI)
    1 PHI1(I)=PI
40  CONTINUE
C -----

```

C Calculo do sinal e sua derivada.

```

DO 60 K = 1,NPGE
FR(K) = 0.0
FRP(K) = 0.0
DO 50 I = 1,NF
FR(K) = FR(K)+DSQRT(PP(I)/2.)*AMPL*DQCS(2.*PI*DBLE(I))*W0*
1. (DBLE(K)-1.)*DT*PHHT(I)
FRP(K) = FRP(K)-DSQRT(PP(I)/2.)*AMPL*2.*PI*DBLE(I)*W0*
1. DSIN(2.*PI*DBLE(I))*W0*(DBLE(K)-1.)*DT+PHHI(I)
CONTINUE
60 CONTINUE
RETURN
END
C -----
```

```

      SUBROUTINE GAUSS(A,B,X,NE,DDT,NOSING)

C Esta subrotina resolve um sistema de equacoes lineares da
C forma [A][X]=[B] utilizando o Metodo de Gauss com Pivota-
C cao Maxima.
C A resposta do sistema e' armazenada no vetor X. NE e' a or-
C dem do problema e' DDt e' o determinante da matriz "A".
C A variavel NOSING indica se o sistema a ser resolvido tem
C (NOSING = 0), ou nao ( NOSING = 1 ), equacoes linear-
C mente dependentes , ou seja , se o determinante da matriz
C "A" e' ou nao, igual a zero.
C Se a dimensao do problema for maior que 10 , deve-se re-
C dimensionar os vetores auxiliares D e ICOL com os valores
C adequados.
```

SUBROUTINE GAUSS(A,B,X,NE,DDT,NOSING)

C Esta subrotina resolve um sistema de equacoes lineares da
C forma [A][X]=[B] utilizando o Metodo de Gauss com Pivota-
C cao Maxima.
C A resposta do sistema e' armazenada no vetor X. NE e' a or-
C dem do problema e' DDt e' o determinante da matriz "A".
C A variavel NOSING indica se o sistema a ser resolvido tem
C (NOSING = 0), ou nao (NOSING = 1), equacoes linear-
C mente dependentes , ou seja , se o determinante da matriz
C "A" e' ou nao, igual a zero.
C Se a dimensao do problema for maior que 10 , deve-se re-
C dimensionar os vetores auxiliares D e ICOL com os valores
C adequados.

```

      IMPLICIT DOUBLE PRECISION (A-H,O-Z)
      INTEGER NOSING
      DIMENSION A(NE,NE),B(NE),X(NE)
      DIMENSION D(10),ICOL(10)
      NN = NE-1
      DO 5 I=1,NE
      5 ICOL(I) = 1
      DO 60 I=1,NN
      MERO = ICOL(I)
      IIN = I
      AUX = A(I,I)
      IF(AUX.EQ.0.0) GOTO 10
      ICOL(I) = JJ
```

C Procura da maior pivo.

```

      DO 15 J=I,NE
      DO 10 JJ=J,NE
      U = DABS(AUX)-DABS(A(J,JJ))
      IF(U .GE. 0.0) GOTO 10
      ICOL(I) = JJ
```

2

```

      IIN = JJ
      AUX = A(J,JJ)
      CONTINUE
15  CONTINUE
```

C Teste para verificar se o pivo escalhado e' zero.

```

      IF(DABS(AUX) .LE. 1.E-30) GOTO 85
```

C Troca de linhas.

```

      IZ = IIN-I
      IF(IZ .EQ. 0) GOTO 30
      DO 25 K=I,NE
      D(K) = A(IIN,K)
      A(IZ,K) = A(IIN,K)
      ACTN(K) = D(K)
      R9 = B(I)
      B(I) = B(IIN)
      B(IIN) = R9
```

C Troca de colunas.

```

      30  MERD = MERO-ICOL(I)
      70  IF(MERI .EQ. 0) GOTO 40
      DO 35 K=1,NE
      D(K) = ACTN(K)
      INDI = ICOL(I)
      ACTN(I) = ACTN(INDI)
      ACTN(INDI) = D(K)
      35  ACK,INDI = D(K)
      J_ = ICOL(I)
      ICOL(I) = ICOL(J_)
      ICOL(J_) = MERD
```

C Pivotacao.

```

      40  IINC = I+1
      DC 55 K=INIC,NE
      FA,T = A(I,I)
      DO 50 I=K+1,NE
      50  ACK,I,NE
      ACK,KK = ACK,KK-FAT/A(I,I)*A(I,KK)
      55  B(KK) = B(KK)-FA/T*A(I,I)*B(I)
      60  CONTINUE
      C Teste para verificar se o elemento "A(NE,NE)" e' zero.
      IF(DABS(A(NE,NE)) .LE. 1.E-30) GOTO 85

      C Retro-substituicao.
```

```

      X(NE) = B(NE)/A(NE,NE)
      DO 70 I=1,NN
      SGR = 0.0
      MM = NE-I+1
      LL = NE-I
```

3

```

C XSP -- vetor dos coeficientes do polinomio interpolador;
C IMIN2 -- variavel para verificar se o polinomio interpolador
C dor de duas chamadas consecutivas de SPLINE coincidem;
C RHX -- solucao da interplacao no instante XS;
C INOUT -- variavel que indica se XS esta ( XS = 1 ), ou nao
C ( XS = 0 ) , fora do intervalo permitido.
C NOSING -- variavel usada na subrotina GAUSS que indica se
C sistema a ser resolvido tem ( NOSING = 0 ) , ou nao ( NOSING
C = 1 ), equacoes linearmente dependentes.

IMPLICIT DOUBLE PRECISION (A-H,O-Z)
INTEGER INOUT,NOSING
DIMENSION RH(NP),RHP(NP)
DIMENSION AS(5,5),FSP(5),XSP(5),BSP(5),TSP(9)
DD1 = (DBLE(NP)-1.)*DD
IF(XS .LT. 0.0 .OR. XS .GT. DD1) THEN
  WRITE(*,5)
  FORMAT(2X,'PONTO FORA DO INTERVALO PERMITIDO...',/)

INOUT = 0
RETURN
ENDIF
IMIN = 2
IF(XS .LE. 0.0) GOTO 20
AUX = (DBLE(NP)-2.)*DD
IF(XS .GE. AUX) THEN
  IMIN = NP-1
  GO TO 20
ENDIF
DIFM1 = XS-DD
LSUP = NP-1
DO 10 I=2,LSUP
  DIFM2 = XS-DBLE(I)*DD
  IF(DABS(DIFM2) .GT. DABS(DIFM1)) GOTO 20
  IMIN = 1
  DIFM1 = DIFM2
CONTINUE
20  IF(IMIN .EQ. IMIN2) GOTO 70
  DO 30 I=1,5
    FSP(I) = 0.0
    FSP(1) = RHP(IMIN-1)
    FSP(2) = RH(IMIN-1)
    FSP(3) = RH(IMIN)
    FSP(4) = RH(IMIN+1)
    FSP(5) = RHP(IMIN+1)
    TSP(1) = (DBLE(IMIN)-5.)*DD
    TSP(2) = (DBLE(IMIN)-4.)*DD
    TSP(3) = (DBLE(IMIN)-3.)*DD
    TSP(4) = (DBLE(IMIN)-2.)*DD
    TSP(5) = (DBLE(IMIN)-1.)*DD
    TSP(6) = DBLE(IMIN)*DD
    TSP(7) = (DBLE(IMIN)+1.)*DD
    TSP(8) = (DBLE(IMIN)+2.)*DD
    TSP(9) = (DBLE(IMIN)+3.)*DD
  DO 50 I=1,5
    DDT = DDT*A(I+1,I+1)
    DO 75 J=1,1
      S0M = S0M+X(MM)*A(JJ,JJ)
      HH = MM+1
      JJ = JJ+1
      X(LL) = (B(LL)-S0M)/A(LL,LL)
      DT = A(I,I)
      DO 30 I=1,NN
        DDT = DDT*A(I+1,I+1)
        DO 75 I=1,NE
          IC0 = I-ICOL(IJJ)
          IF(IC0 .NE. 0) GOTO 75
          BD = X(IJ)
          X(IJ) = X(IJ)
          X(IJ) = BS
          IC0L(IJ) = IC0L(I)
          GGTJ = 80
        CONTINUE
        IF(DABS(GGTJ)-1.E-50)S5=BS,100
        WRITE(*,95)
        95  FORMAT(1$IX,'MATRIZ SINGULAR... ')
        WRITE(*,97)
        97  FORMAT(1$IX,'SISTEMA COM EQUACOES LINEARMENTE DEPENDENTES...',/)

100 RETURN
END
-----
```

SUBROUTINA SPLINE

```

SUBROUTINE SPLINE(RH,RHP,XS,DD,NP,XSP,IMIN2,RHX,
1 INOUT,NOSING)
C A subrotina SPLINE e' usada para se obter valores de funcoes
C atraves de interpolação por splines cubicos. Os valores conte-
C nidos devem estar armazenados no vetor RH e o vetor RHP contem
C as derivadas de RH - sendo que o primeiro ponto deve corres-
C ponder ao instante t = 0 . Dado o ponto XS , onde se deseja o
C valor interpolado da função , serão considerados , para obten-
C cão das splines , os tres valores correspondentes aos tres
C pontos mais próximos de XS .
C Os parametros de SPLINE são:
C RH -- vetor contendo os valores da função ( ou uma sequen-
C cia de dados qualquer ),
C RHP -- vetor contendo os valores da derivada de RH ;
C XS -- instante em que se deseja a solução interpolada;
C DD -- intervalo de tempo entre dois pontos de RH consecu-
C tivos ;
C NP -- numero de pontos total.
```

```

      DO 40 J=1,5
 40   ASP(I,J) = 0.0
      CONTINUE
 50   DO 60 I=1,5
      IF(I.EQ.1) THEN
        ASP(1,1) = -3./DD
        ASP(1,2) = 3./DD
      ELSEIF(I.EQ.5) THEN
        ASP(1,1) = 3./DD
        ASP(1,I-2) = -3./DD
      ELSE
        ASP(1,I-1) = 1.
        ASP(1,I) = 4.
        ASP(1,I+1) = 1.
      ENDIF
      CALL GAUSS(ASP,FSP,XSP,5,DD,NOSING)
      IF(NOSING.EQ.0) GOTO 100
 60   DO 80 I=1,5
 70   BSP(I) = 0.0
 80   RHX = 0.0
      DO 90 I=1,5
      IF(XS.LE.TSP(I)) THEN
        BSP(I) = 0.0
      ELSEIF(XS.LE.TSP(I+1)) THEN
        BSP(I) = ((XS-TSP(I))/DD)*3
      ELSEIF((XS.LE.TSP(I+2)) THEN
        BSP(I) = (DD*3+3.*((DD*2)*(XS-TSP(I+1))+3.*DD*((XS-TSP(I+1))*3))/OD**3)
      ELSEIF((XS.LE.TSP(I+3)) THEN
        BSP(I) = (DD*3+3.*OD**2)*(TSP(I+3)-XS)+3.*DD*((TSP(I+3)-XS)**2)-3.*((TSP(I+3)-XS)**3)/(DD**3)
      ELSEIF(XS.LE.TSP(I+4)) THEN
        BSP(I) = ((TSP(I+4)-XS)/DD)**3
      ELSE
        BSP(I) = 0.0
      ENDIF
      RHX = RHX+XSP(I)*BSP(I)
 90   CONTINUE
 100  RETURN
END

      SUBROUTINE MEDCOR(VET,N,NC,AUTCOR,AMED)
      IMPLICIT DOUBLE PRECISION (A-H,O-Z)
      DIMENSION VET(N)
      DIMENSION AUTCOR(NC)

      C Calculo da media do sinal.
      AMED = 0.0
      DO 10 I=1,N
 10   AMED = AMED+VET(I)
      AMED = AMED/DOUBLE(N)

      C Calculo da função de autocorrelação.
      N4 = N/4+1
      DO 30 K=1,N4
      KM1 = K-1
      NMK = N-KM1
      AUTCOR(K) = 0.0
      DO 20 IT=1,NMK
 20   ITKMK = IT+KM1
      AUTCOR(K) = AUTCOR(K)+(VET(IT)-AMED)*(VET(ITKMK)-AMED)
      CONTINUE
      AUTCOR(K) = AUTCOR(K)/DOUBLE(NMK)
 30   CONTINUE
      CORL0 = AUTCOR(1)
      DO 40 K=1,N4
 40   AUTCOR(K) = AUTCOR(K)/CORL0
      CONTINUE
      RETURN
END

      SUBROUTINE FFT(VEX,FY,WX,WY,N,N2,N1)
      IMPLICIT DOUBLE PRECISION (A-H,O-Z)
      DIMENSION FX(N),FY(N),V(N),WX(N2),WY(N2)
      CALL ODEIN(IFX,FY,V,N)
      CALL TAUW(WX,WY,N,N2)
      CALL COTUR(IFX,FY,WX,WY,N,N2,N1)
      RETURN
END

      SUBROUTINE ORDEN
END

```

```

SUBROUTINE DREMK(FX,FY,U,N)
IMPLICIT DOUBLE PRECISION (A-H,0-Z)
DIMENSION FX(N),FY(N),U(N)
DO 5 I=1,N
  5   FY(I) = 0.0
      DO 10 I=1,N
        J = I-1
        CALL REBIT(J,N)
        FX(I) = U(J+1)
10    CONTINUE
      RETURN
END

```

C SUBROUTINA COTUK

```

SUBROUTINE COTUK(FX,FY,WX,WY,N,N2,NI)
IMPLICIT DOUBLE PRECISION (A-H,0-Z)
DIMENSION FX(N),FY(N),WX(N2),WY(N2)
DO 10 LM=1,NI
  10 LD = 2**LM-1
      LPM = 2**LM
      DO 10 I=1,N,LPM
        DO 10 K=1,LD
          LP = I+K-1
          LQ = LP+LD
          LR = (N/(2**LM))*(K-1)+1
          SX = FX(LQ)*WX(LR)-FY(LQ)*WY(LR)
          SY = FX(LQ)*WY(LR)+FY(LQ)*WX(LR)
          FX(LQ) = FX(LP)-SX
          FY(LQ) = FY(LP)-SY
          FX(LP) = FX(LP)+SX
          FY(LP) = FY(LP)+SY
10    CONTINUE
      RETURN
END

```

C -----

SUBROUTINA REBIT

```

SUBROUTINE REBIT(J,N)
IMPLICIT DOUBLE PRECISION (A-H,0-Z)
I = 0
N2 = N
IF(J .EQ. N-1) GOTO 30
10 IF(MOD(J,2) .NE. 0) GOTO 20
     J = J/2
     N2 = N2/2
     GOTO 10
20 J = I
30 RETURN
END

```

C -----

C SUBROUTINA TABW

```

SUBROUTINE TABW(WX,WY,N,N2)
IMPLICIT DOUBLE PRECISION (A-H,0-Z)
DIMENSION WX(N2),WY(N2)
QUATRO = 4.
UM = 1.
PI = QUATRO*DATAN(UM)
TETA = 2.*PI/DBLE(N)
DO 10 K=1,N2
  WX(K) = DCOS(TETA*(K-1))
  WY(K) = -DSIN(TETA*(K-1))
10 CONTINUE
      RETURN
END

```

C -----

10EBUG

C SUBROUTINE SISTOP

SUBROUTINE SISTOP(Y, DRC, NPD)
IMPLICIT DOUBLE PRECISION (A-H, O-Z)

DIMENSION Y(10)
COMMON /SISTOP/SIS
COMMON /PARID/PAR(15)
COMMON /RESULT/RESULT(4,4000)
COMMON /SINAL/SINAL(3,2500)
COMMON /ERRD/ERRD(2,4000)
COMMON /IDENT/COVA(10,10)
COMMON /NEQN/NEQN

DO 1 NJ=1,NEQN
DO 1 NJ=1,NEQN
1 COVANN(NJ) = COVANN(NJ)+Y(NJ)*Y(NJ)
IRC = IDINT(DRC)
IF (DBLE(IRC) .EQ. DRC) THEN
GO TO 5,10,15,20,25,1515
ELSE
RETURN

ENDIF
5 RESULT(1,IRC) = COVA(2,2)/COVA(1,1)
RESULT(2,IRC) = -(PAR(4)*RESULT(1,IRC))*COVA(1,3)/COVA(2,3)
RESULT(3,IRC) = COVA(1,2)
ERRO(1,IRC) = DABS((PAR(1)-RESULT(1,IRC))*100./PAR(1))
ERRO(2,IRC) = DABS((PAR(2)-RESULT(2,IRC))*100./PAR(2))
IF (IRC < GT. NPD) RETURN
SINAL(1,IRC) = Y(1)
SINAL(2,IRC) = Y(2)

RETURN
10 A1 = (COVA(1,1)*PAR(1)/COVA(2,2))-1.
A2 = (PAR(1)*COVA(1,3)/COVA(2,3))+PAR(4)
A3 = A2**2+4.*A1*PAR(5)/(COVA(2,2)*COVA(2,3))
IF (A3 .GE. 0.0) THEN
RESULT(1,IRC) = (-A2+DSQRT(A3))/2.
RESULT(2,IRC) = (A2-DSQRT(A3))/2.
RESULT(3,IRC) = RESULT(1,IRC)/A1
ERRO(1,IRC) = DABS((PAR(2)-RESULT(1,IRC))*100./PAR(2))
ERRO(2,IRC) = DABS((PAR(3)-RESULT(3,IRC))*100./PAR(3))
ENDIF
RESULT(4,IRC) = COVA(1,2)
IF (IRC < GT. NPD) RETURN
SINAL(1,IRC) = Y(1)
SINAL(2,IRC) = Y(2)
SINAL(3,IRC) = Y(4)

15 RETURN
15 RESULT(1,IRC) = COVA(2,2)/COVA(1,1)
RESULT(2,IRC) = (-COVA(2,4)+RESULT(1,IRC))*COVA(1,3)/
1 COVA(1,4)
RESULT(3,IRC) = COVA(1,2)
ERRO(1,IRC) = DABS((PAR(1)-RESULT(1,IRC))*100./PAR(1))
ERRO(2,IRC) = DABS((PAR(2)-RESULT(2,IRC))*100./PAR(2))

```

$DEBUG
C   SUBROUTINE CALESC
      SUBROUTINE CALES(FNAME,NV,ICRT)
      IMPLICIT DOUBLE PRECISION (A-H,O-Z)
      CHARACTER*64 FNAME
      WRITE(ICRT,10)
  10 FORMAT(' // 6X, 'QUAL O NOME DO ARQUIVO ? ',\n')
      READ(0,'(A)',ERR=5)FNAME
  15 NV = 0
      WRITE(ICRT,20)
  20 FORMAT(' // 6X, 'ARQUIVO NOVO ( 1 ) OU VELHO ( 0 OU RET ) '
  1 ? ',\n'
      READ(0,'(I2)',ERR=15)NV
      RETURN
END
C -----
C   SUBROUTINE CALLER
      SUBROUTINE CALLER(FNAME,NV,ICRT)
      IMPLICIT DOUBLE PRECISION (A-H,O-Z)
      CHARACTER*64 FNAME
  5  WRITE(ICRT,10)
  10 FORMAT(' // 6X, 'QUANTOS VALORES DEVEREM SER LIDOS ? ',\n')
      READ(0,'(I4)',ERR=5)NVA
  15 WRITE(ICRT,20)
  20 FORMAT(' // 6X, 'QUAL O NOME DO ARQUIVO ? ',\n')
      READ(0,'(A)',ERR=15)FNAME
      RETURN
END
C -----
C   SUBROUTINE ESCRIVER
      SUBROUTINE ESCRIVER(FNAME,N,IPA,NV)
      IMPLICIT DOUBLE PRECISION (A-H,O-Z)
      COMMON /PARID/PAR(15)
      COMMON /FRFRP/FR(512),FRP(512)
      COMMON /AUXG1/DT
      COMMON /SINEX/NPGE,FMAX,AMPL
      COMMON /AUTCO/AUCO1(129)
      COMMON /TRANS/FR(512)
      COMMON /AUXG2/WD
      COMMON /NEQNN/NEQN
      COMMON /PINTERELE/R,ABSERR,NT,T0,Y(10),TDI,NRC,NPD
      COMMON /RESUL/RESULT(4,4000)
      COMMON /SINEL/SINAL(3,2500)
      COMMON /ERRID/ERR(2,4000)
      IF(NV .EQ. 0) OPEN(9,FILE=FILENAME,STATUS='NEW')
      REWIND 9
      GO TO (1.0,20,40,70,50,350,80,110,130,150) IPA
  10 WRITE(9,270)(PAR(I),I=1,N)
      GO TO 350
  20 WRITE(9,190)
      WRITE(9,200)N,DT
      DO 30 I=1,N
      WRITE(9,170)FR(I),FRP(I)
  30 CONTINUE
      GO TO 350
  40 WRITE(9,210)NPGE,FMAX,AMPL
      GO TO 350
  50 WRITE(9,230)
      WRITE(9,230)N,WG
      DO 60 I=1,N
      WRITE(9,270)FR(I)
  60 CONTINUE
  70 WRITE(9,240)NEQN,RELLRE,ABSERR,NT,T0,TDI,NRC,NPD
      WRITE(9,270)(Y(I),I=1,NEQN)
      GO TO 350
  80 WRITE(9,250)
  90 WRITE(9,260)N,DT
  100 WRITE(9,270,AUCO1(I))
      GO TO 350
  110 WRITE(9,280)
      DCC = DBLE(NRC)
      IF(ISIS .EQ. 1 .OR. ISIS .EQ. 3) THEN
      WRITE(9,290)N,DCC
      DO 120 KK=1,N
      WRITE(9,320)RESULT(1,KK),RESULT(2,KK),RESULT(3,KK)
  120 CONTINUE
      ELSE
      WRITE(9,295)N,DCC
      DO 125 KK=1,N
      WRITE(9,160)RESULT(1,KK),RESULT(2,KK),RESULT(3,KK),
      RESULT(4,KK)
  125 CONTINUE
      ENDIF
      GO TO 350
  130 WRITE(9,360)
      IF(ISIS .EQ. 1 .OR. ISIS .EQ. 3) THEN
      WRITE(9,310)T0
      DO 140 I=1,N
      WRITE(9,170)SINAL(I,I),SINAL(2,I)
  140 CONTINUE
      ELSE
      WRITE(9,315)NDI
      DO 145 I=1,N
      WRITE(9,320)SINAL(I,I),SINAL(2,I)
  145 CONTINUE

```

```

ENDIF
GO TO 350
WRITE(9,330)
150  DCC = DBLE(NRC)
      WRITE(9,340)N,DCC
      DO 160 I=1,N
      WRITE(9,170)ERROR(1,I),ERROR(2,I)
160  CONTINUE
      GO TO 350
      FORMAT(2F15.5)
170  FORMAT(4F15.5)
180  FORMAT('SINAL DE EXCITACAO GERADO E SUA DERIVADA')
190  FORMAT('2',I4,'.',E15.4,'/','TEMPO','/')
200  FORMAT('1',I4,'.',E15.4,'/','DERIVADA')
210  FORMAT(I4,2F15.5)
220  FORMAT('FFT DO SINAL DE EXCITACAO GERADO')
230  FORMAT('1',I4,'.',E15.4,'/','FREQ','/')
1  FFT DA FORCA )
240  FORMAT(2E15.5,2E15.5,2E15.5,2E15.5)
250  FORMAT('FUNCAO DE AUTO-CORRELACAO DO SINAL GERADO')
260  FORMAT('1',I4,'.',E15.4,'/','TAU','/')
1  CORREL. DA FORCA )
270  FORMAT(F15.5)
FORMAT('RESULTADO DO PROCESSO DE IDENTIFICACAO')
280  FORMAT('3',I4,'.',E15.4,'/','PONTOS','/')
290  FORMAT('4',I4,'.',E15.4,'/','VEL. ','/')
1  RIGIDEZ AMORTECIMENTO CRRRL. DESL. - VEL. ')
295  FORMAT(' ',I4,'.',E15.4,'/','PONTOS','/')
1  AMORTEC.1 AMORTEC.2 ATENUACAO
2  CRRRL. DESL. - VEL. ')
300  FORMAT('RESPOSTA DO SISTEMA NO TEMPO')
310  FORMAT('2',I4,'.',E15.4,'/','TEMPO','/')
1  'DESLOCAMENTO VELOCIDADE')
315  FORMAT('3',I4,'.',E15.4,'/','TEMPO','/')
1  'DESLOCAMENTO VELOCIDADE RUIDO COLORIDO ')
320  FORMAT(3F15.5)
330  FORMAT('ERRO NA IDENTIFICACAO DA RIGIDEZ E DO '
1  'AMORTECIMENTO DO SISTEMA')
340  FORMAT('2',I4,'.',E15.4,'/','PONTOS','/')
1  'ERRO PARAMETRO 1 ERRO PARAMETRO 2 ')
350  CONTINUE
      CLOSE(9)
      RETURN
END

```

137

```

SUBROUTINE LER(FNAME,N,IPA)
IMPLICIT DOUBLE PRECISION (A-H,O-Z)
CHARACTER64 FNAME
COMMON /PARID/PAR(15)
COMMON /FRFRP/FR(512),FRP(512)
COMMON /AUXG1/DT

```

```

$DEBUG
C
      SUBROUTINA IMPRES
      IMPLICIT DOUBLE PRECISION (A-H,O-Z)
      COMMON /SISTE/ISIS
      COMMON /RESULT/RESULT(4,4000)
      COMMON /ERRD/ERRO(2,4000)
      COMMON /IDENT/COVA(10,10)
      COMMON /NEQN/NEQN
      WRITE(IMPR,5)SUP
      5 FORMAT(//,8X,'RESULTADOS DA IDENTIFICACAO APOS PROCESSA'
     1 'MENTO DO ',IS,'-ESTIMO PONTO :',/)
      WRITE(IMPR,10)
      10 FORMAT(/,30X,'MATRIZ DE COVARIANCA',/)
      DO 15 NI=1,NEQN
      IF(ISIS .EQ. 1) WRITE(IMPR,'(15X,\n)')
      IF(ISIS .EQ. 2 .OR. ISIS .EQ. 3) WRITE(IMPR,'(7X,\n)')
      IF(ISIS .EQ. 4 .OR. ISIS .EQ. 5) WRITE(IMPR,'(IX,\n)')
      15 WRITE(IMPR,20)(COVA(NI,NJ),NJ=1,NEQN)
      20 FORMAT(6(1PE15.5))
      IF(ISIS .EQ. 1 .OR. ISIS .EQ. 3) THEN
      PYYP = RESULT(3,NLSU)/DBLE(NLSU)
      ELSE
      PYYP = RESULT(4,NLSU)/DBLE(NLSU)
      ENDIF
      WRITE(IMPR,25)PYYP
      25 FORMAT(//,14X,'CORRELACAO DESLOCAMENTO-VELOCIDADE = ',
     1 1PE15.5)
      30 TO (30,45,30,45,90) ISIS
      30 WRITE(IMPR,35)RESULT(1,NLSU),RESULT(2,NLSU),
      35 FORMAT(//,6X,RIGIDEZ =
     1 ,F15.5)
      WRITE(IMPR,A0)ERRO(1,NLSU),ERRO(2,NLSU)
      40 FORMAT(//,6X,'ERRO RIGIDEZ = ',F15.5,8X,'ERRO AMORTEC. = '
     1 ,F15.5)
      RETURN
      45 WRITE(IMPR,50)RESULT(1,NLSU),RESULT(3,NLSU),
      50 FORMAT(//,6X,'AMORTECIMENTO = ',F15.5,8X,'ATENUACAO =
     1 ,F15.5)
      55 WRITE(IMPR,55)ERRO(1,NLSU),ERRO(2,NLSU)
      55 FORMAT(//,6X,'ERRO AMORTEC. = ',F15.5,8X,'ERRO ATEN. =
     1 ,F15.5)
      RETURN
      90 CONTINUE
      C 95 WRITE(IMPR,95)RESULT(1,L SUP),RESULT(2,L SUP)
      C 95 FORMAT(//,10X,'PAR(1) = ',F15.5,8X,'PAR(2) = ',F15.5)
      C 99 WRITE(IMPR,99)RESULT(3,L SUP),RESULT(4,L SUP)
      C 100 FORMAT(//,10X,'PAR(3) = ',F15.5,8X,'PAR(4) = ',F15.5)
      C 105 WRITE(IMPR,105)ERRO(1,L SUP),ERRO(2,L SUP)
      C 105 FORMAT(//,10X,'ERRO PAR(1) = ',F15.5,3X,'ERRO PAR(2) = ',
     1 F15.5)
      C 110 WRITE(IMPR,110)ERRO(3,L SUP),ERRO(4,L SUP)

```

DEBUG

C SUBROUTINE F(X,Y,YP)

IMPLICIT DOUBLE PRECISION (A-H,O-Z)

INTEGER INOUT,NOSING

COMMON /NEQNN/NEQN

COMMON /SINEX/N1,A1,A2

DIMENSION Y(NEQN),YP(NEQN)

COMMON /PAR10/PAR(15)

COMMON /SISTE/ISIS

COMMON /AUXG1/DD

COMMON /FRFRP/RH(512),RHP(512)

COMMON /SPLIN/XSP(5),IMIN2,RHX,INOUT,NOSING

THAX = (DBLE(NP)-1.)*DD

XS = X

5 IF XS .LE. THAX) GO TO 10

XS = XS-TMAX

GO TO 5

10 VR = XS/DD+1.

X = INT(VR)

AUX = VR-DBLE(X)

IF(AUX .EQ. 0.0) THEN

RHX = RH(X)

GO TO 20

ENDIF

CALL SPLINE(RH,RHP,XS,DD,NP,XSP,IMIN2,RHX,INOUT,NOSING)

20 GO TO (25,30,35,40,45) ISIS

25 YP(1) = Y(2)

YP(2) = -PAR(1)*Y(1)-PAR(2)*Y(2)+PAR(3)*RHX

YP(3) = -PAR(4)*Y(3)+PAR(5)*Y(1)

RETURN

30 YP(1) = Y(2)

YP(2) = -PAR(1)*Y(1)-PAR(2)*Y(2)+PAR(3)*Y(4)

YP(3) = -PAR(4)*Y(3)+PAR(5)*Y(1)

YP(4) = -PAR(6)*Y(4)+PAR(7)*RHX

RETURN

35 YP(1) = Y(2)

YP(2) = -PAR(1)*Y(1)-PAR(2)*Y(2)+PAR(3)*RHX

YP(3) = Y(4)

YP(4) = -PAR(4)*Y(3)-PAR(5)*Y(4)+PAR(6)*Y(1)+PAR(7)*Y(2)

YP(5) = -PAR(8)*Y(5)+PAR(9)*RHX

RETURN

40 YP(1) = Y(2)

YP(2) = -PAR(1)*Y(1)-PAR(2)*Y(2)+PAR(3)*Y(5)

YP(3) = Y(4)

YP(4) = -PAR(4)*Y(3)-PAR(5)*Y(4)+PAR(6)*Y(1)+PAR(7)*Y(2)

YP(5) = Y(6)

YP(6) = -PAR(B)*Y(5)-PAR(9)*Y(6)+PAR(10)*RHX

RETURN
END

139